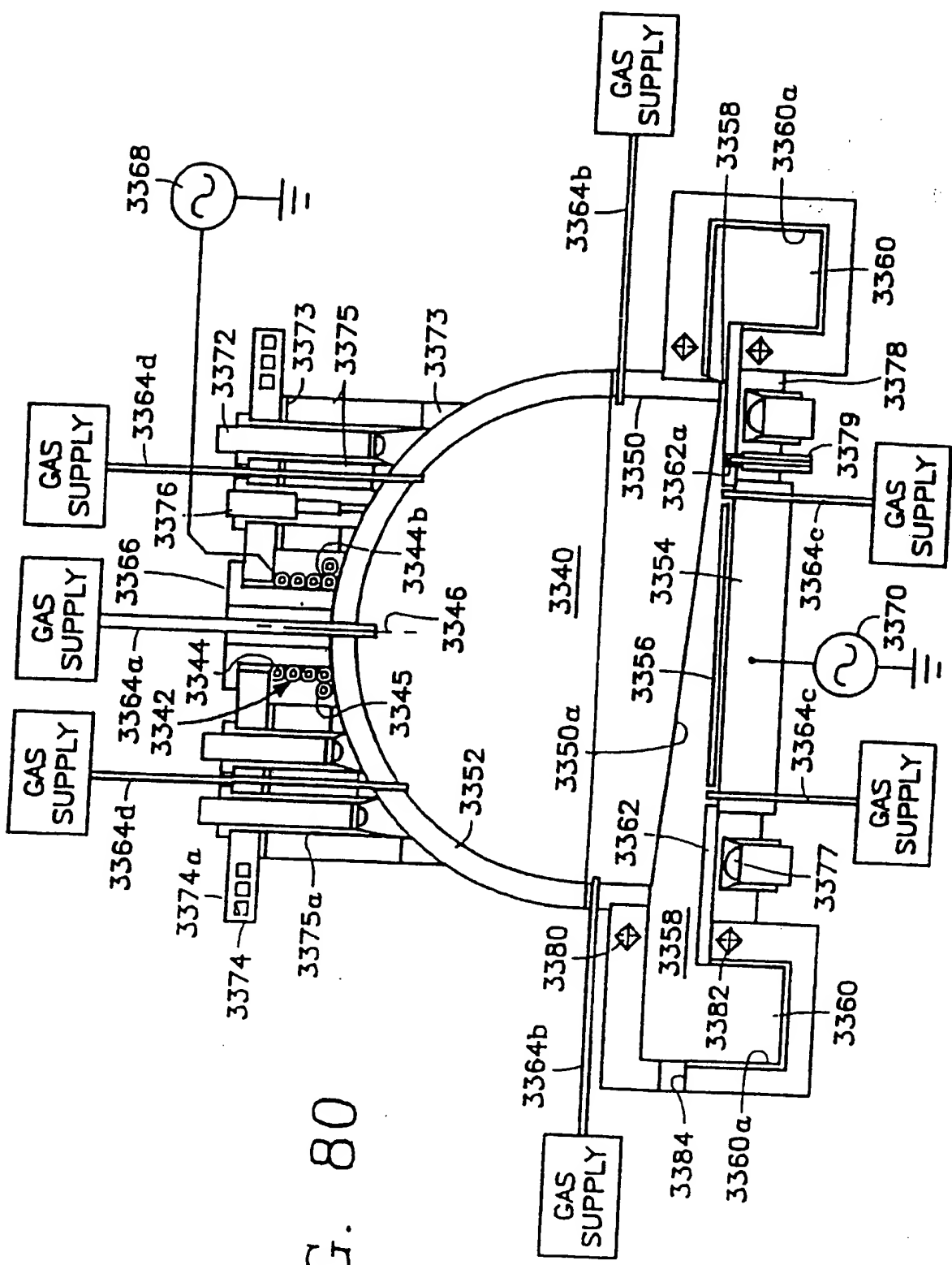


FIG. 80



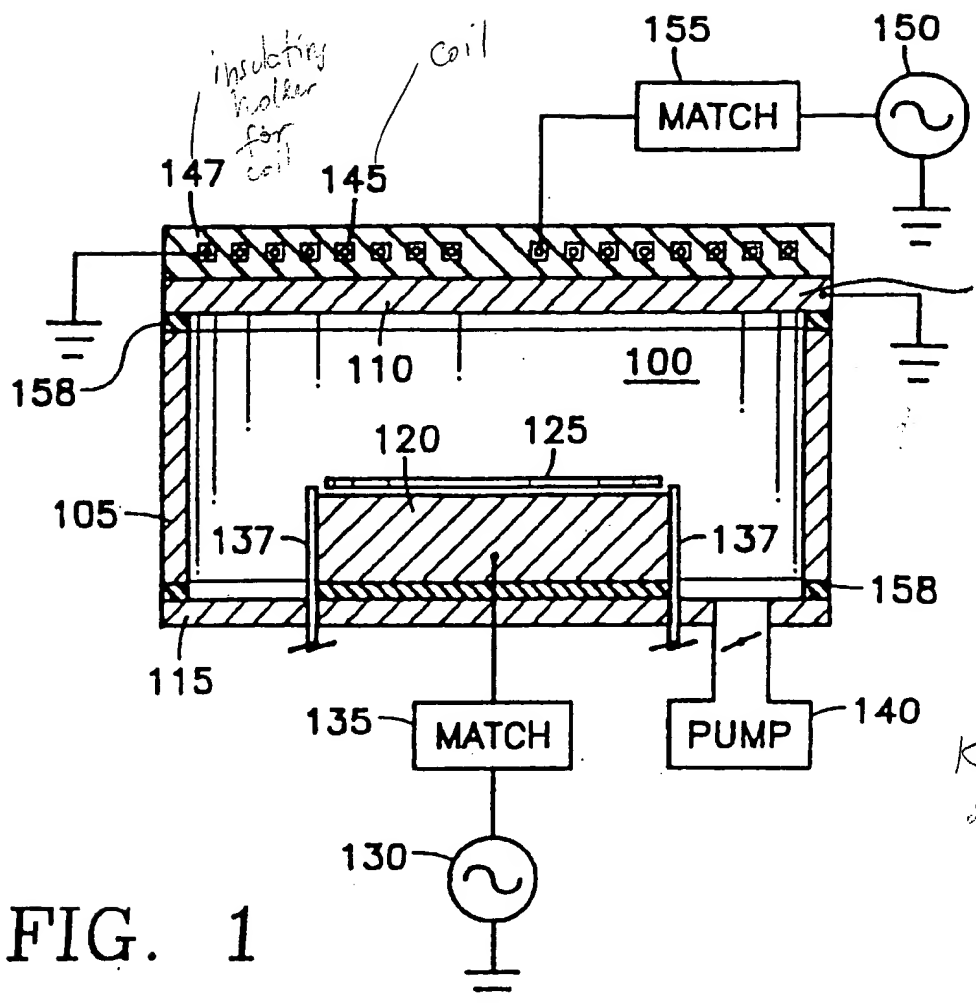


FIG. 1

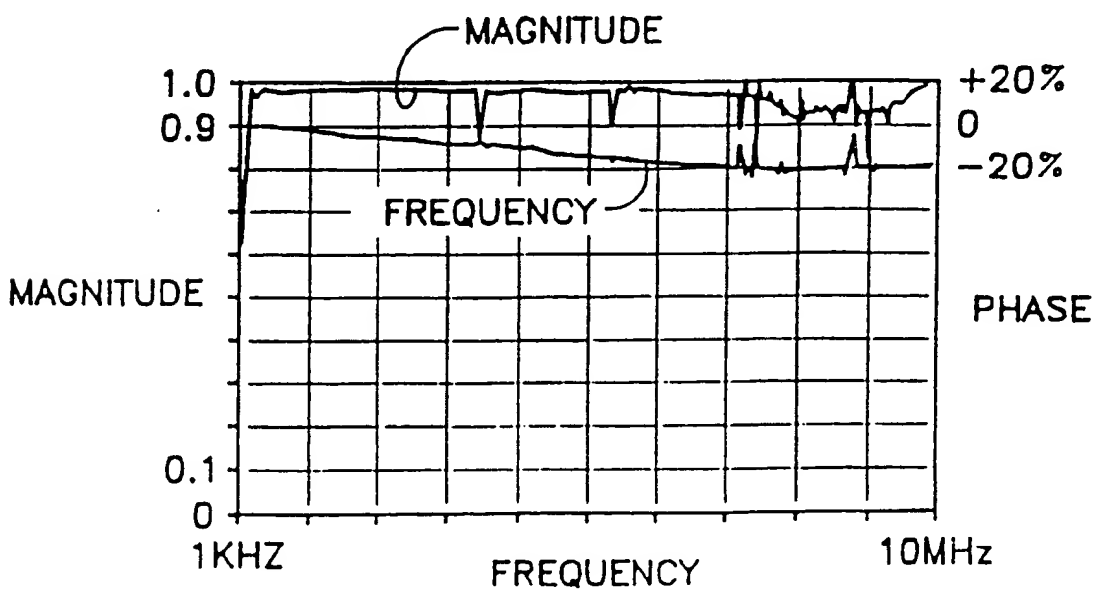


FIG. 2

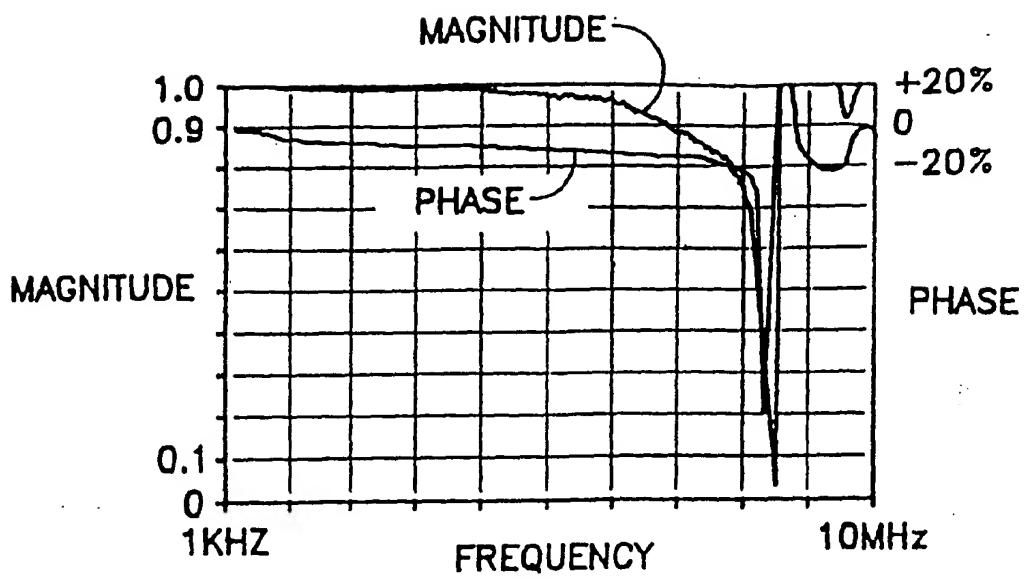


FIG. 3

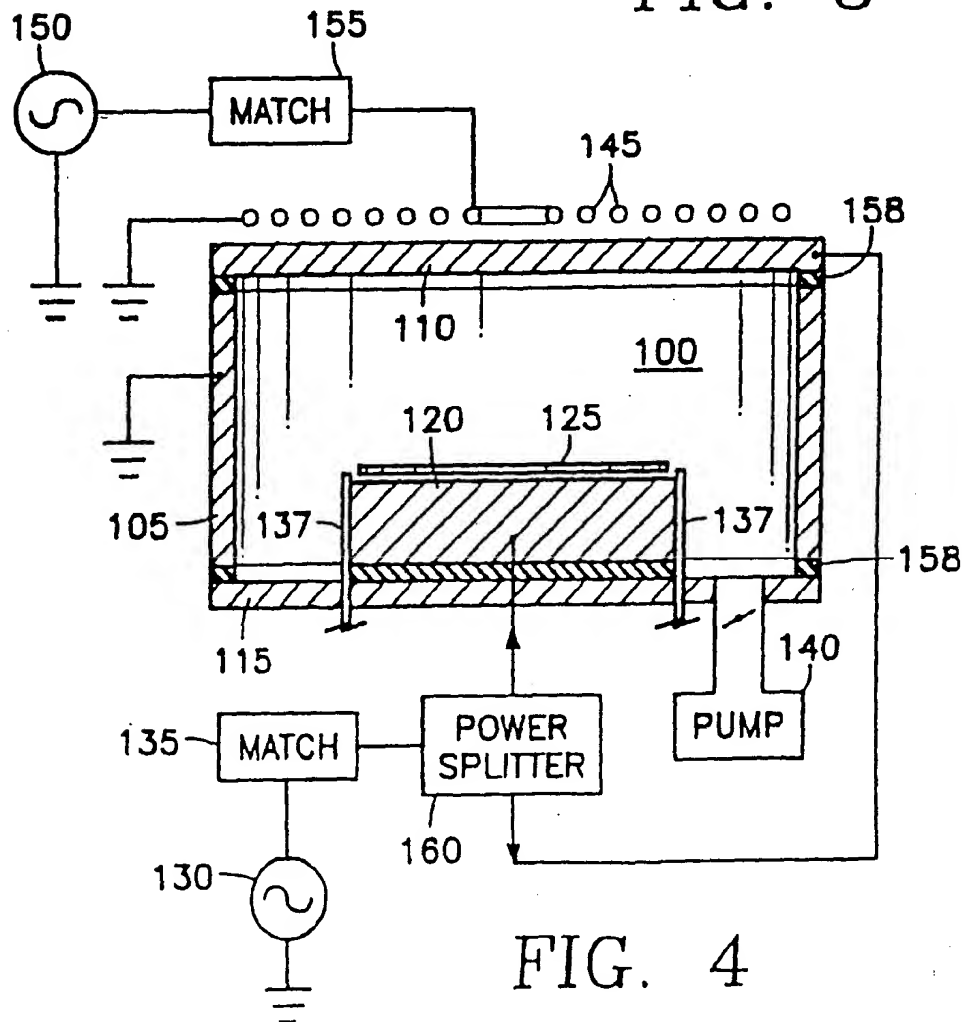


FIG. 4

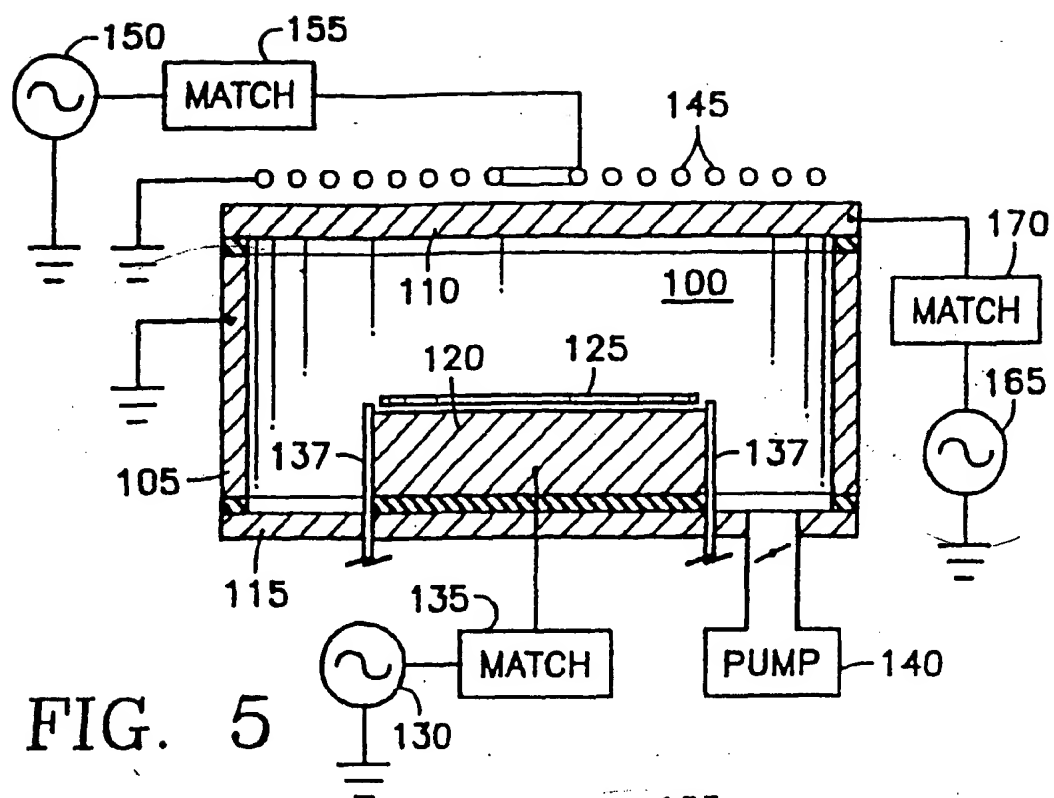


FIG. 5

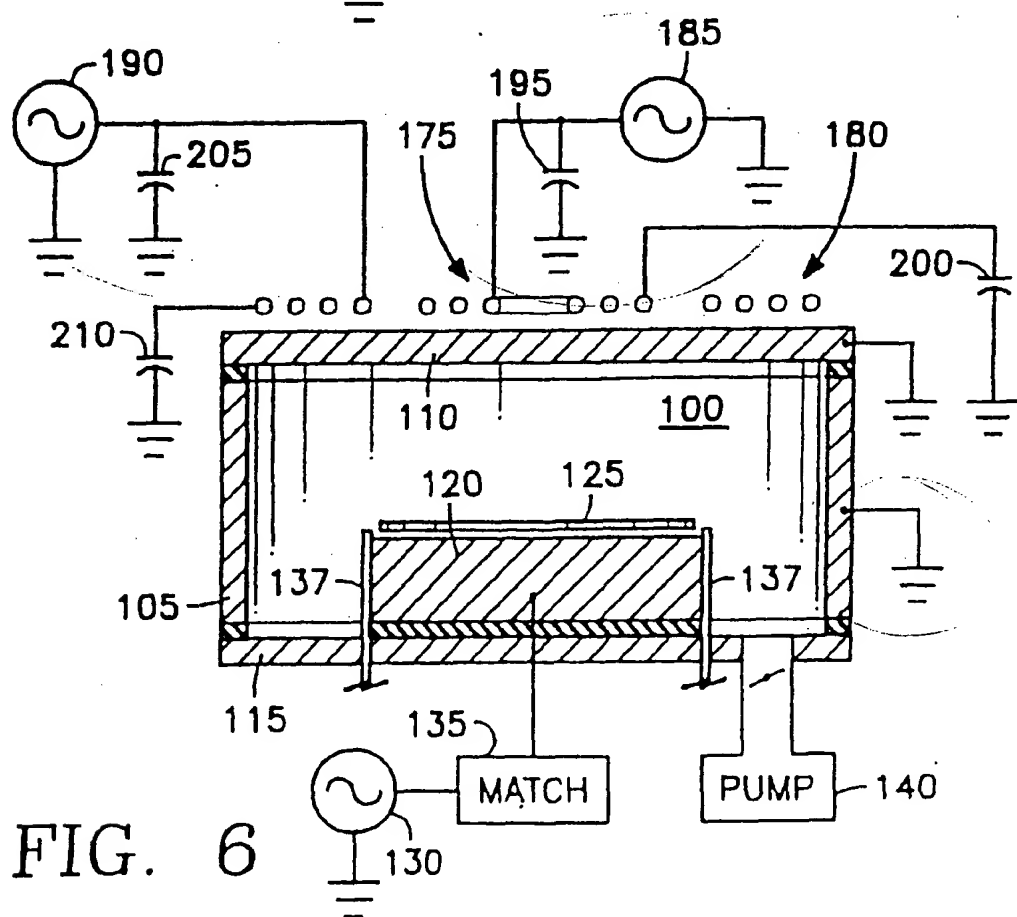


FIG. 6

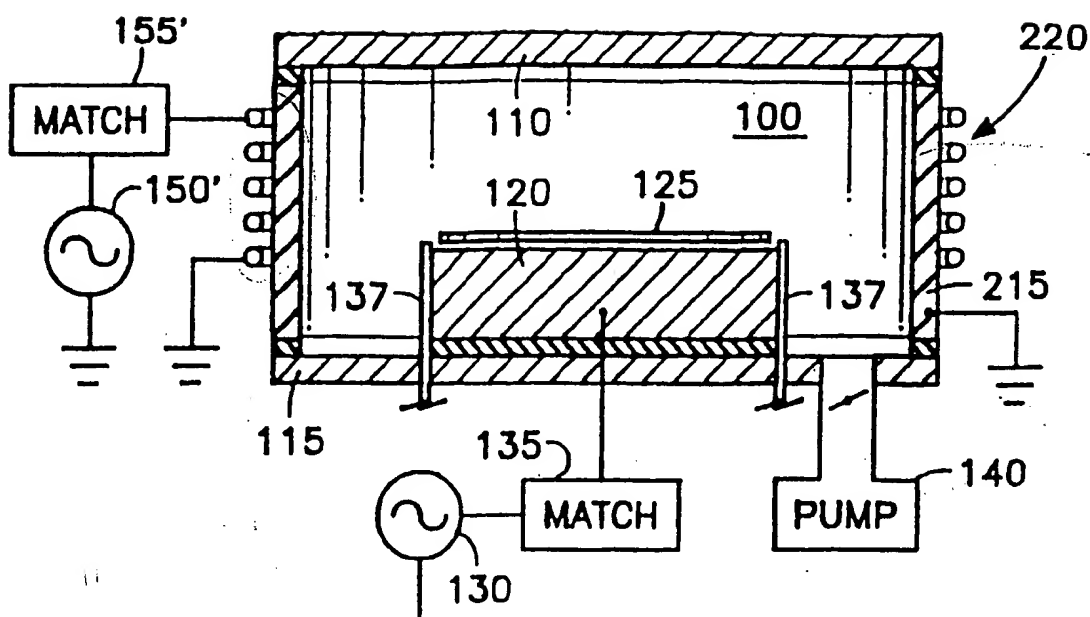


FIG. 7

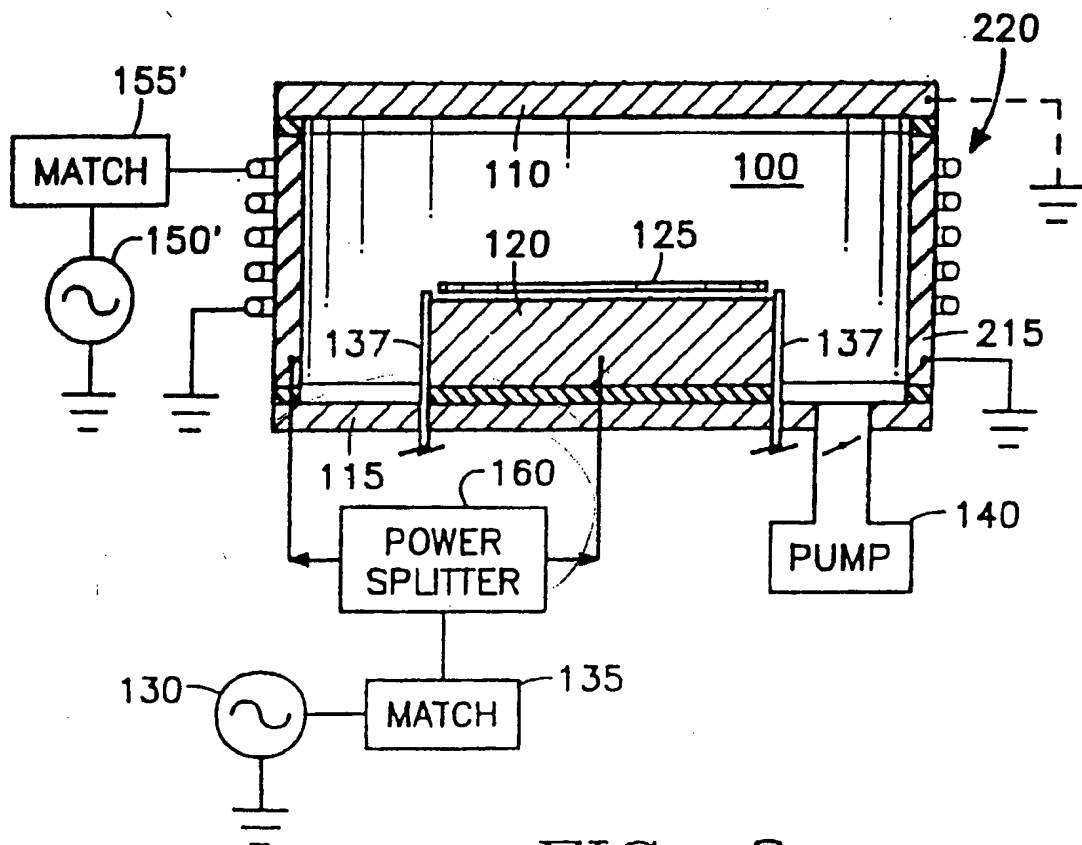


FIG. 8

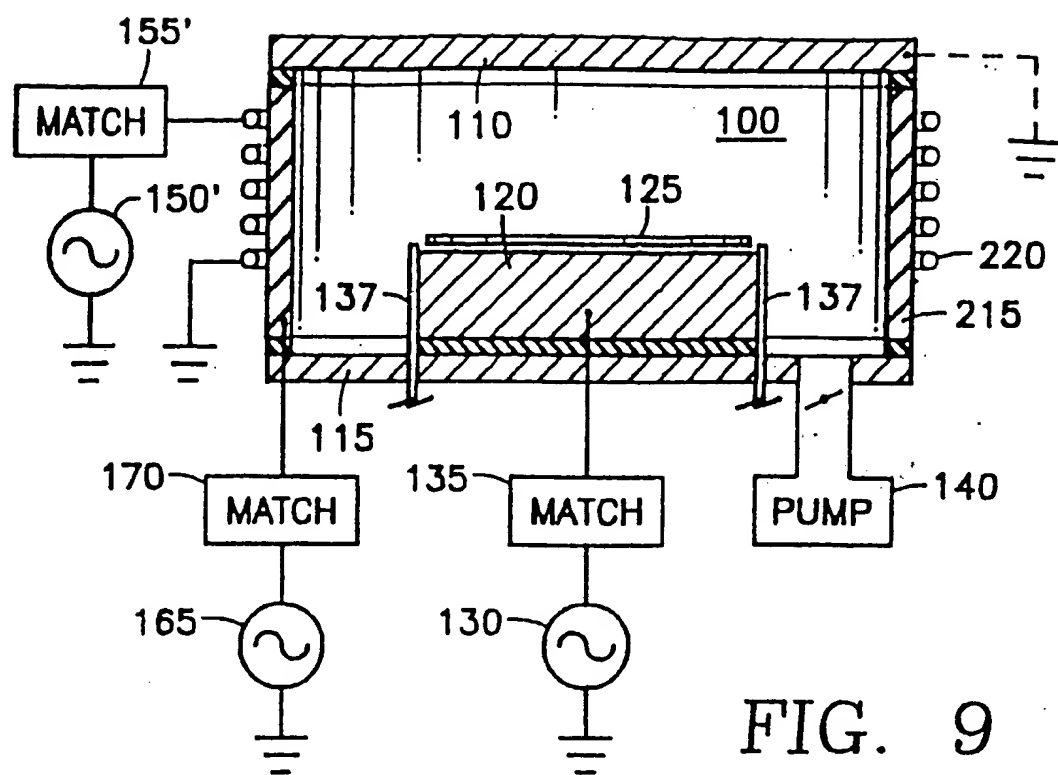
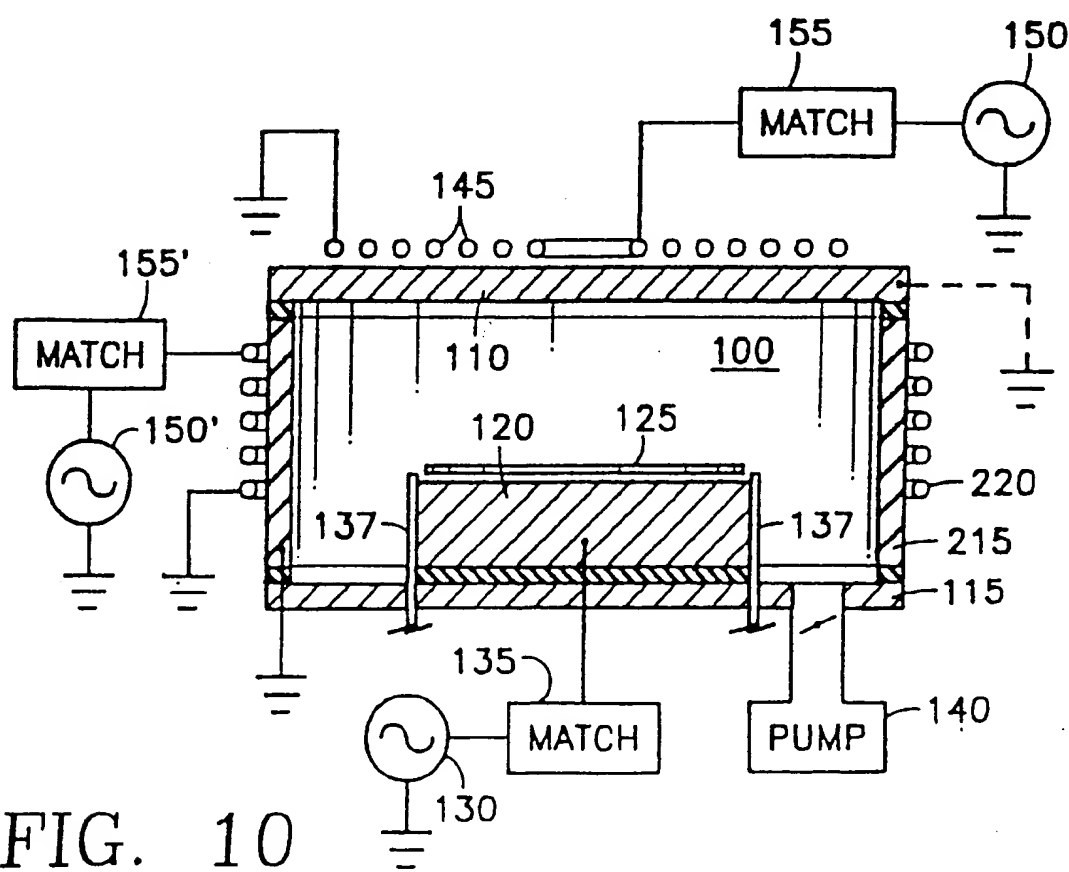
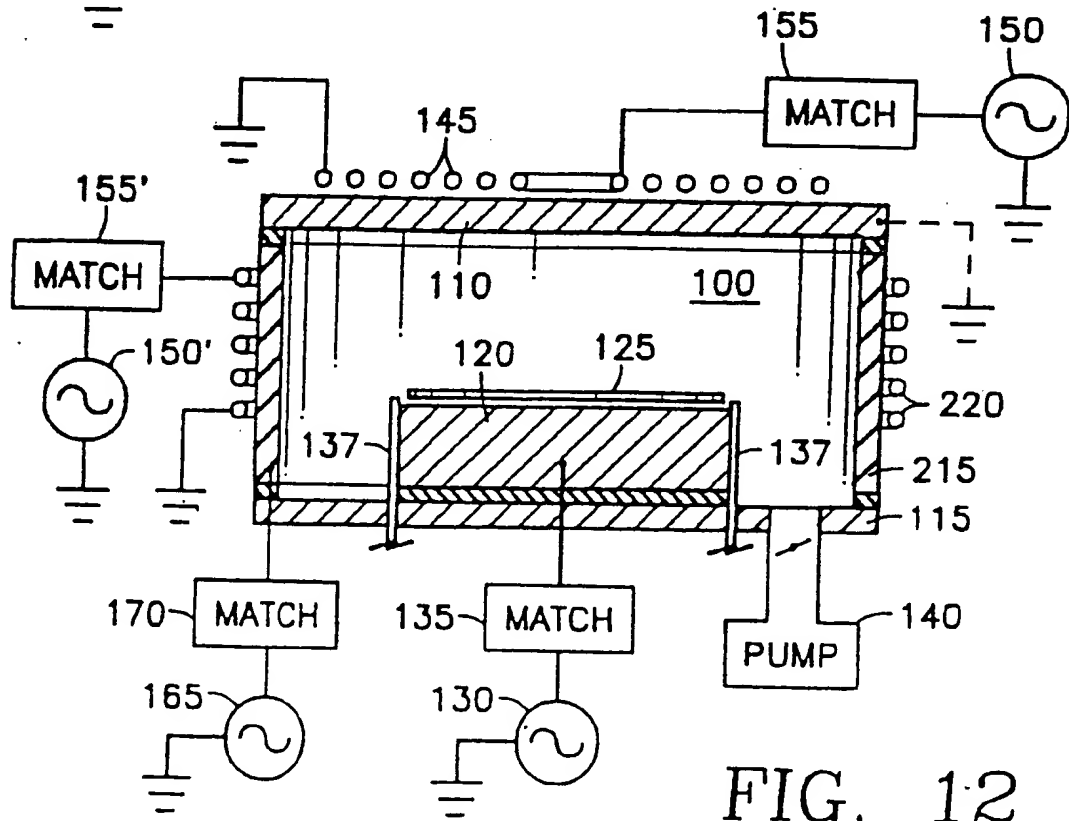
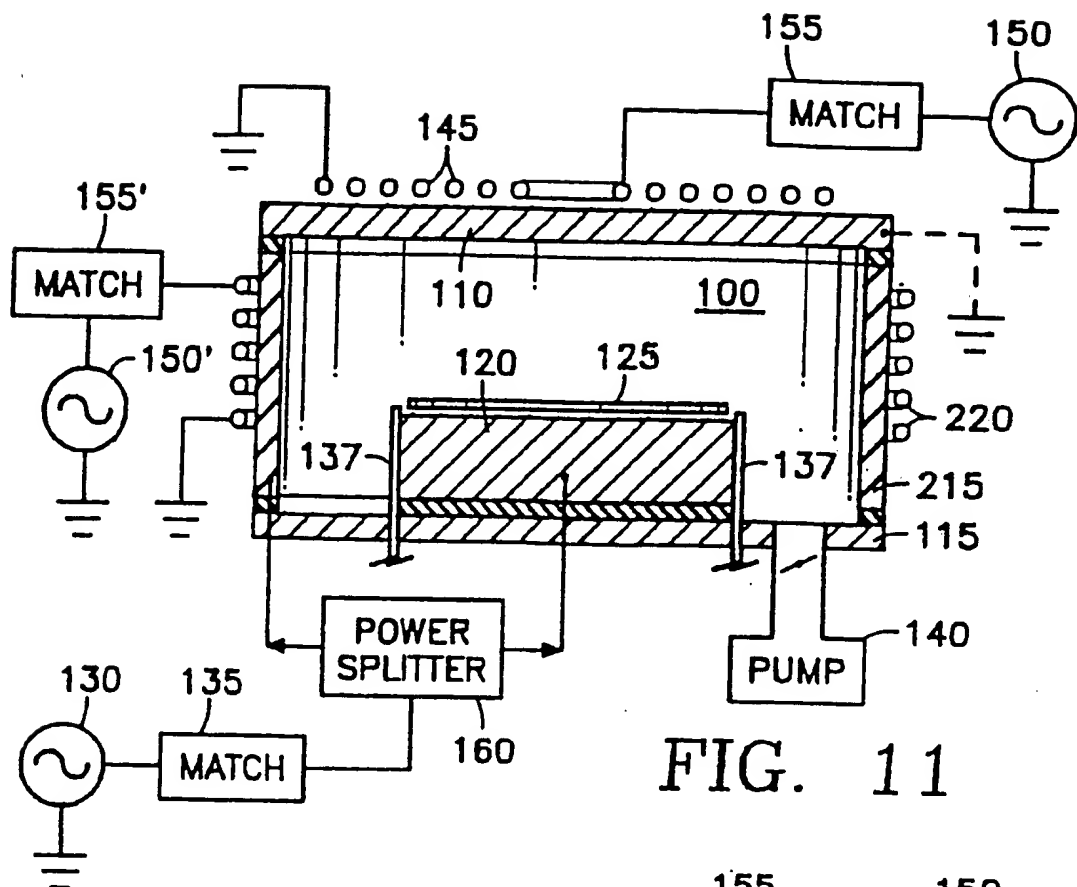


FIG. 9





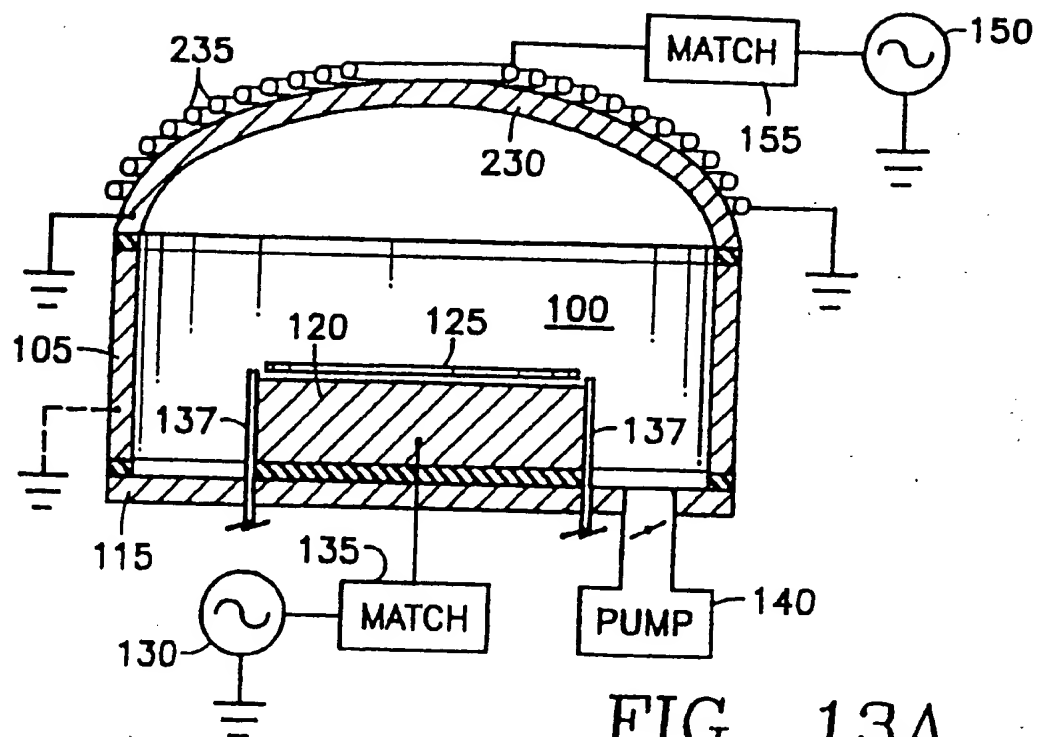


FIG. 13A

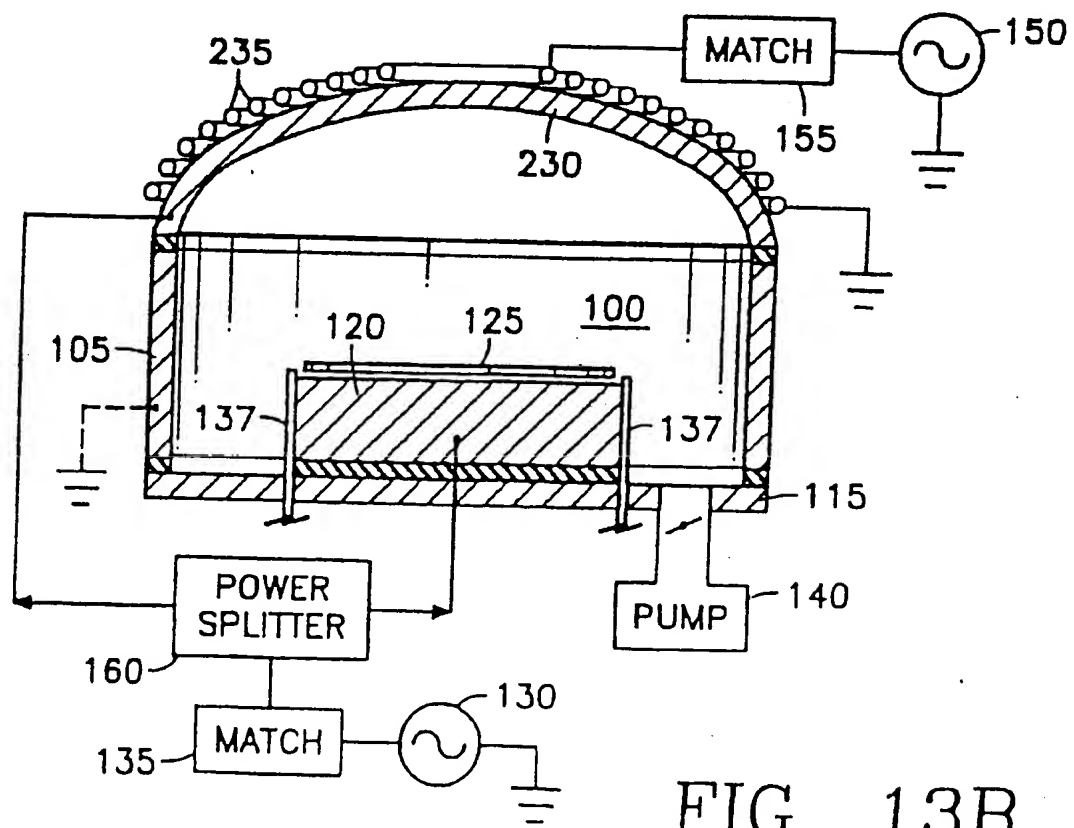
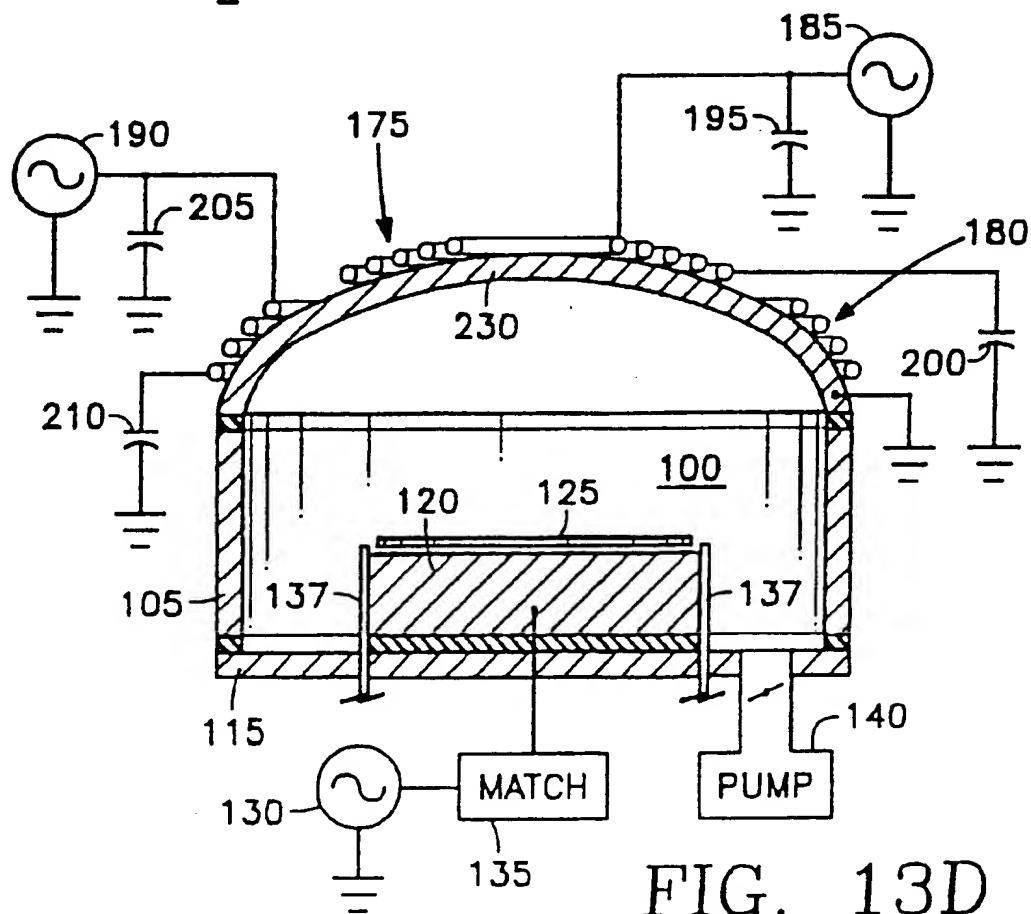
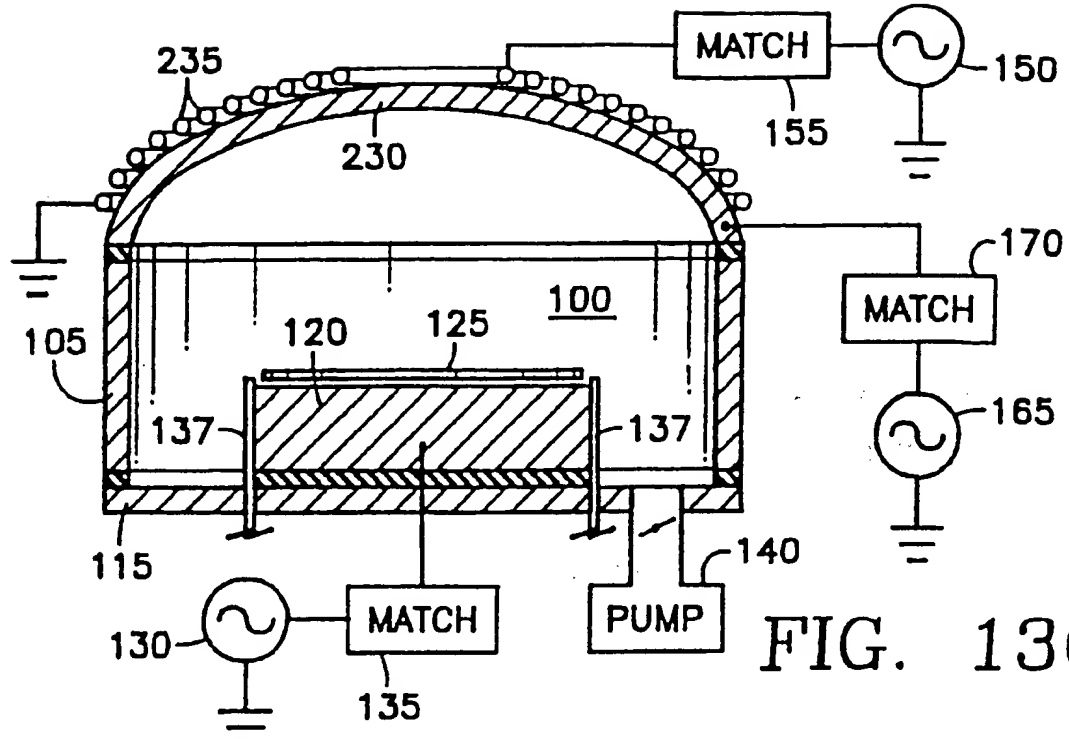
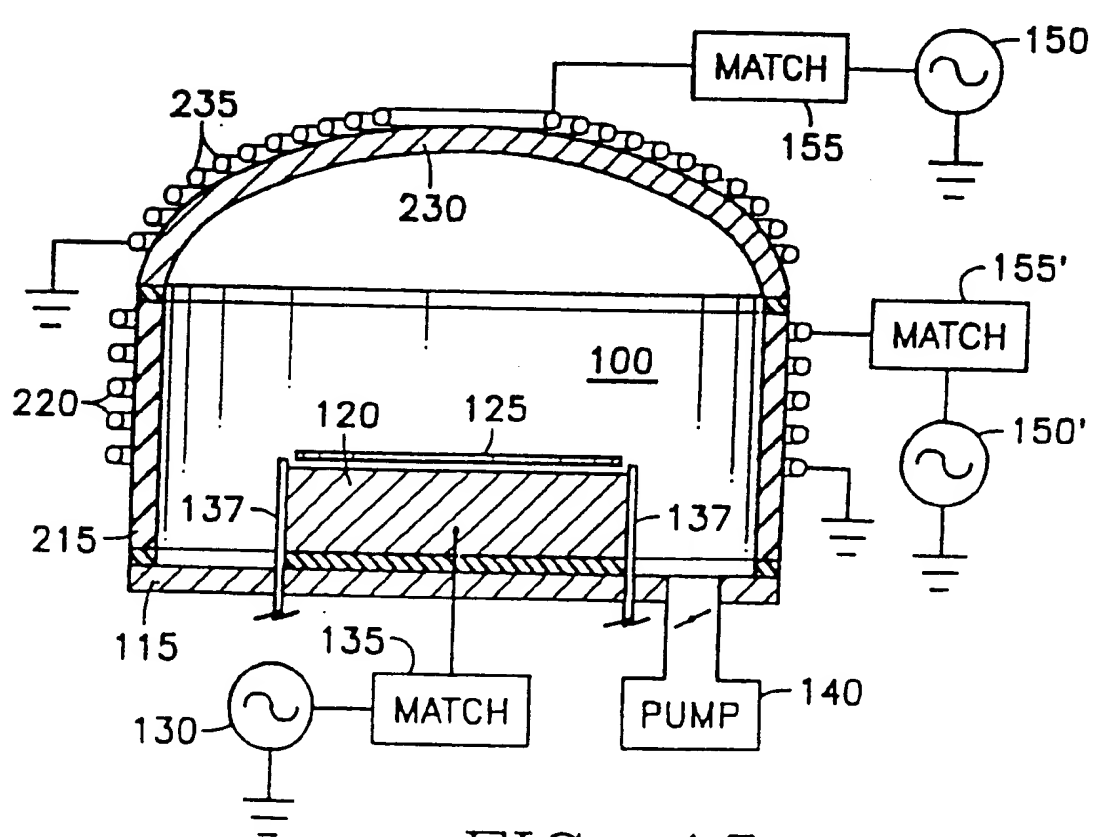
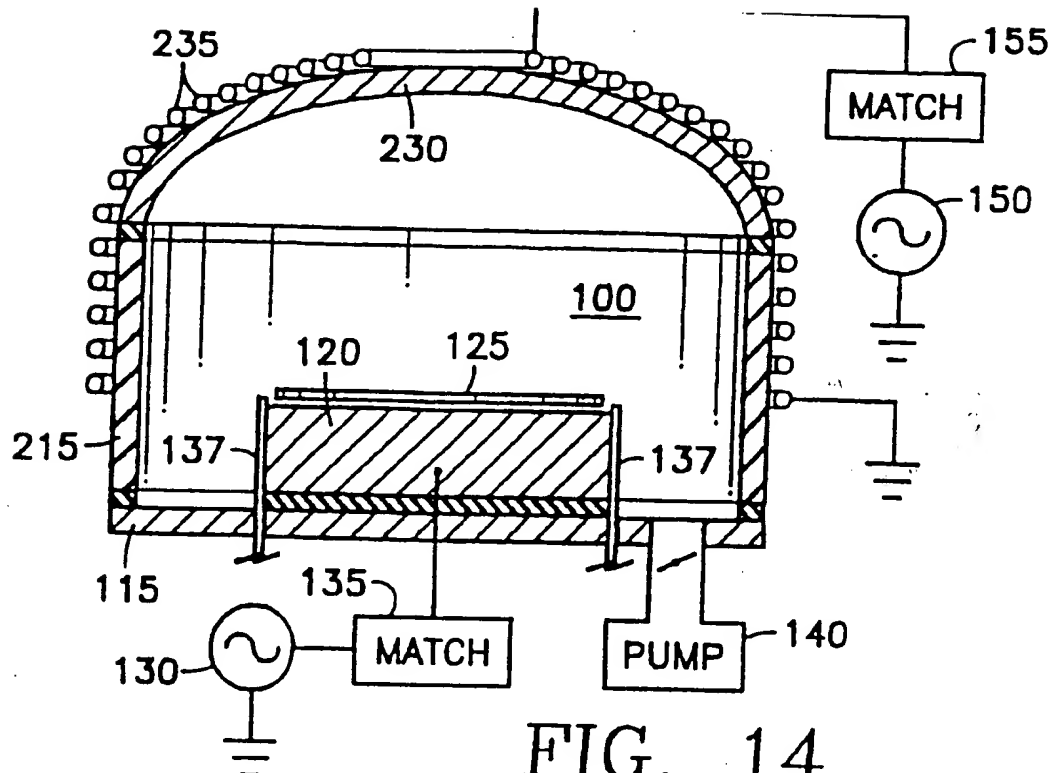


FIG. 13B





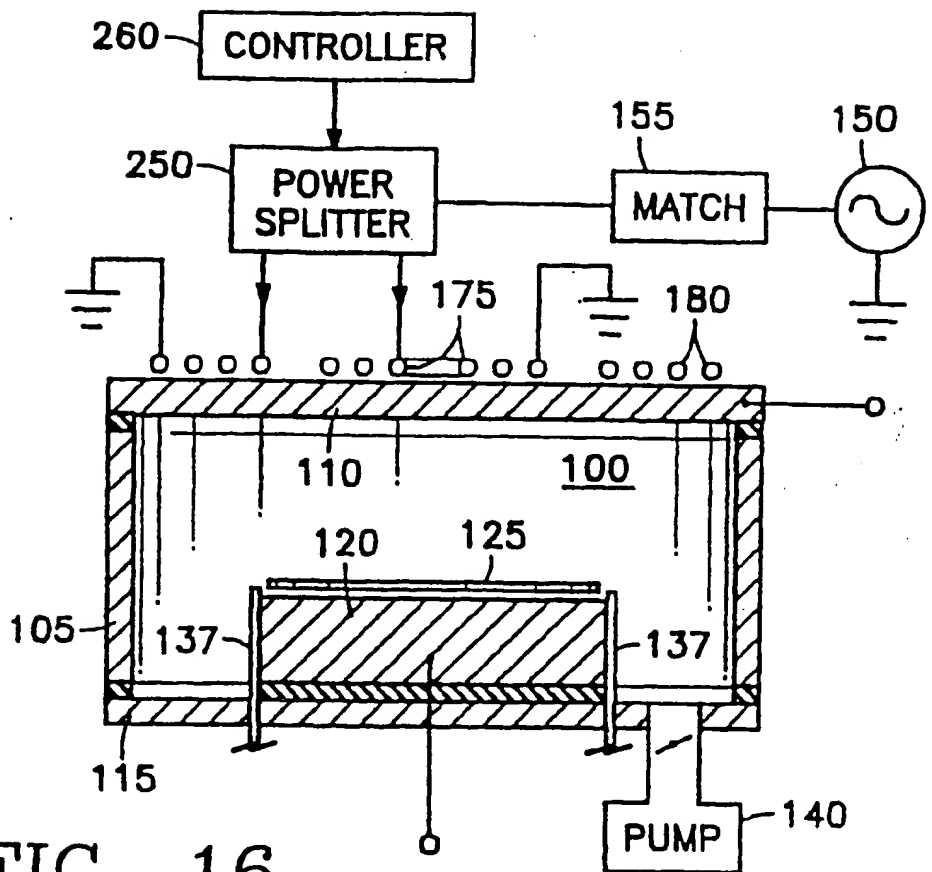


FIG. 16

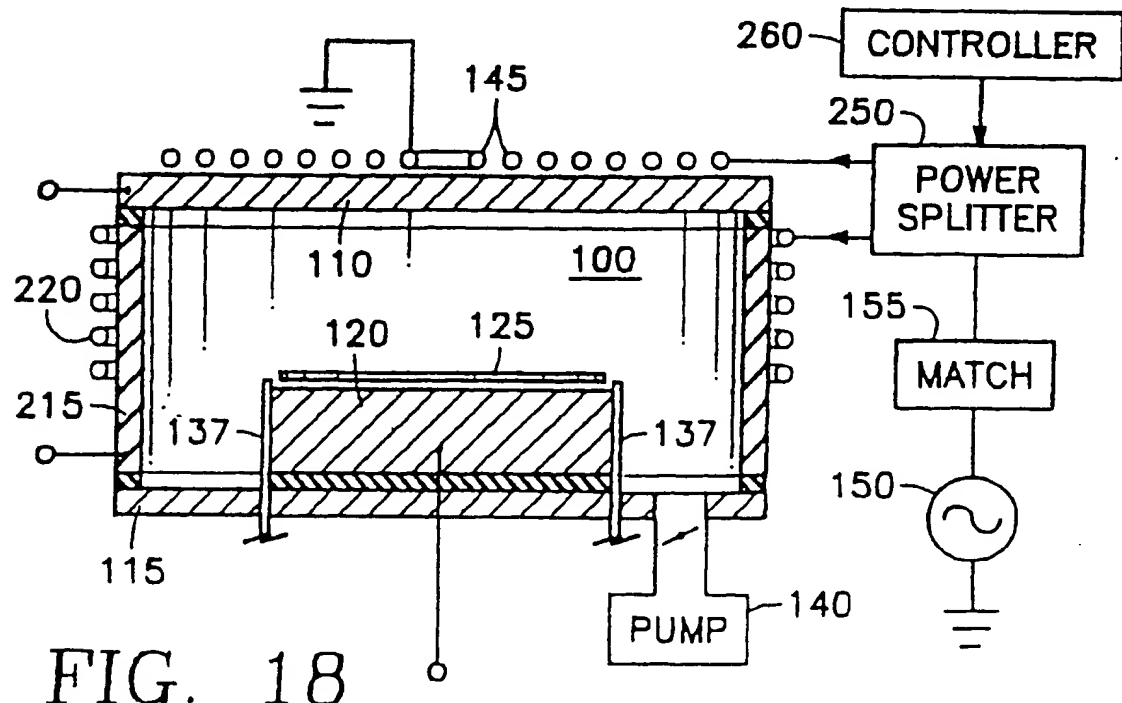


FIG. 18

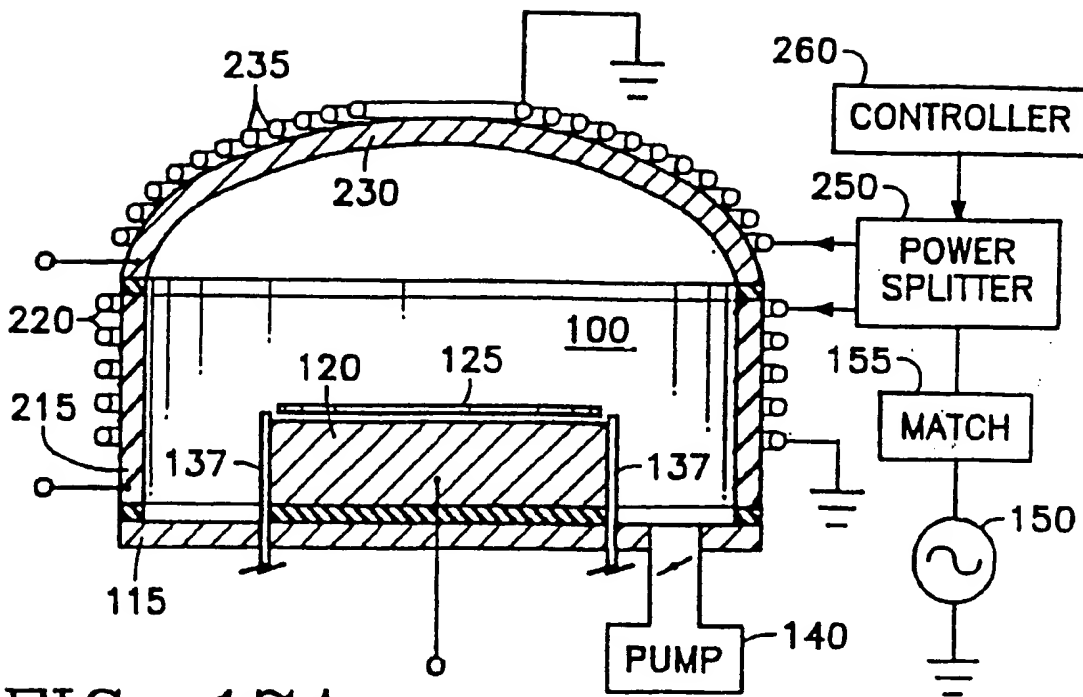


FIG. 17A

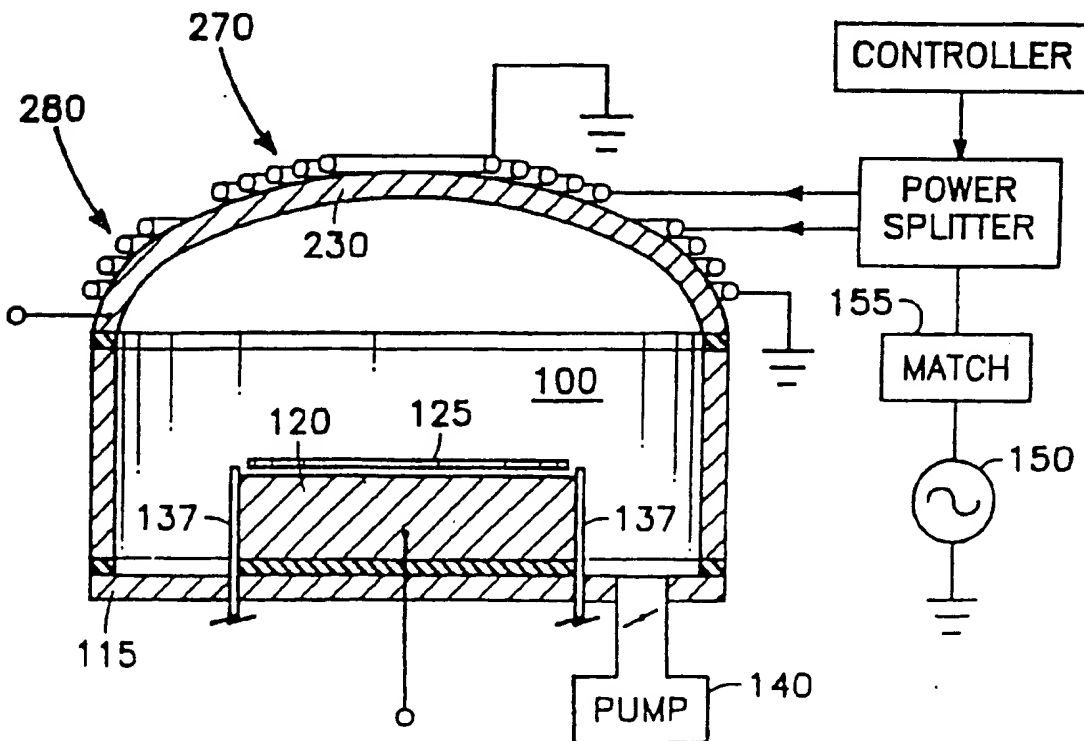


FIG. 17B

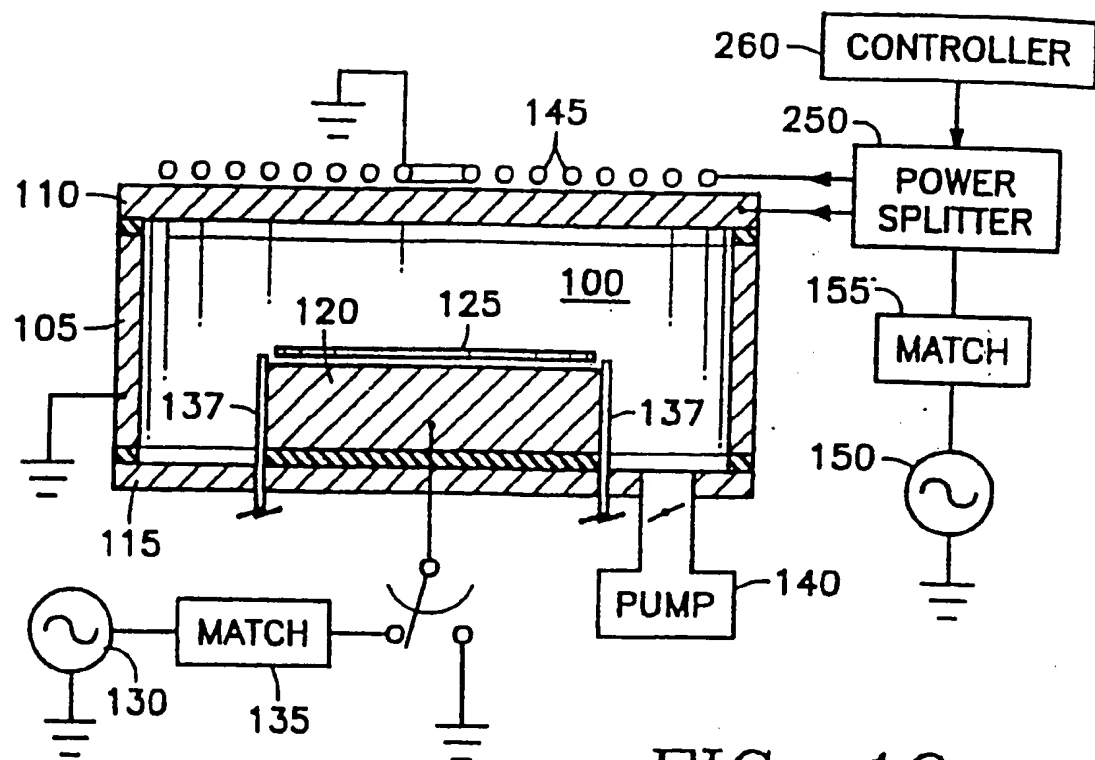


FIG. 19

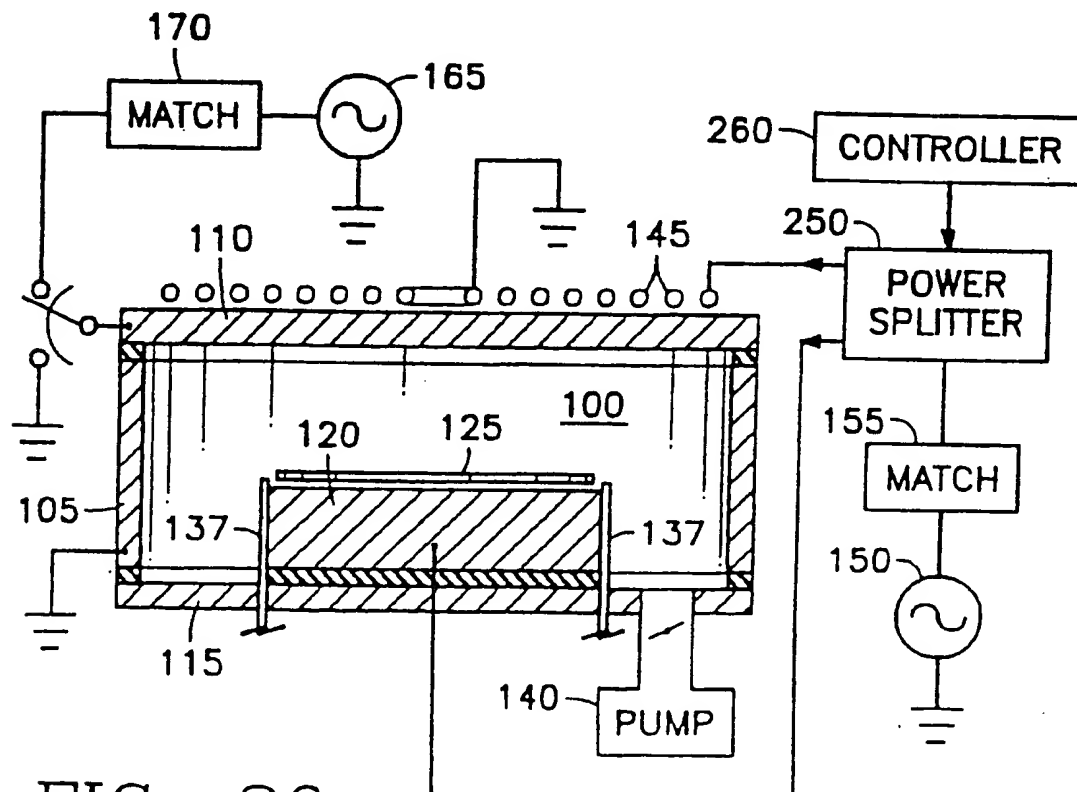


FIG. 20

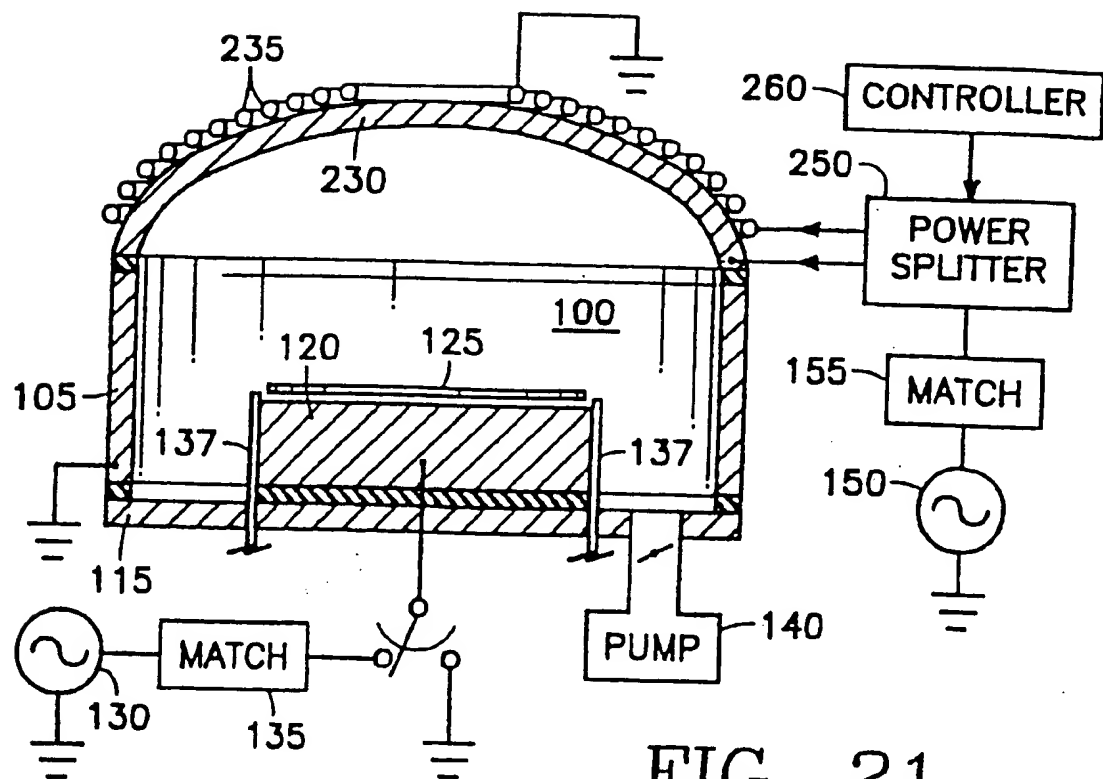


FIG. 21

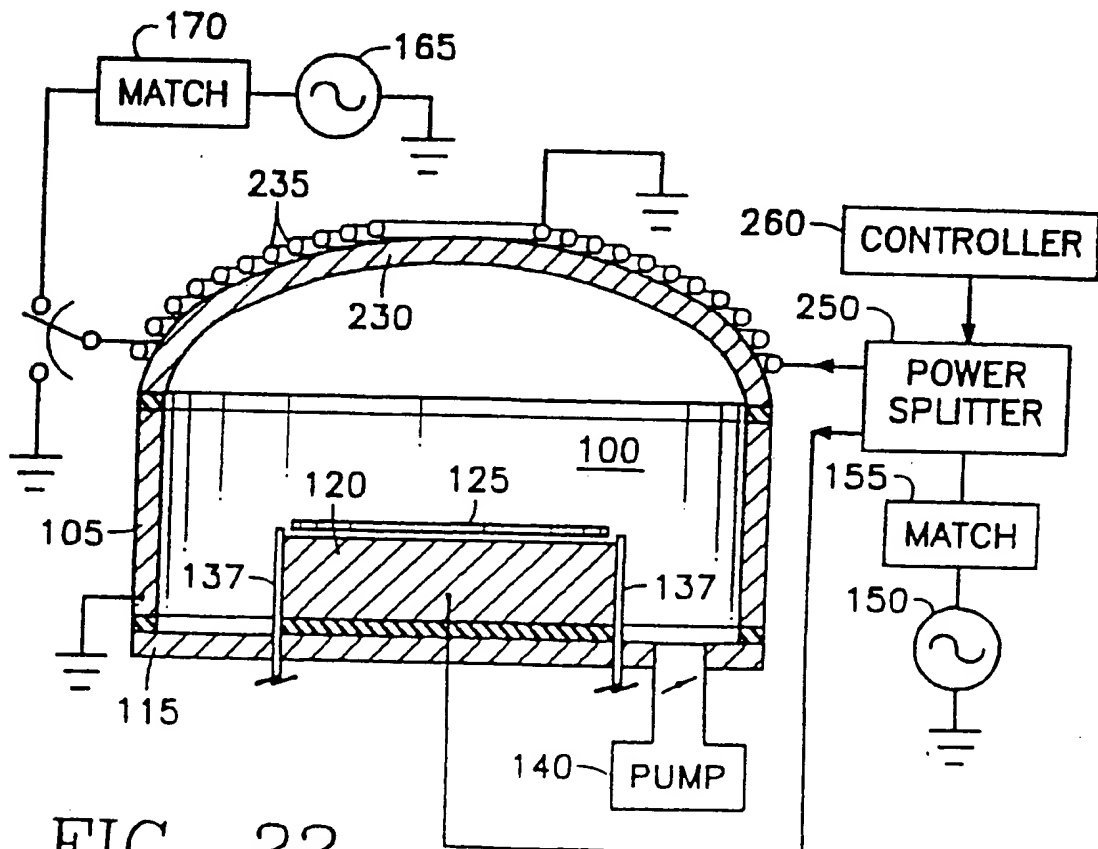


FIG. 22

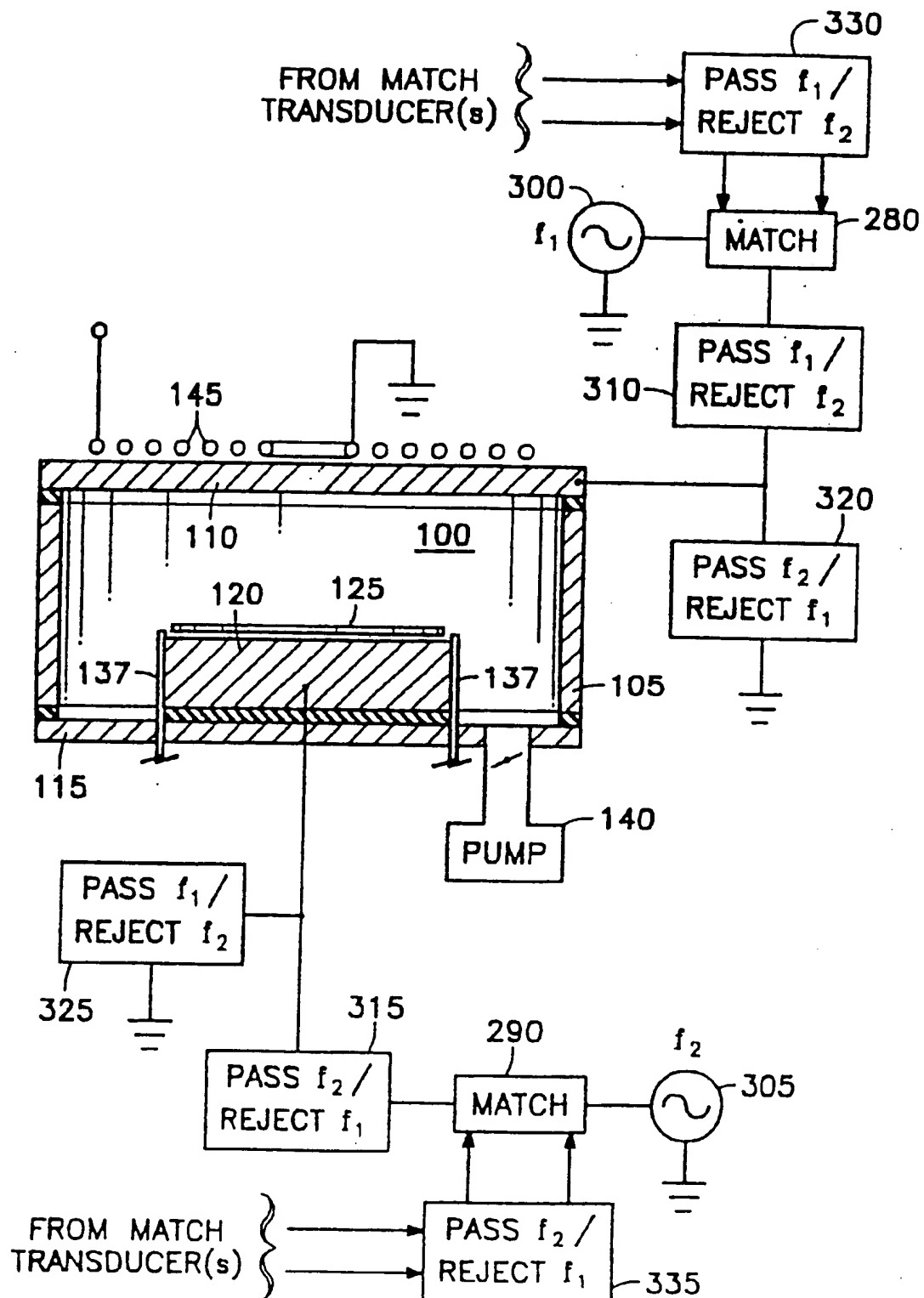
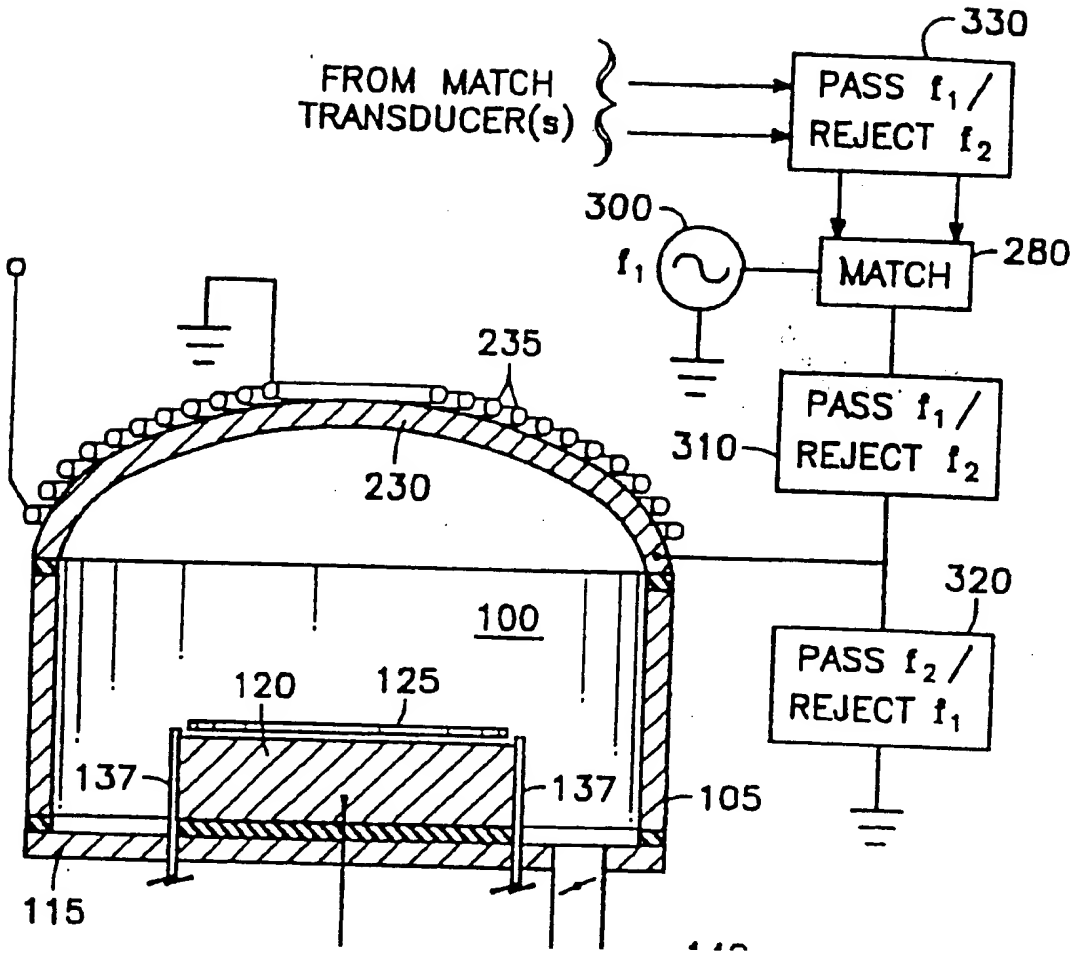


FIG. 23



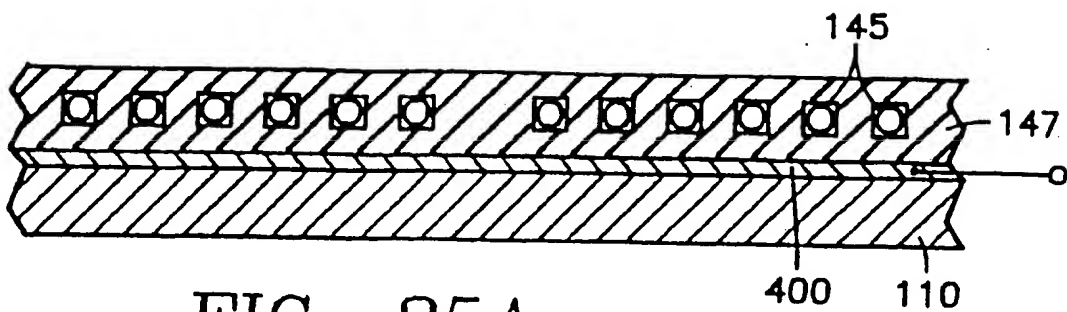


FIG. 25A

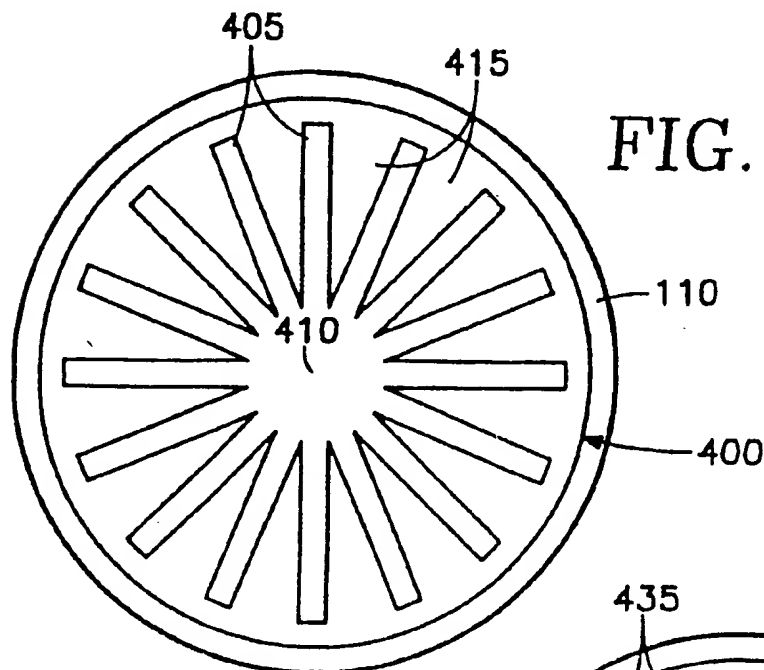


FIG. 25B

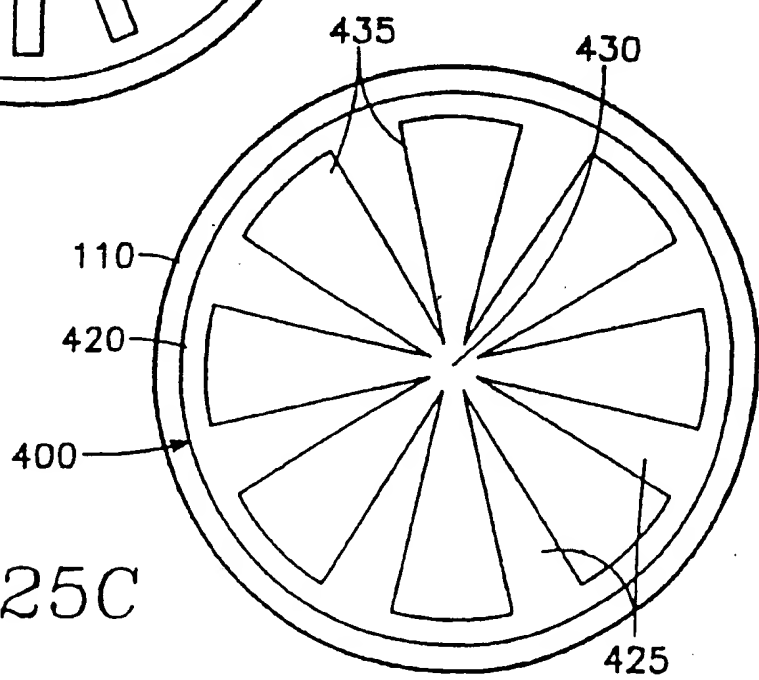


FIG. 25C

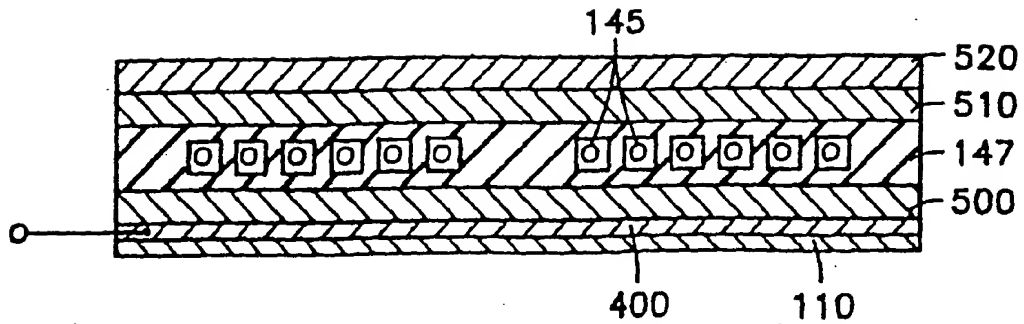


FIG. 26

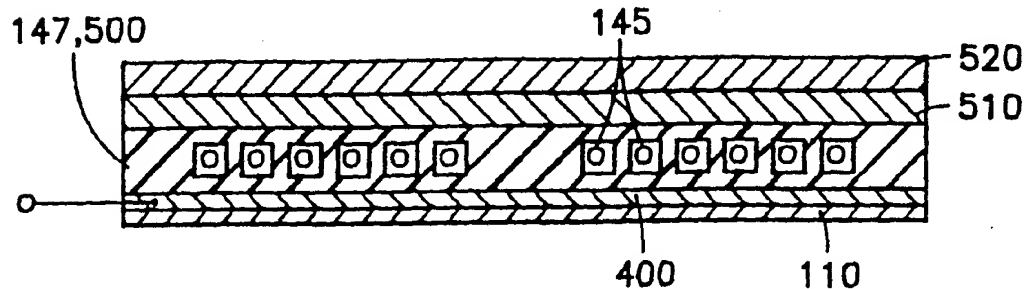


FIG. 27

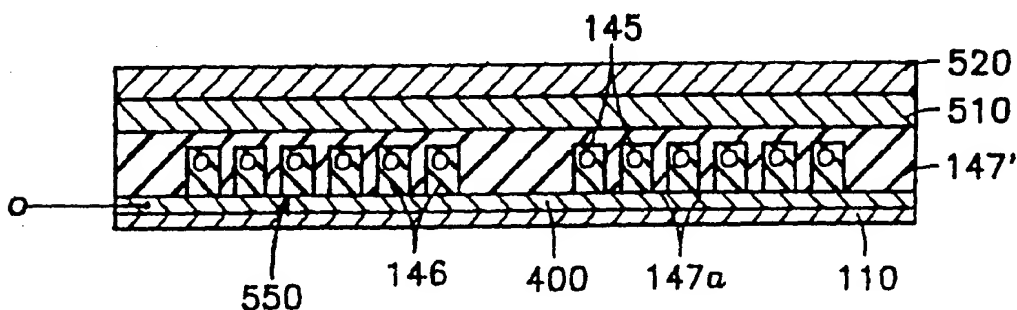


FIG. 28

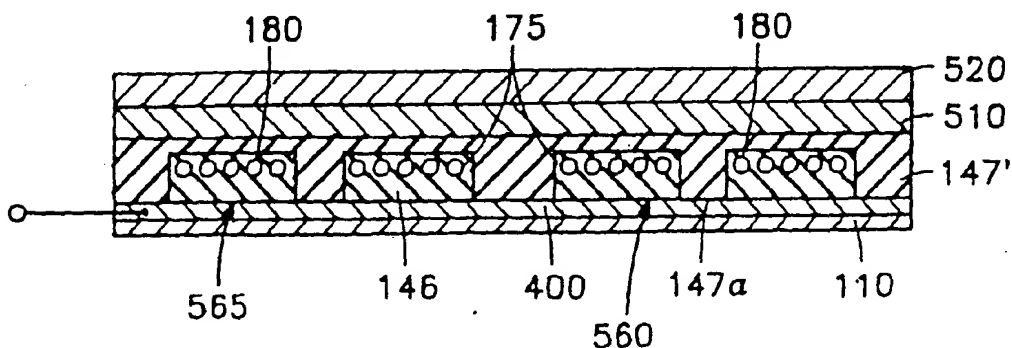


FIG. 29

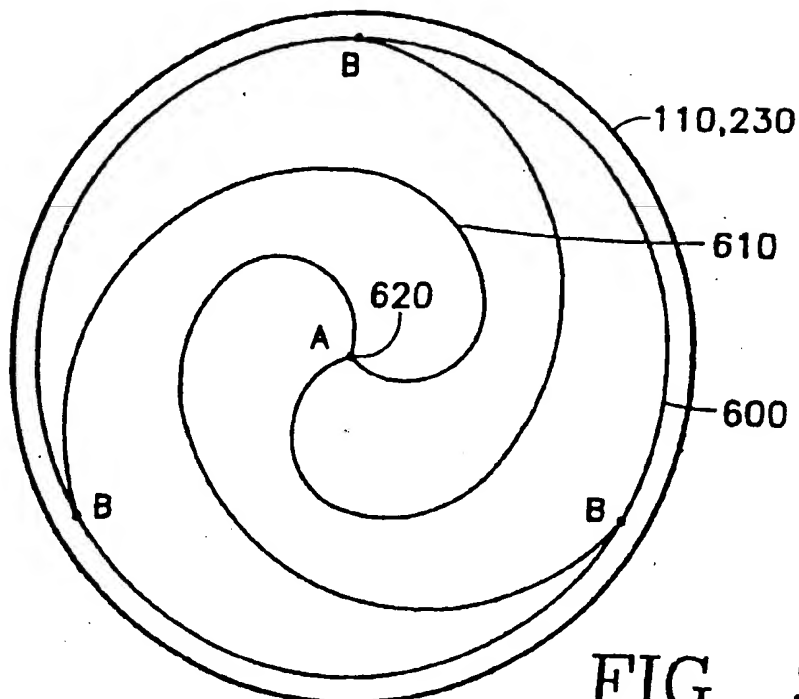


FIG. 30A

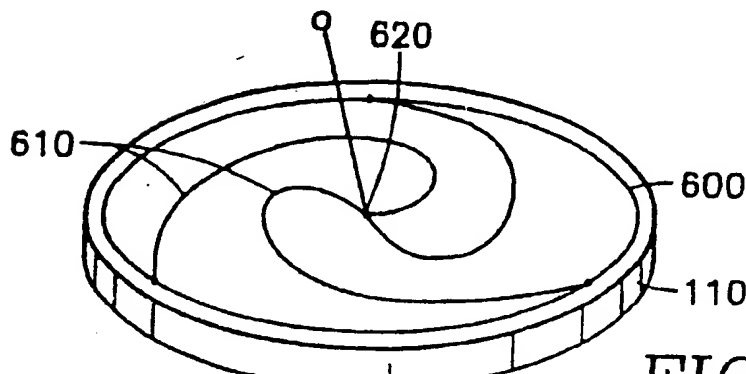


FIG. 30B

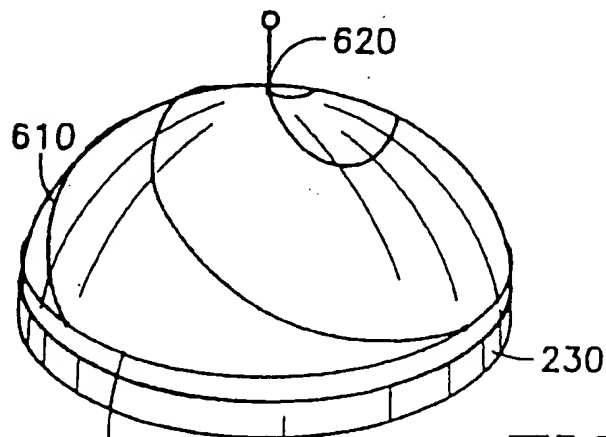
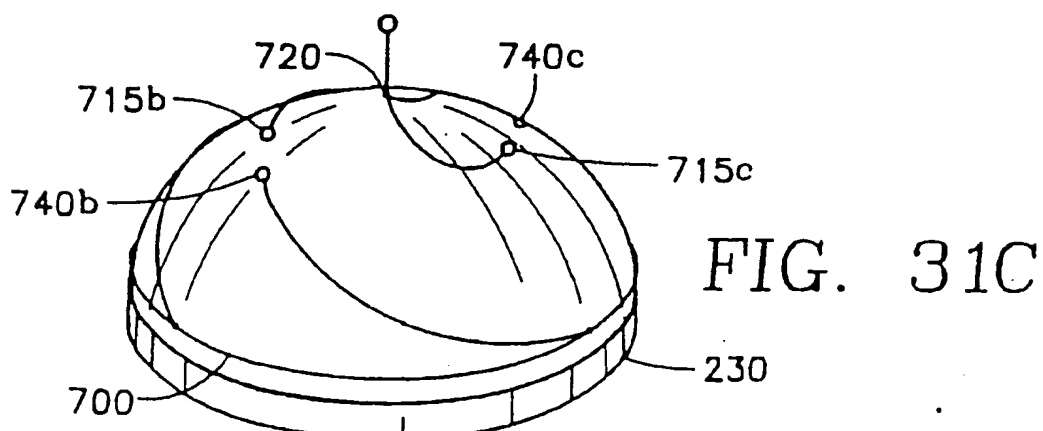
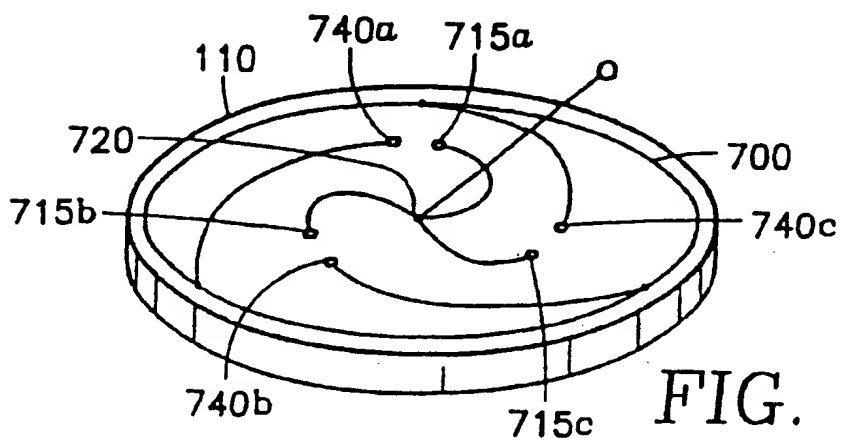
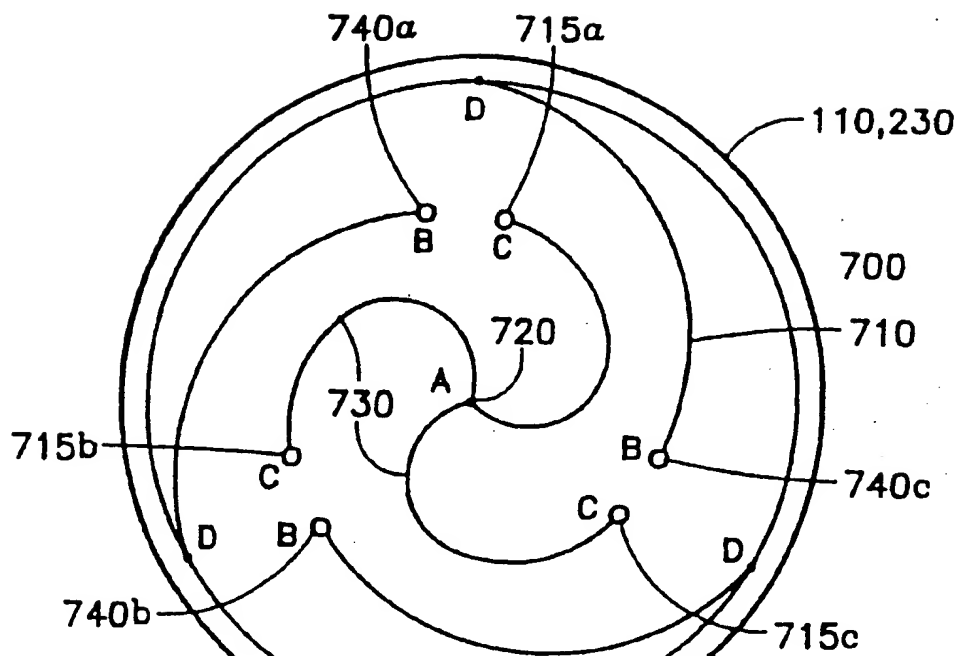


FIG. 30C



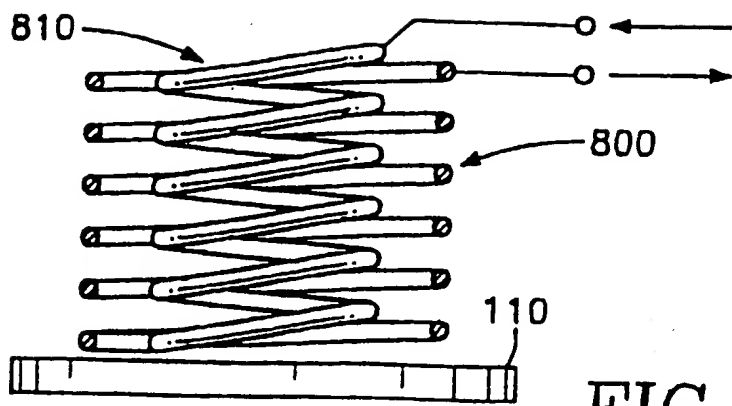
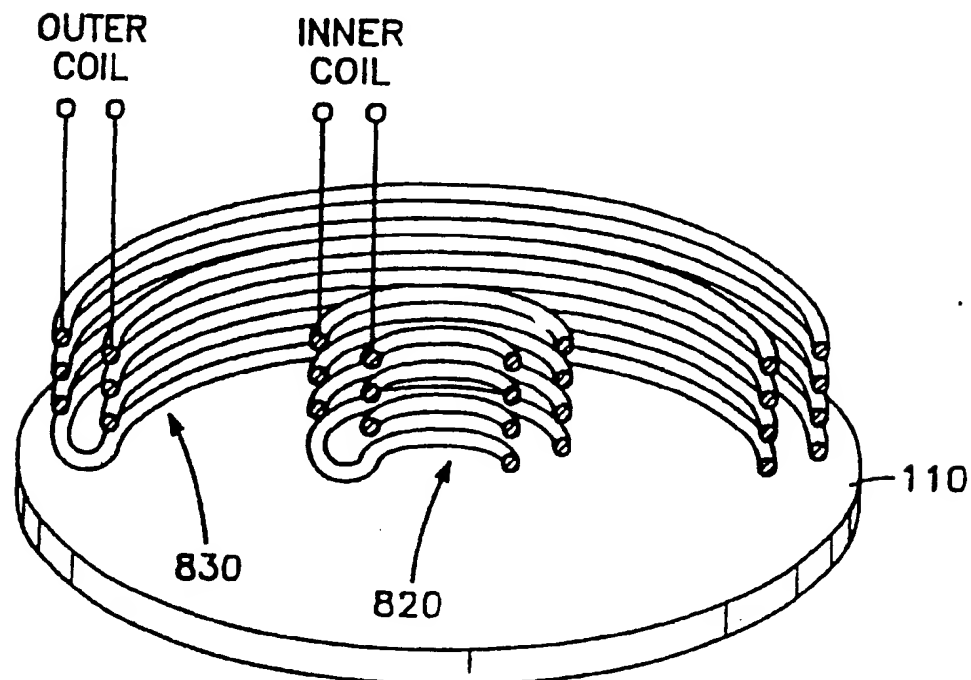


FIG. 32



*different  
intensity  
location*

FIG. 33

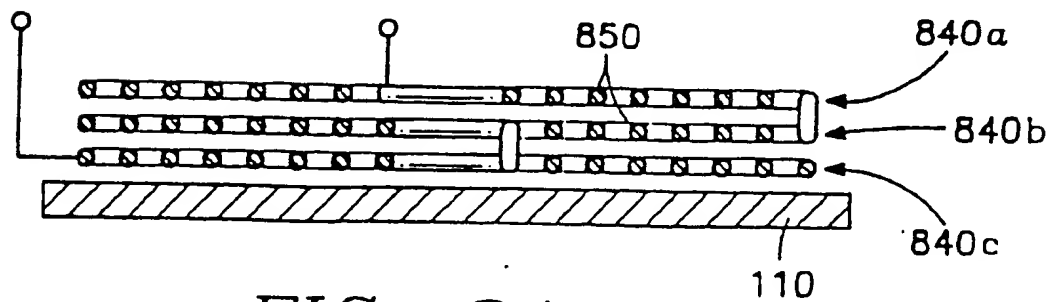
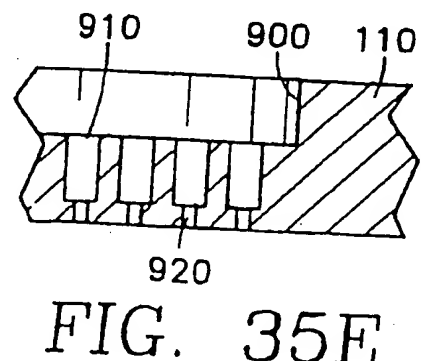
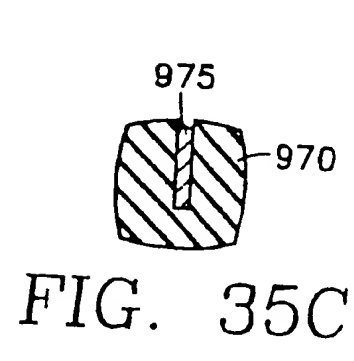
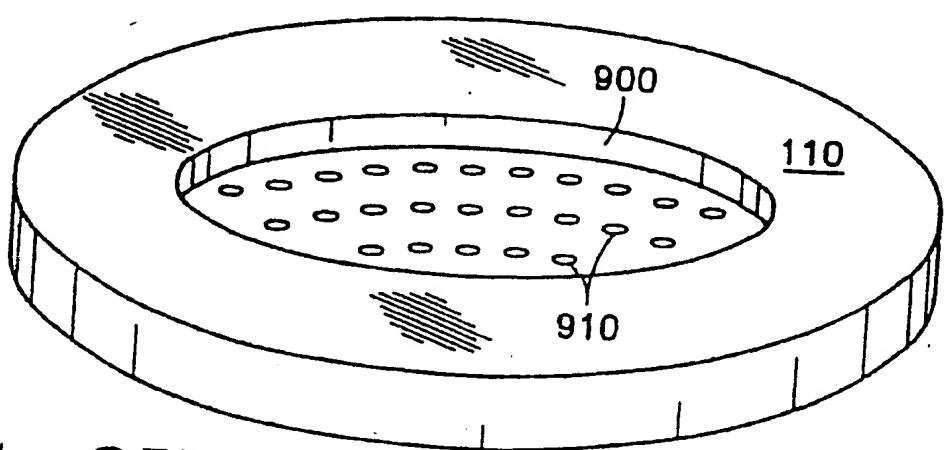
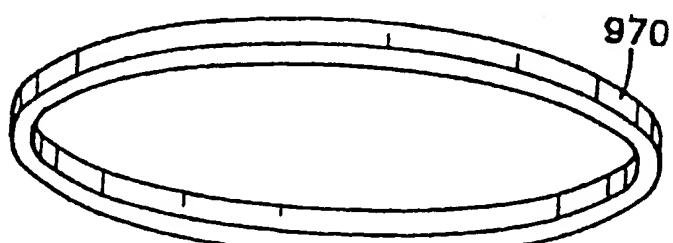
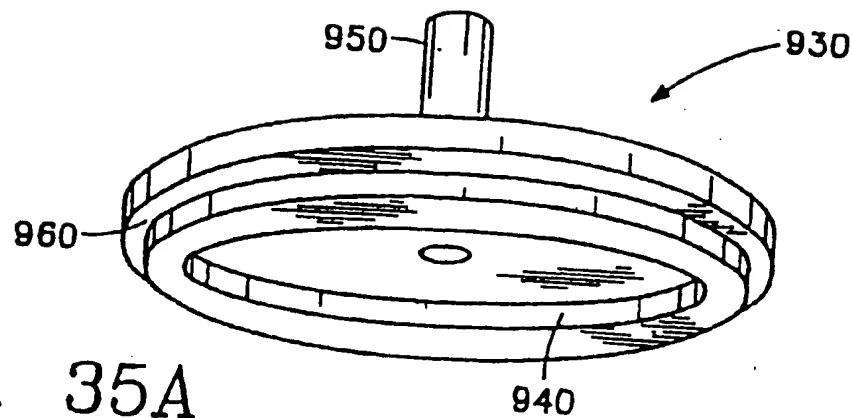


FIG. 34



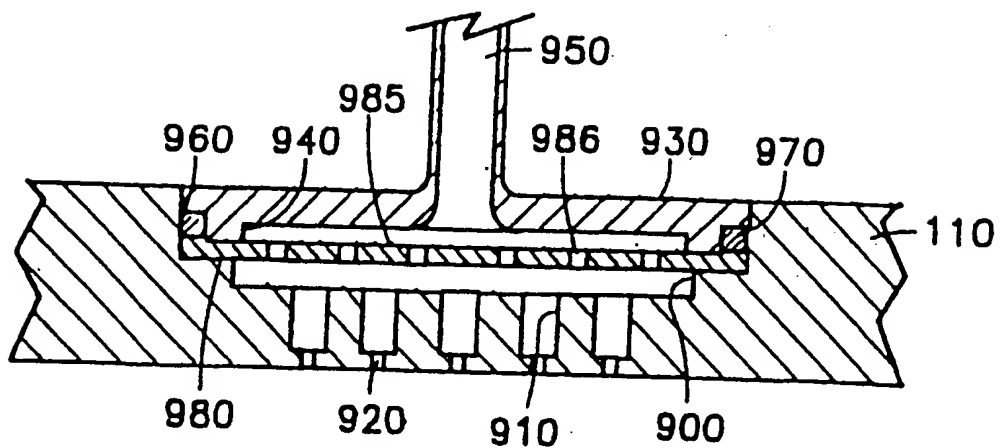


FIG. 36A

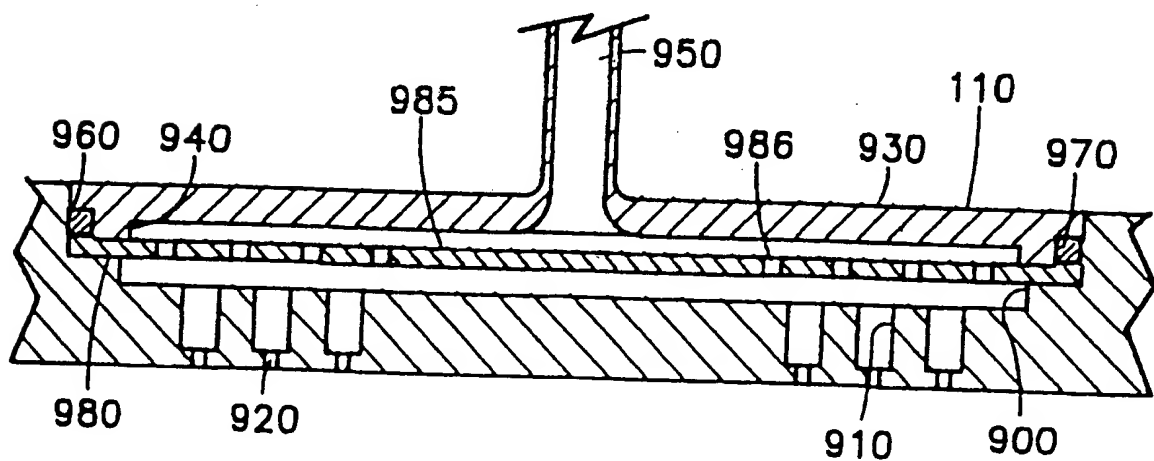


FIG. 36B

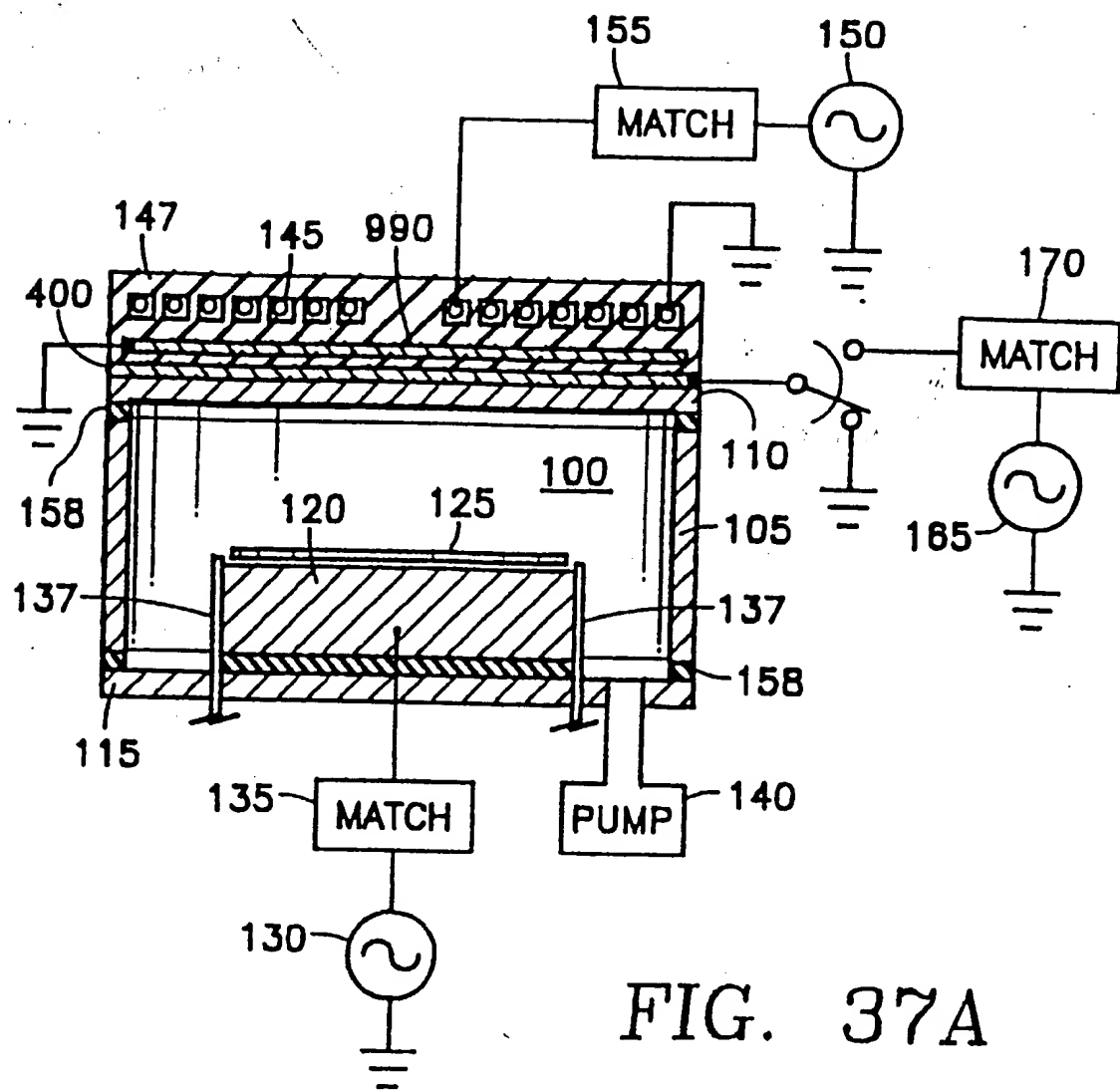


FIG. 37A

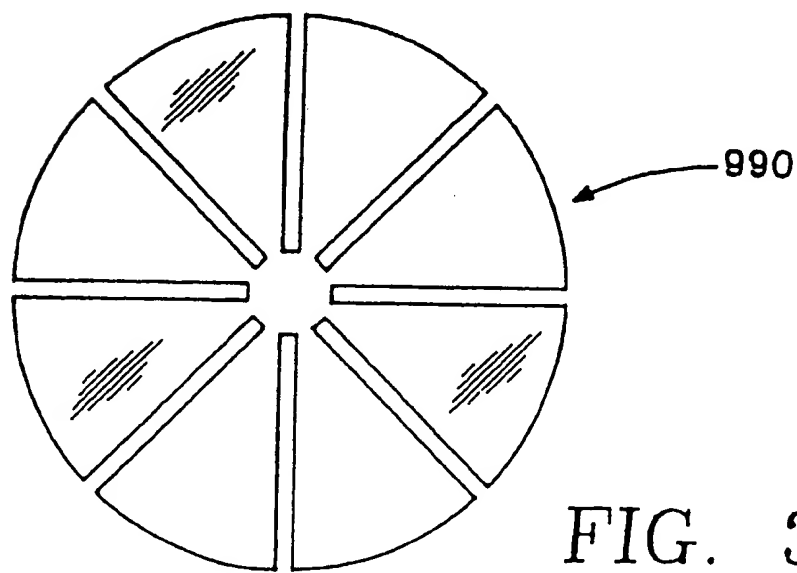
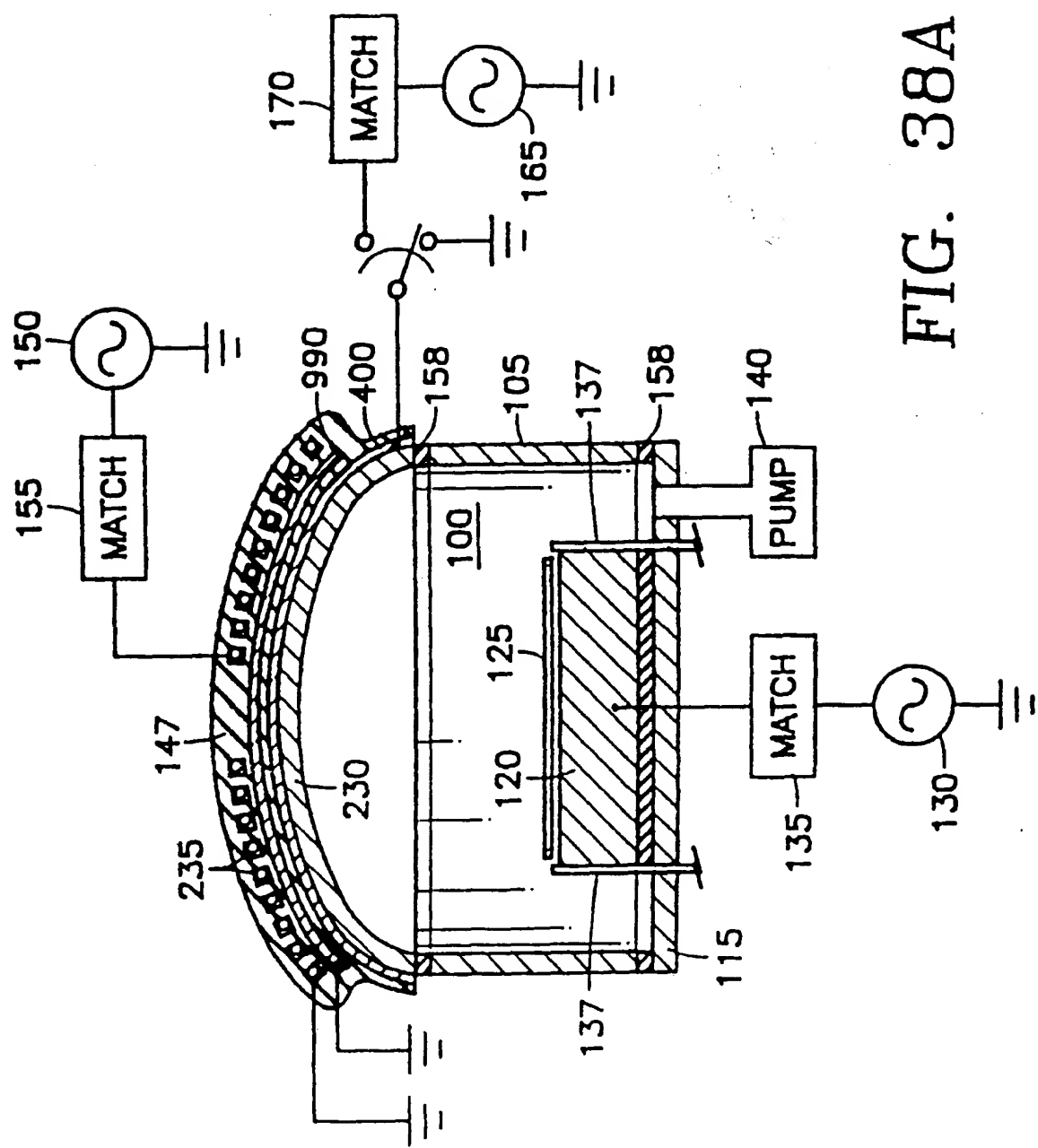


FIG. 37B

FIG. 38A



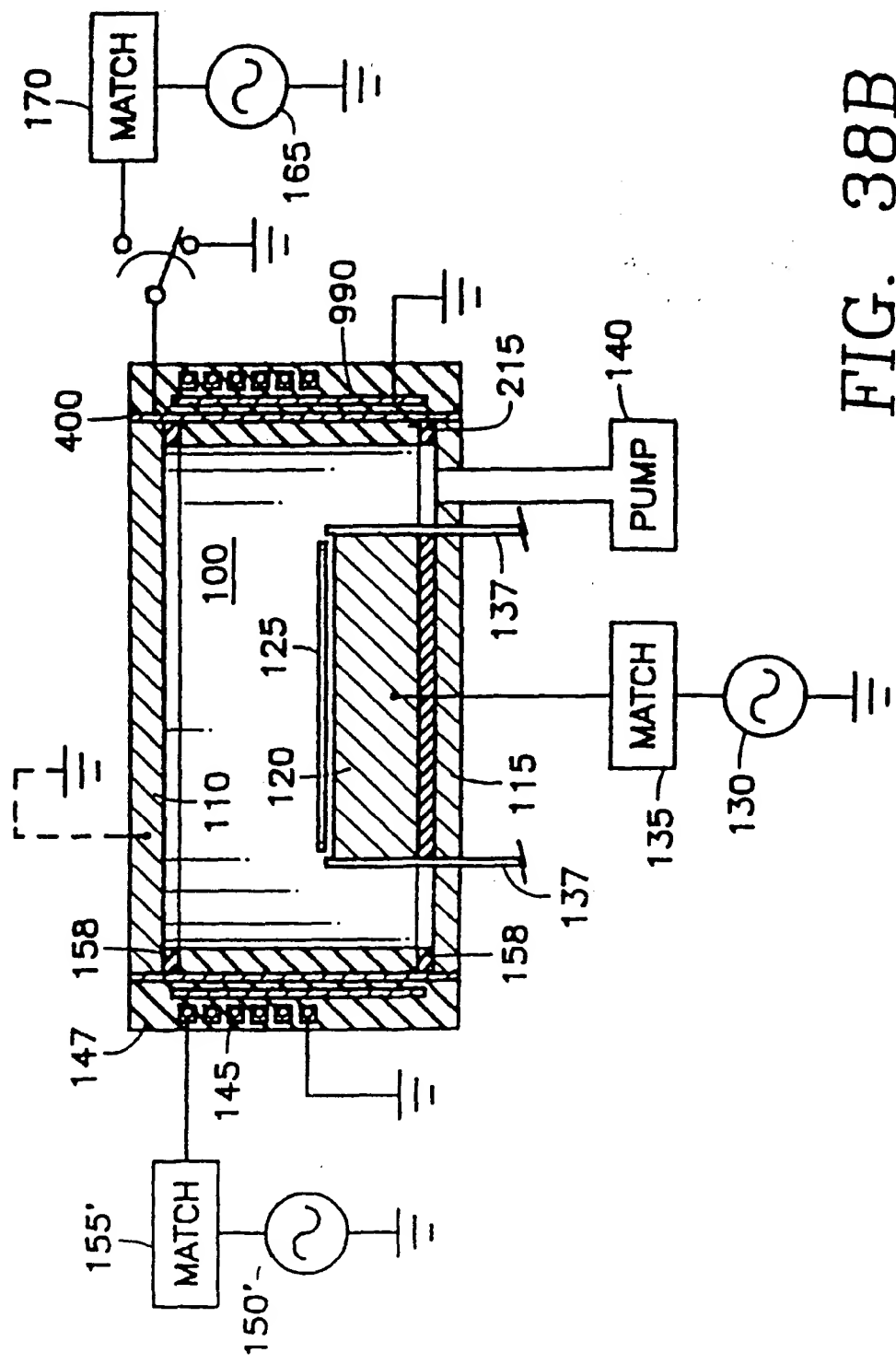


FIG. 38B

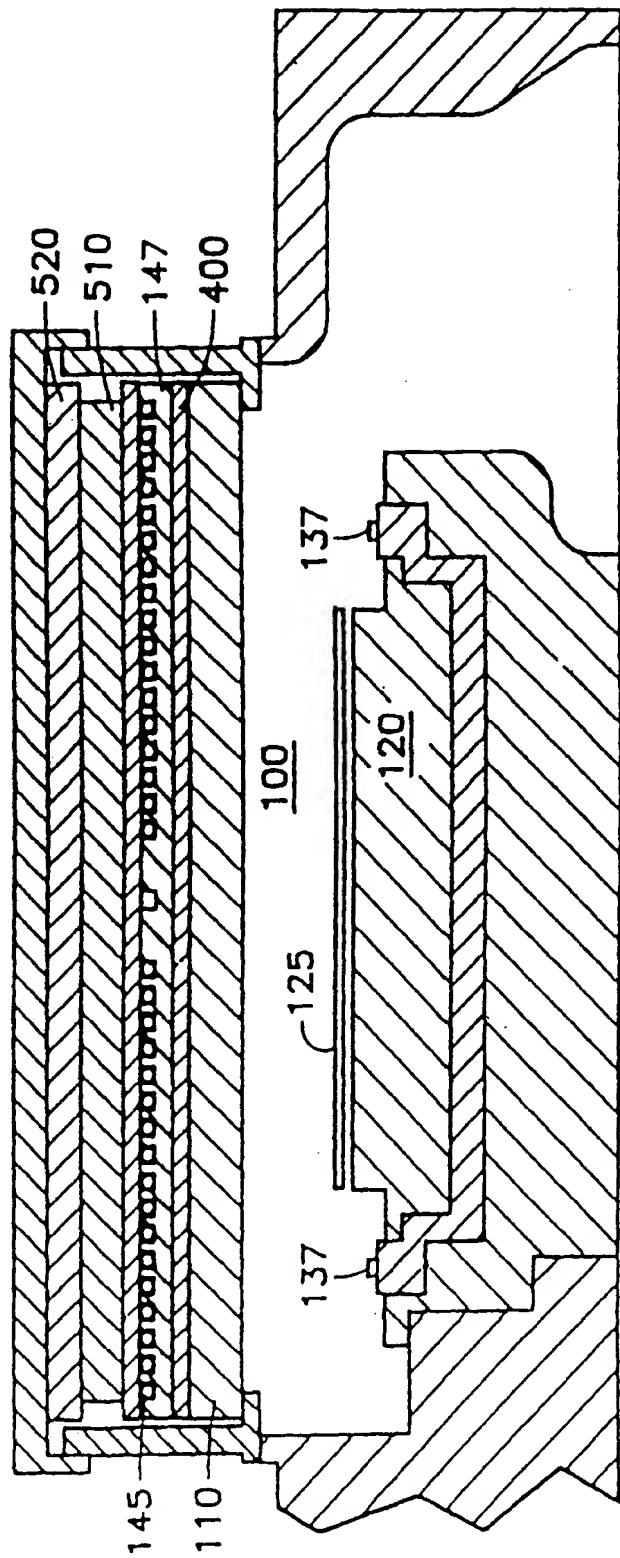
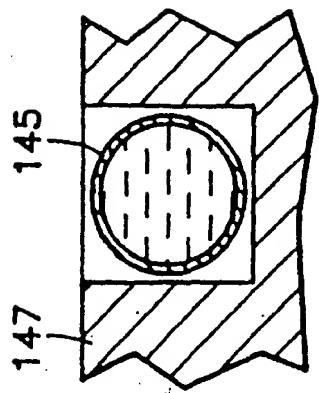


FIG. 39A



145  
147

FIG. 39B

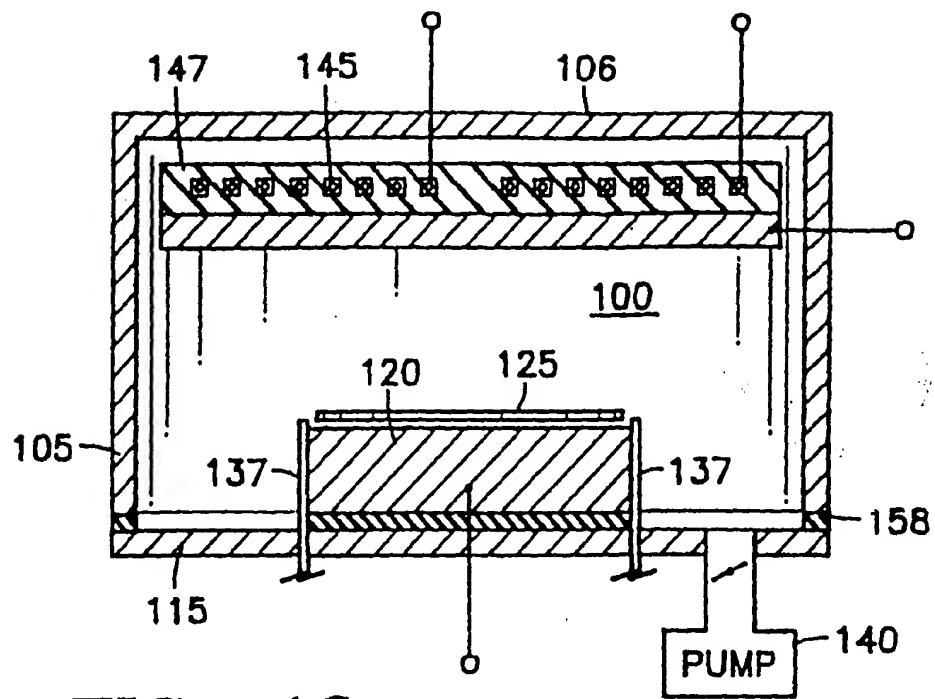


FIG. 40

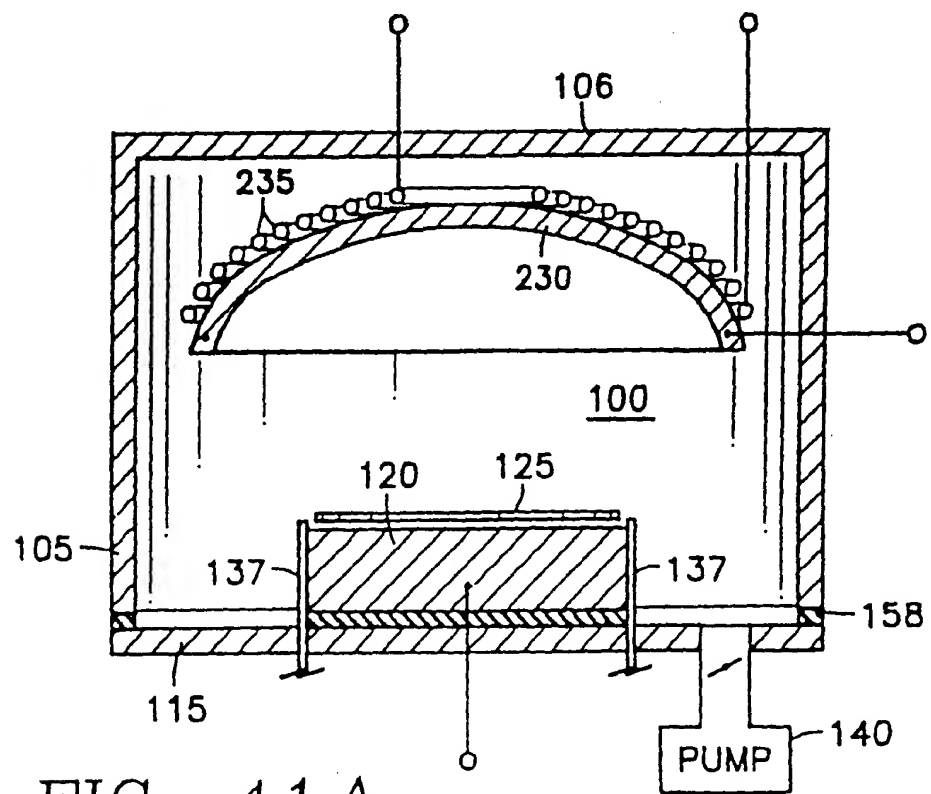


FIG. 41A

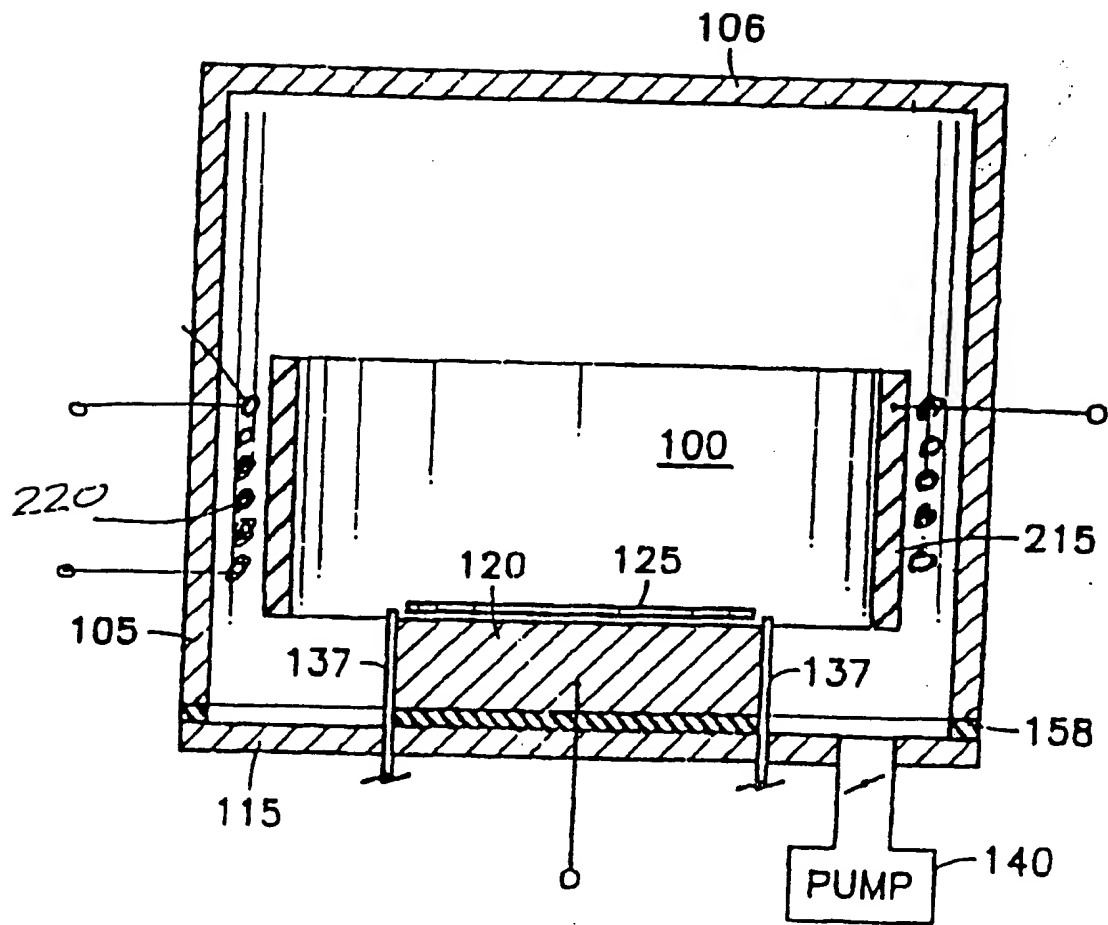
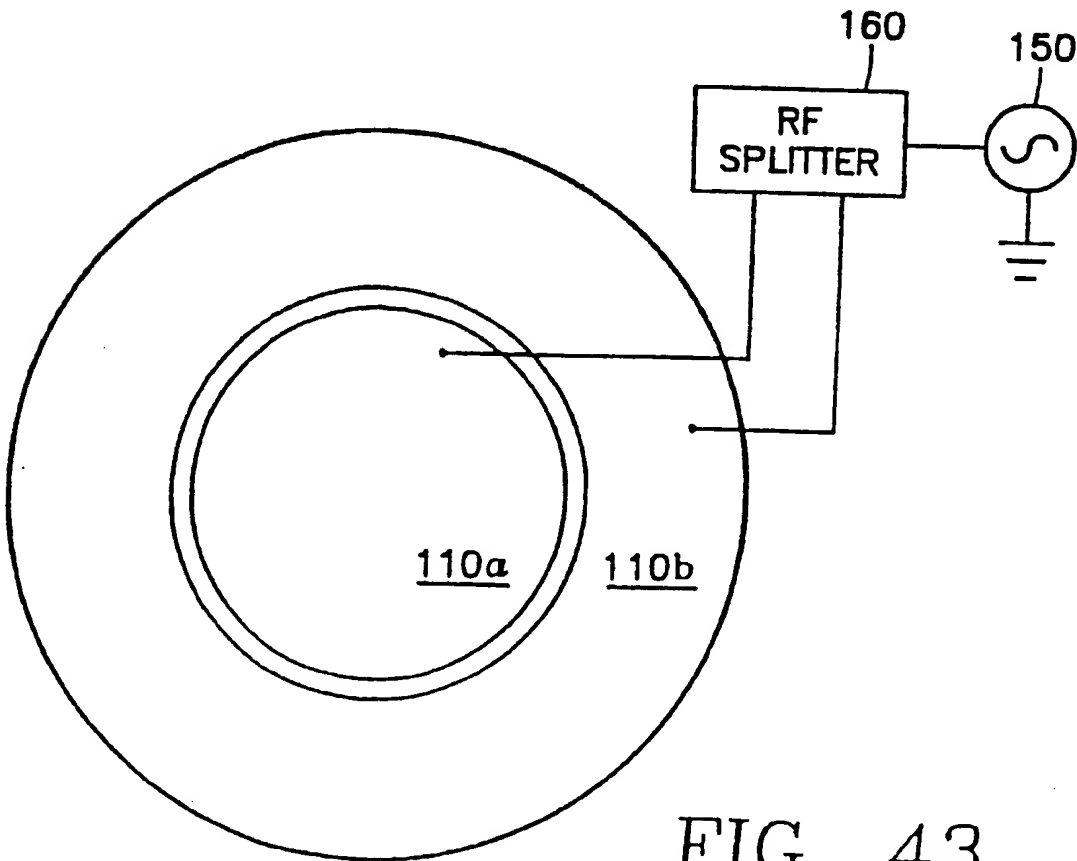
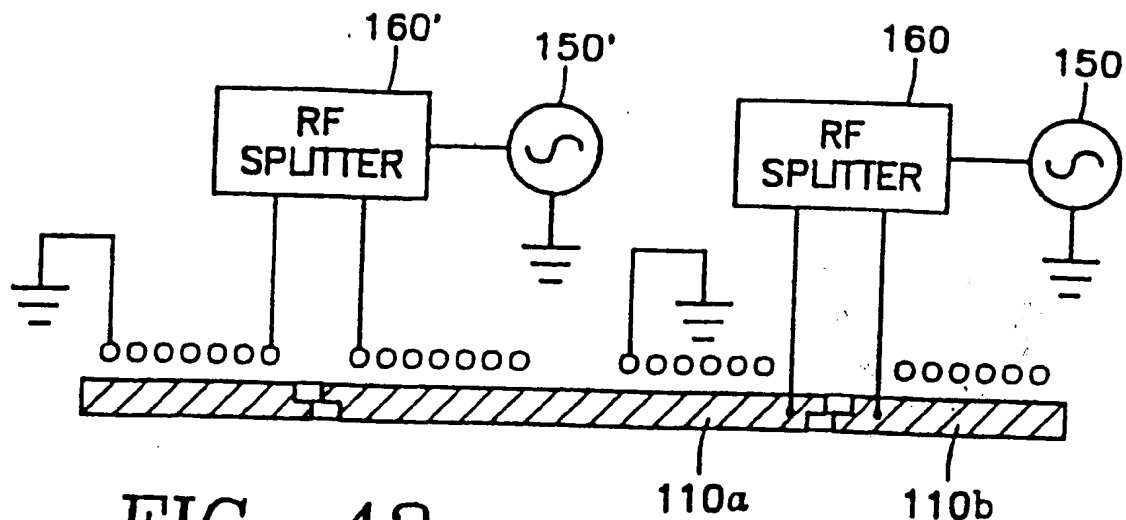
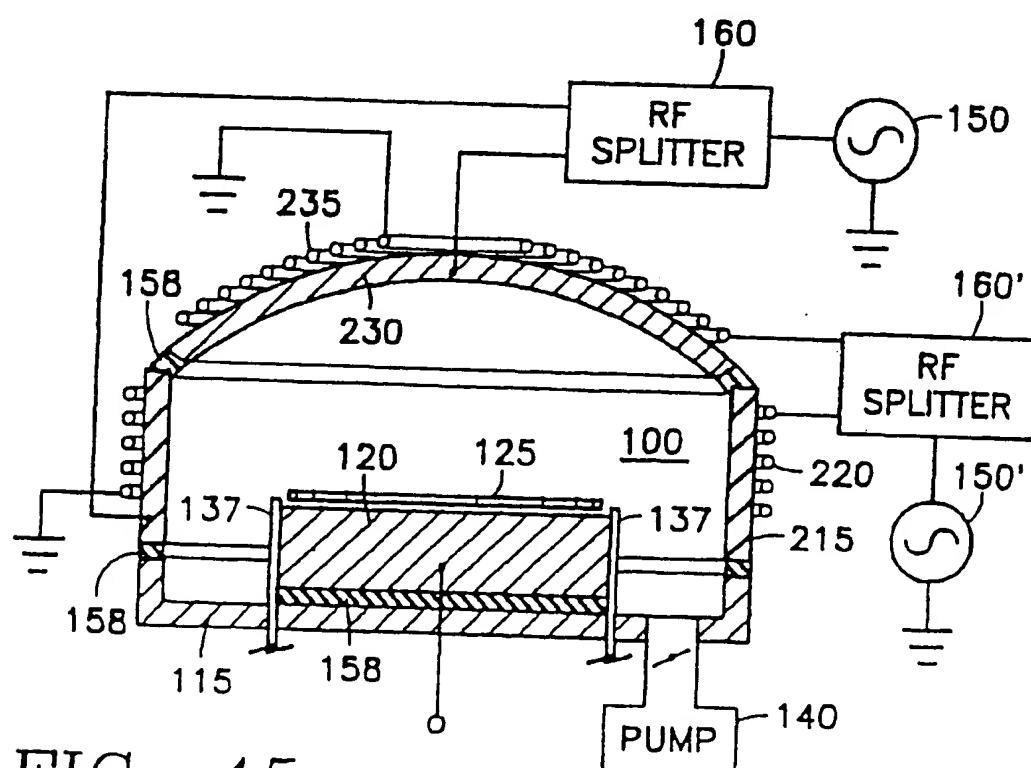
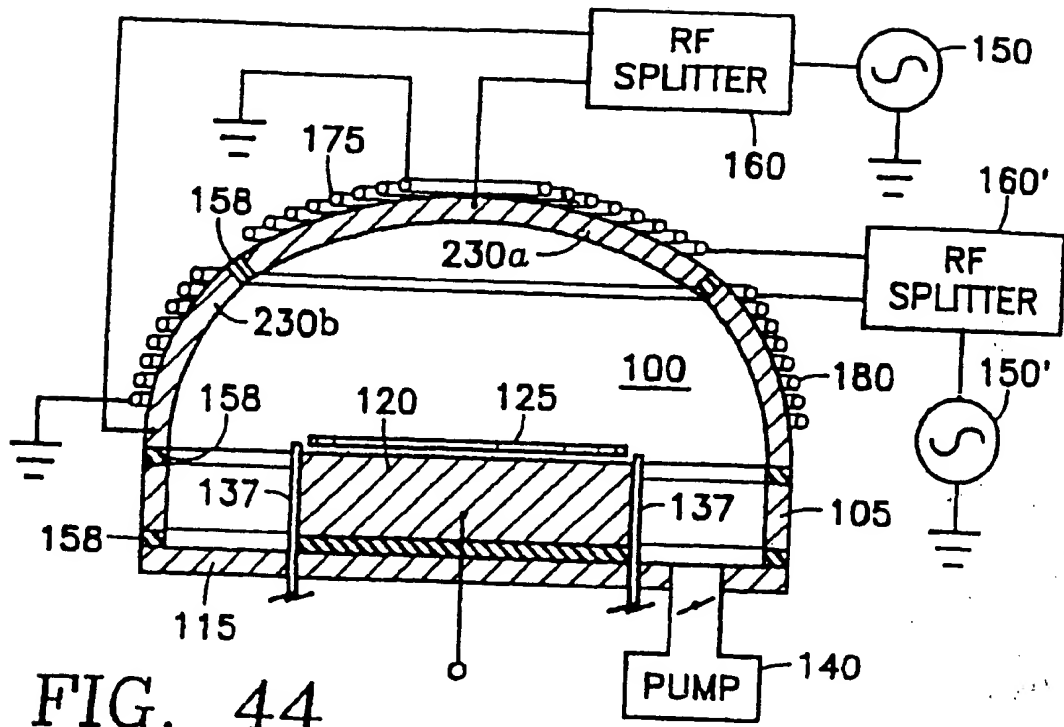


FIG. 41B





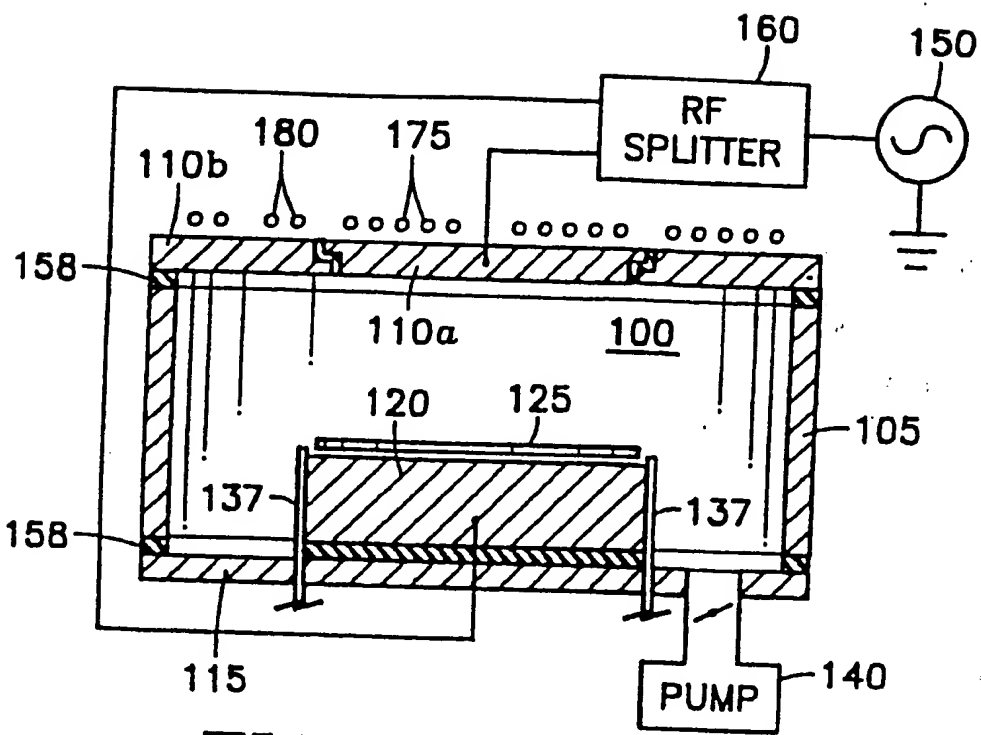


FIG. 46

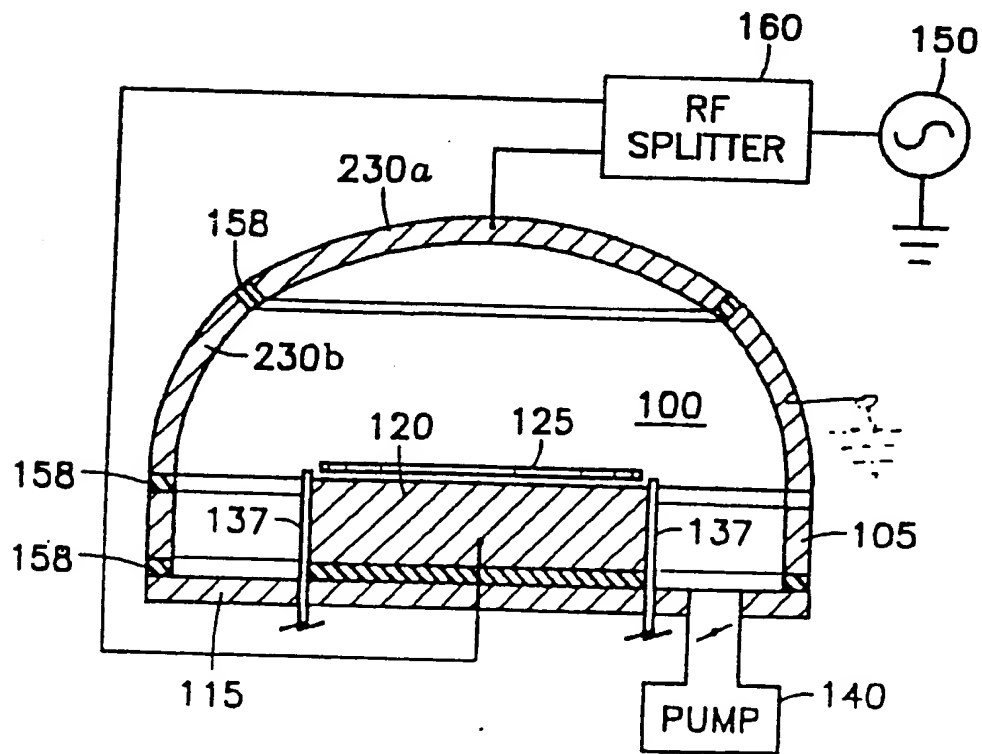


FIG. 47

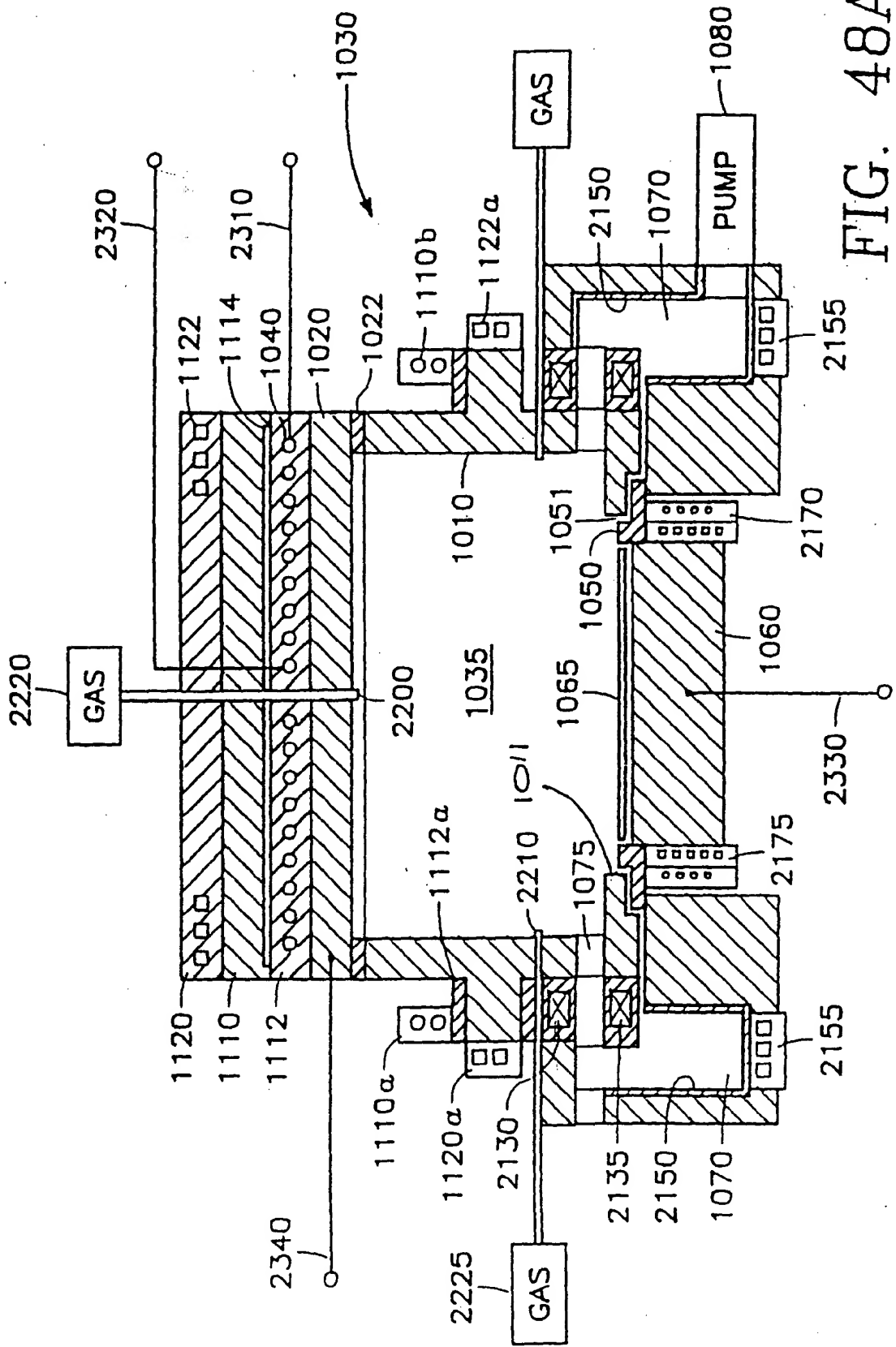


FIG. 48A

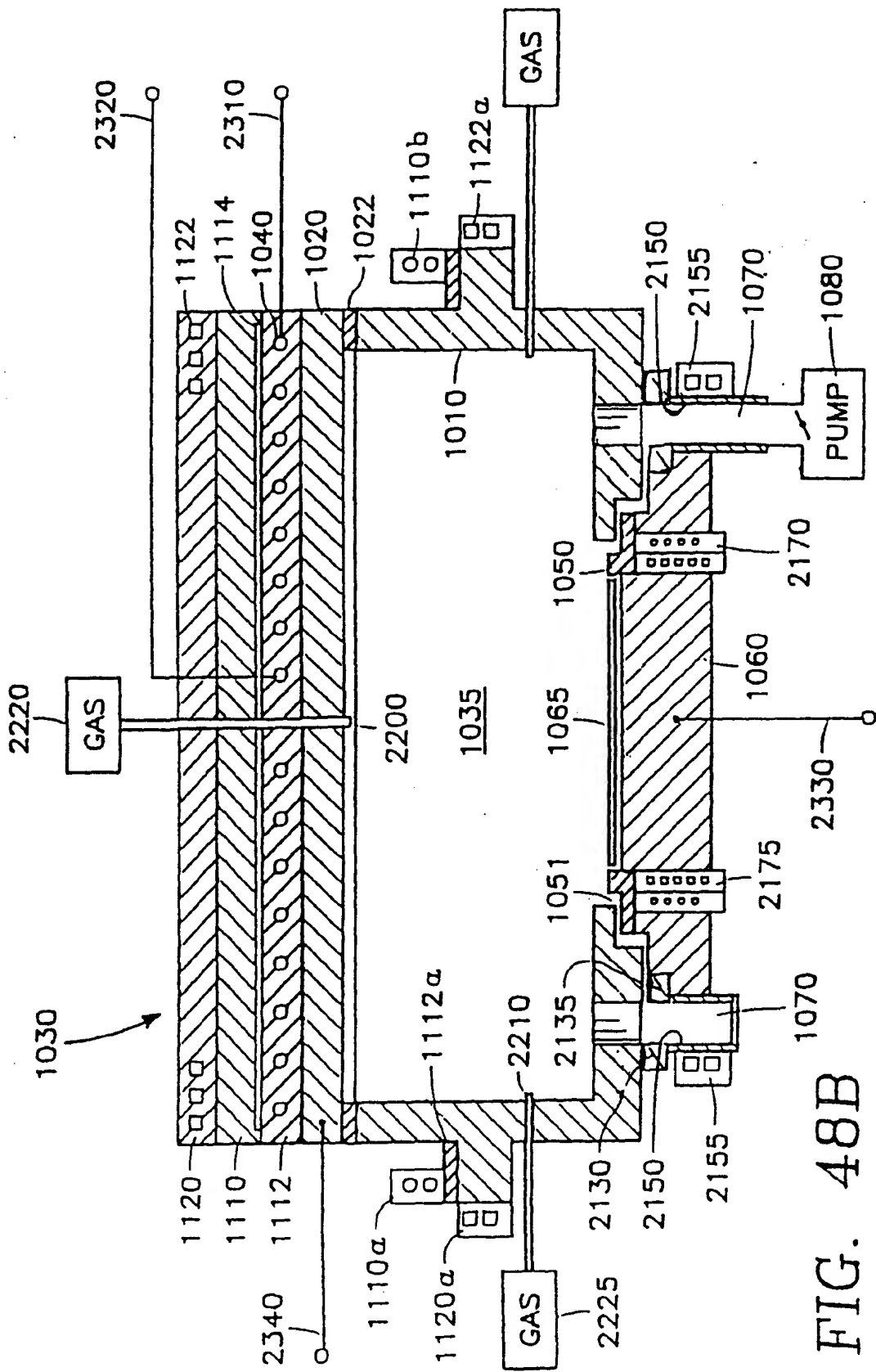


FIG. 48B

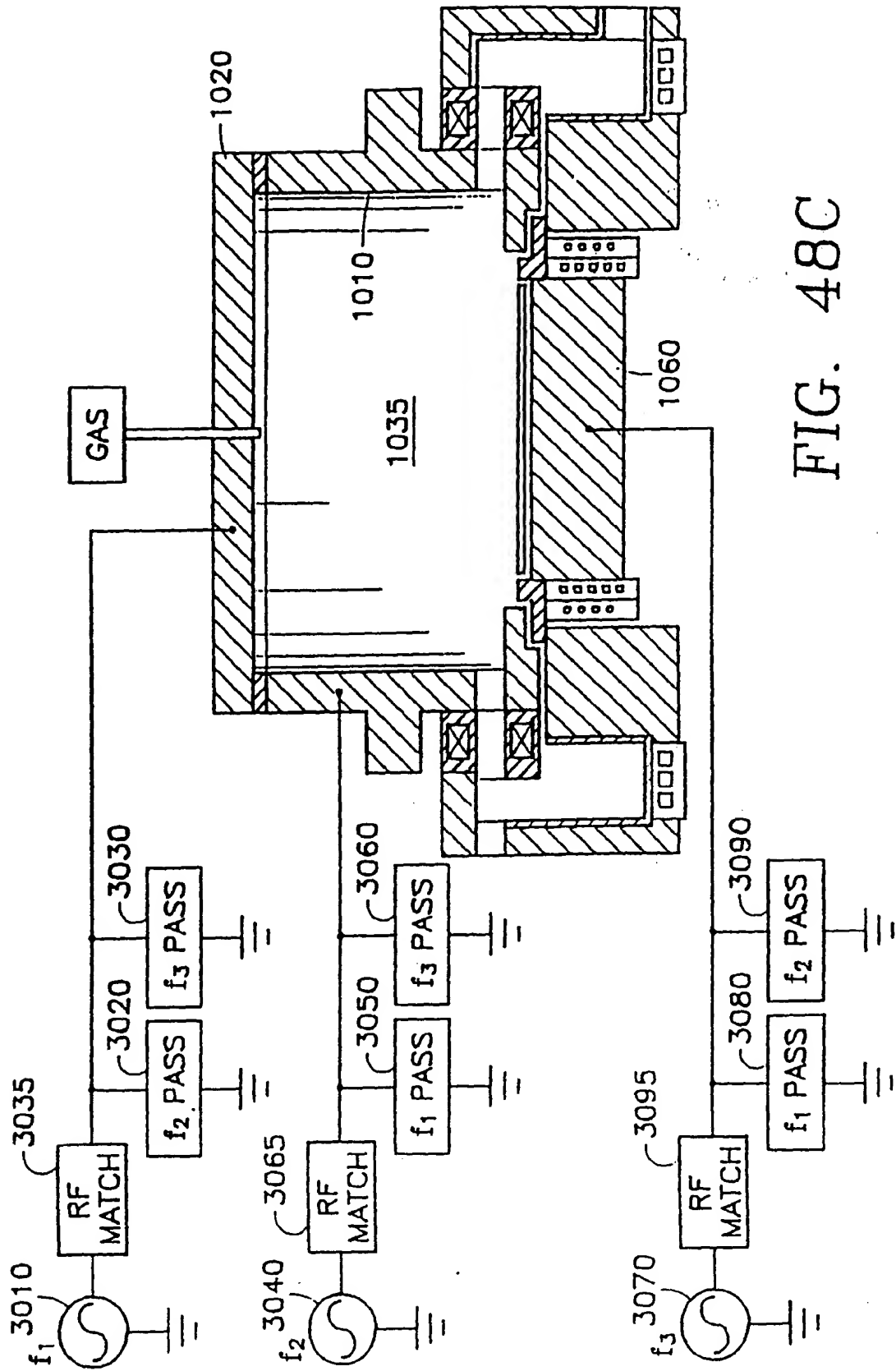


FIG. 48C

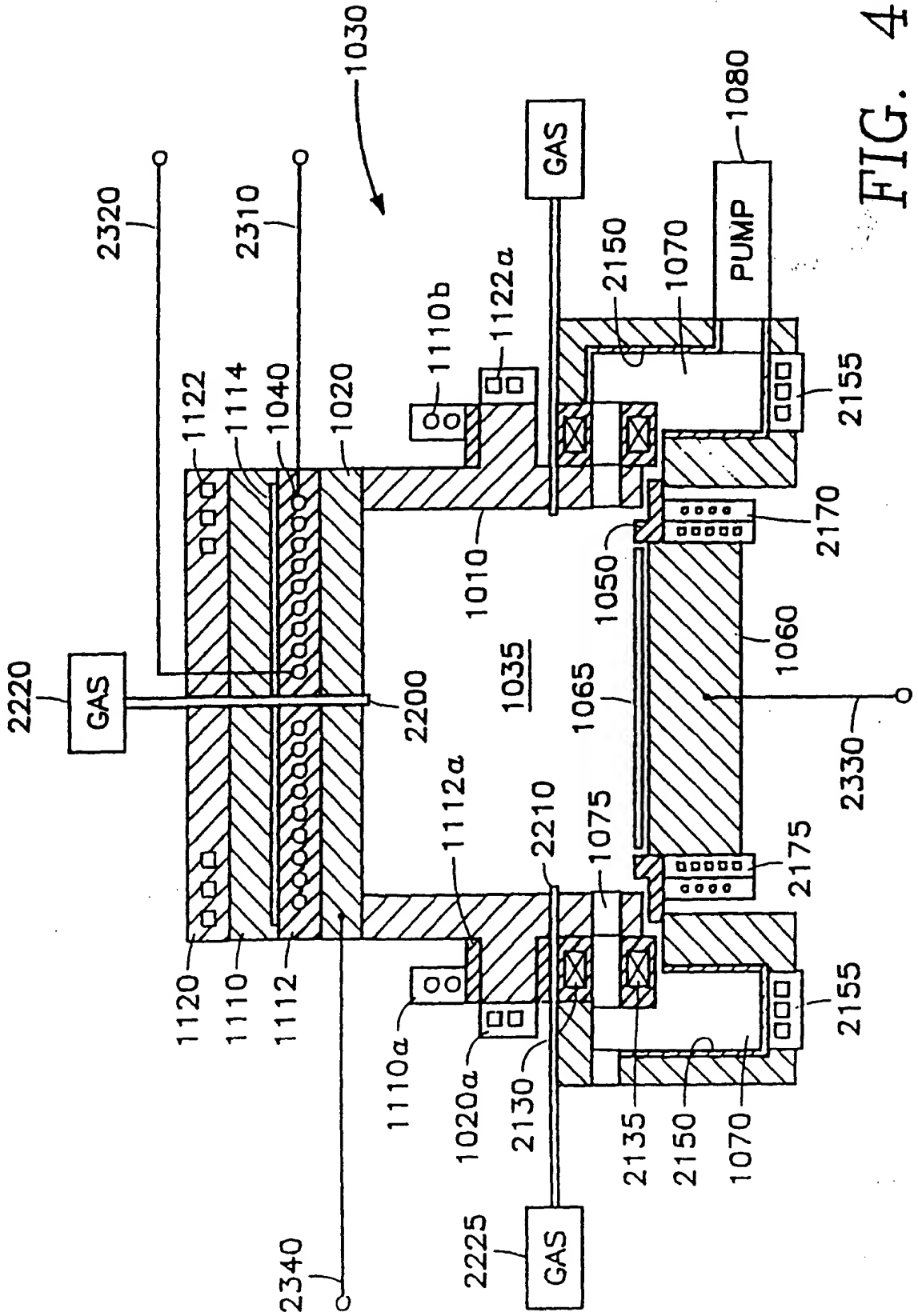


FIG. 49

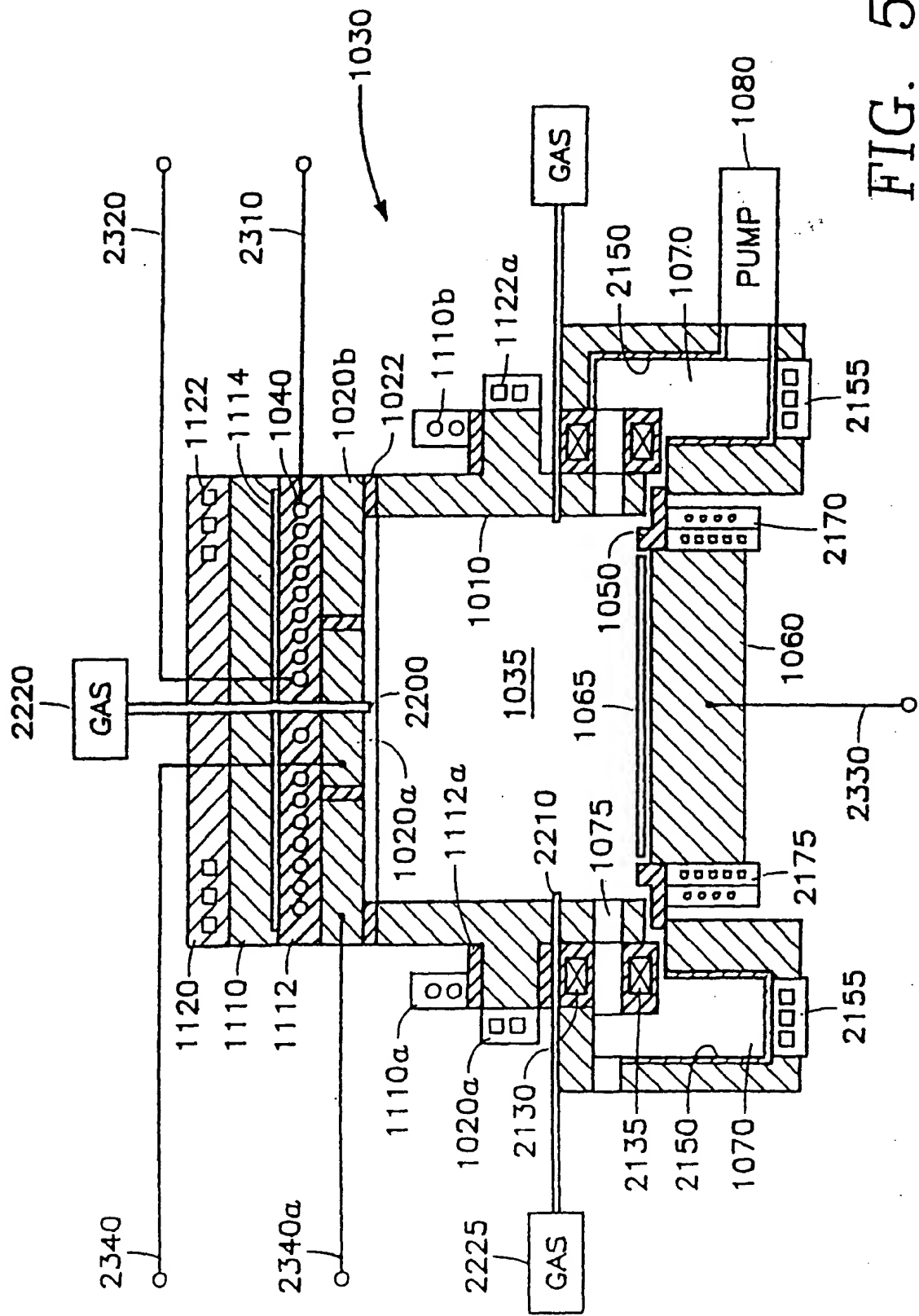
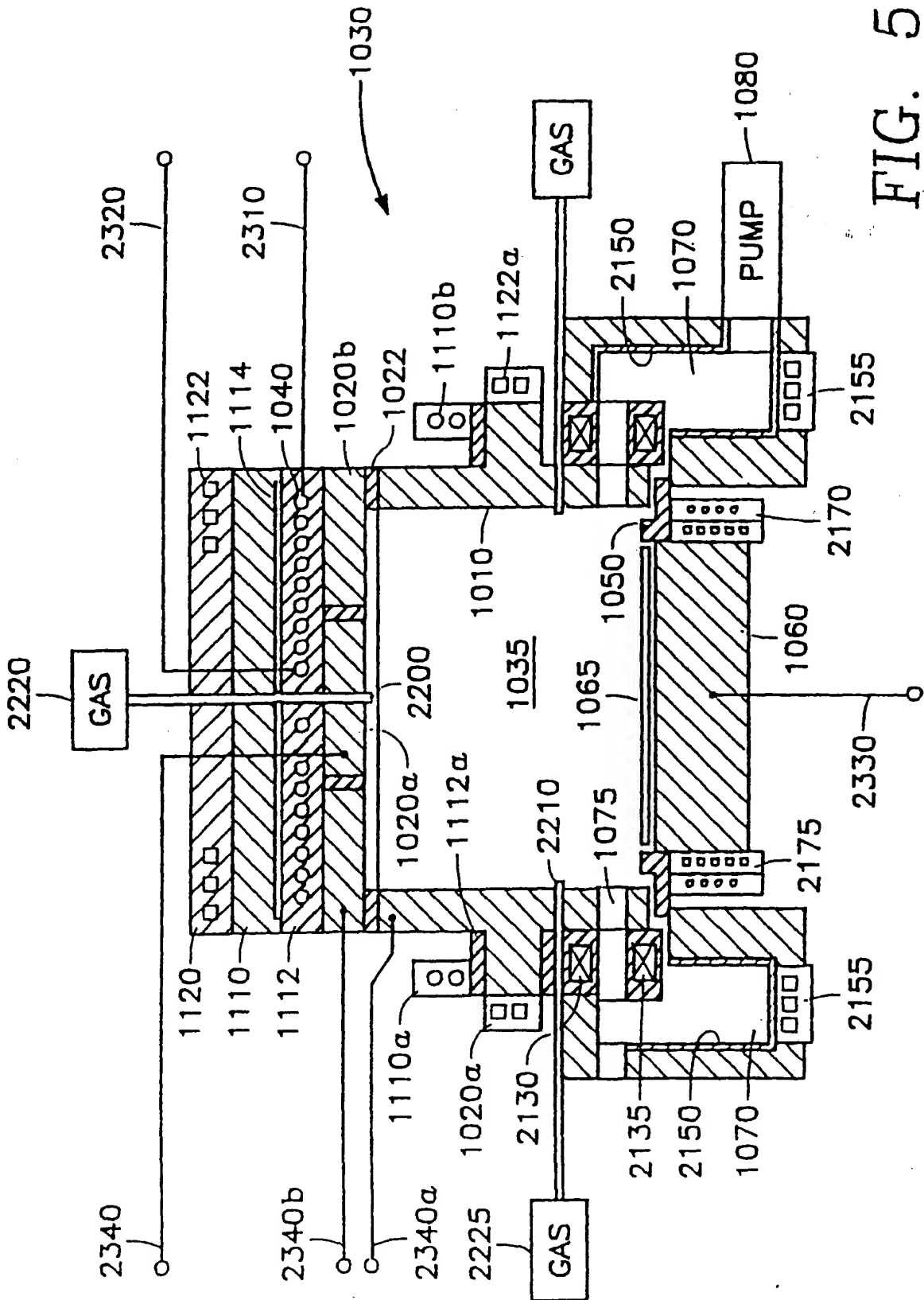


FIG. 50

FIG. 51



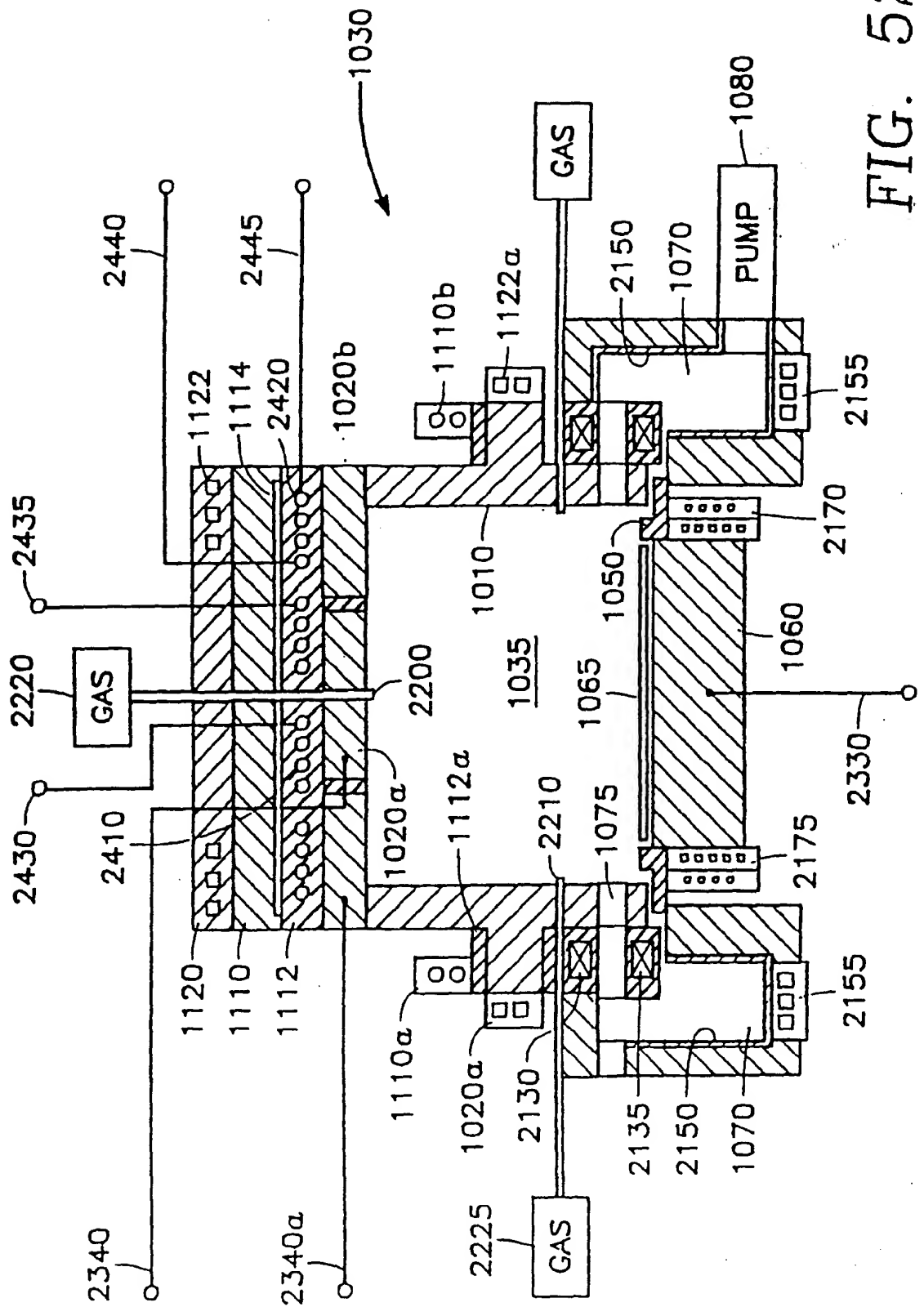


FIG. 52

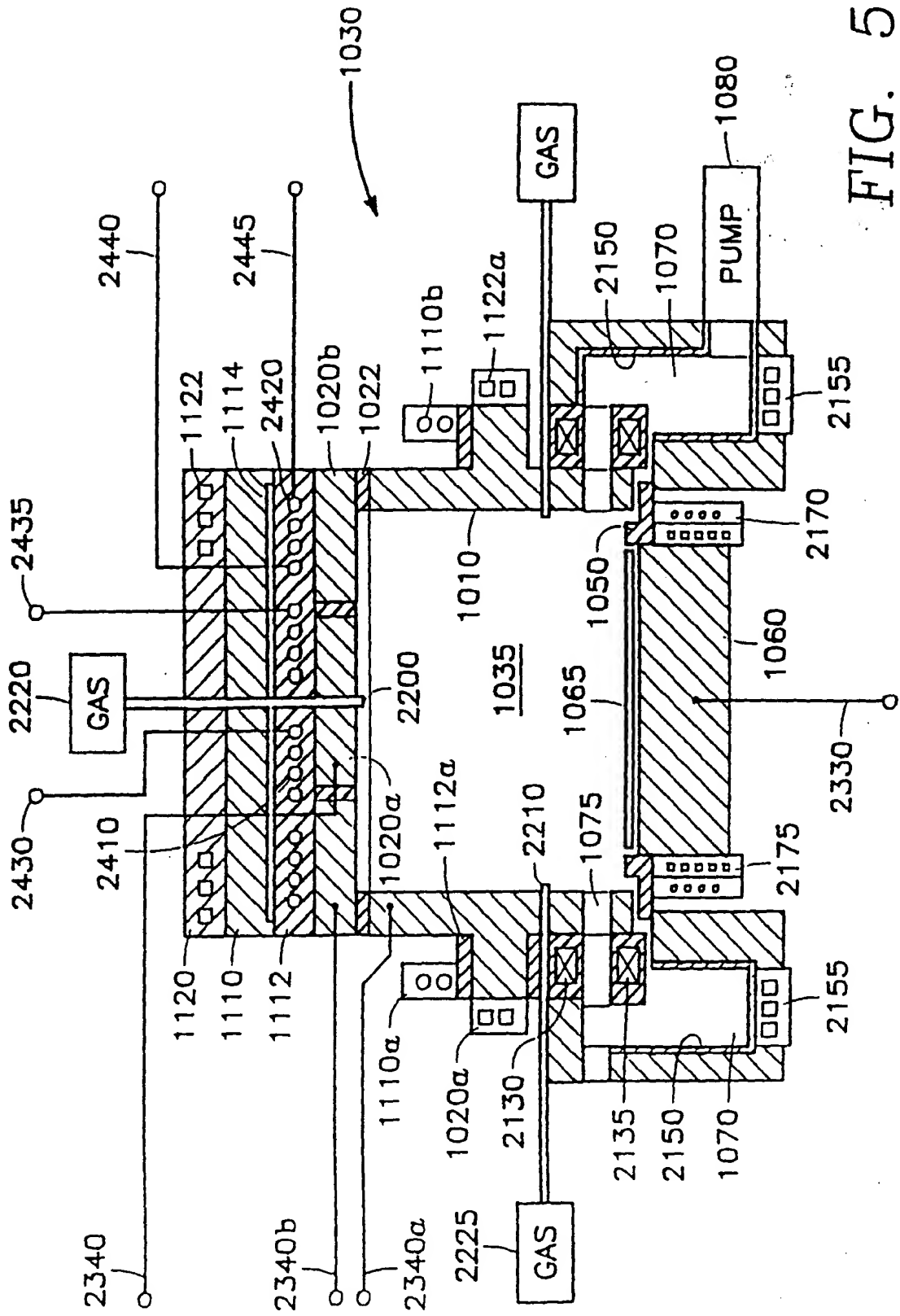


FIG. 53

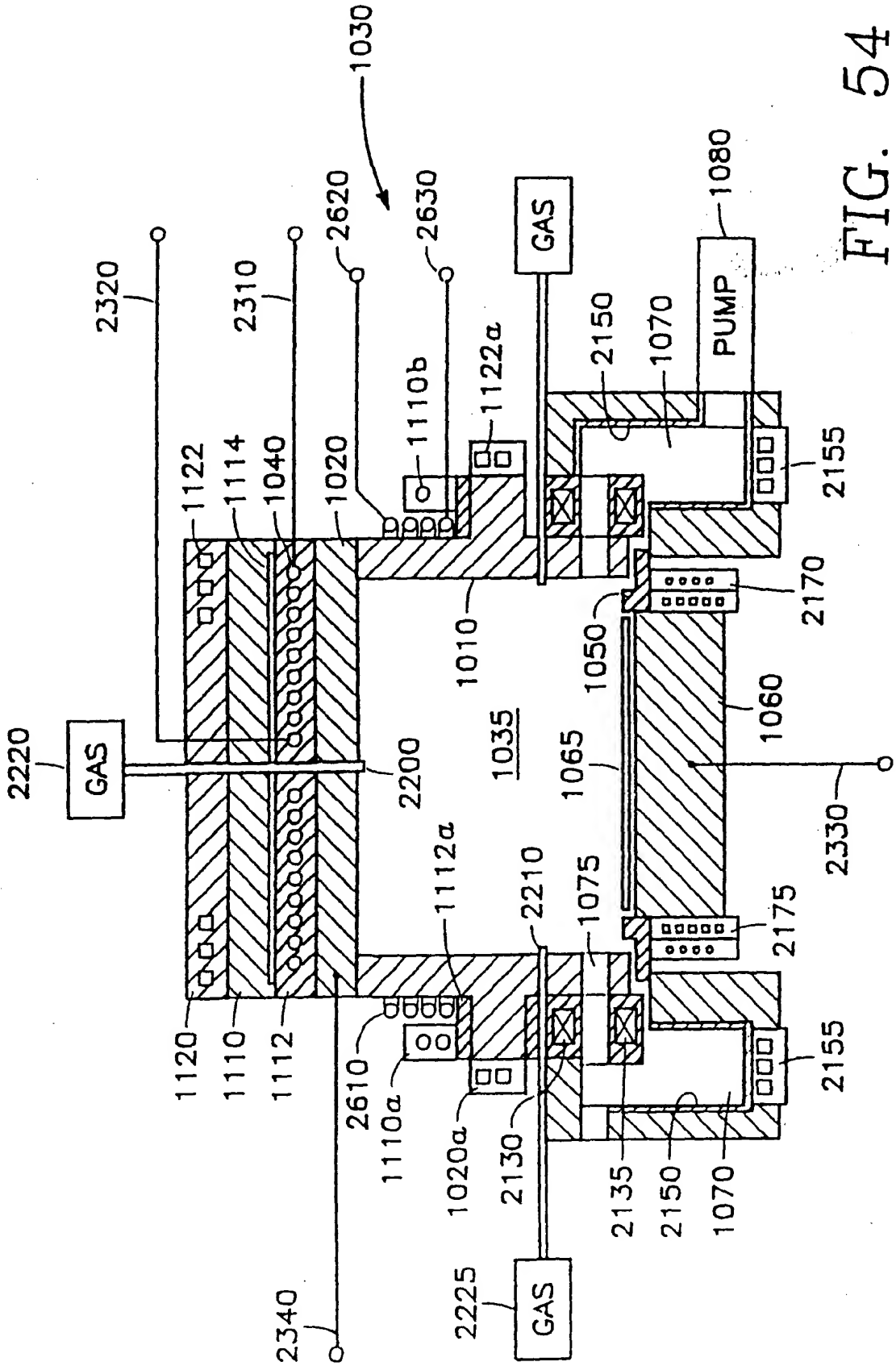


FIG. 54

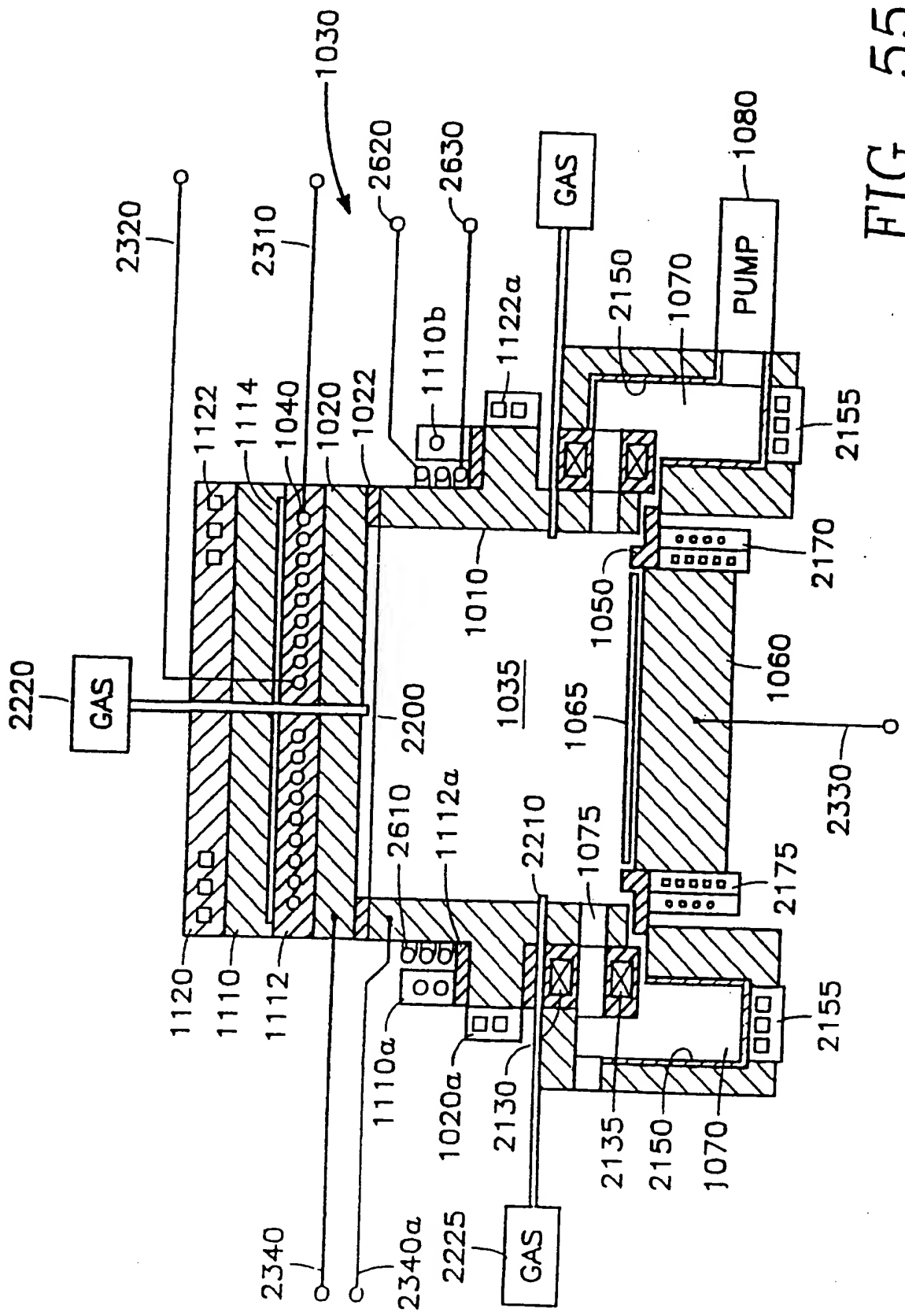


FIG. 55

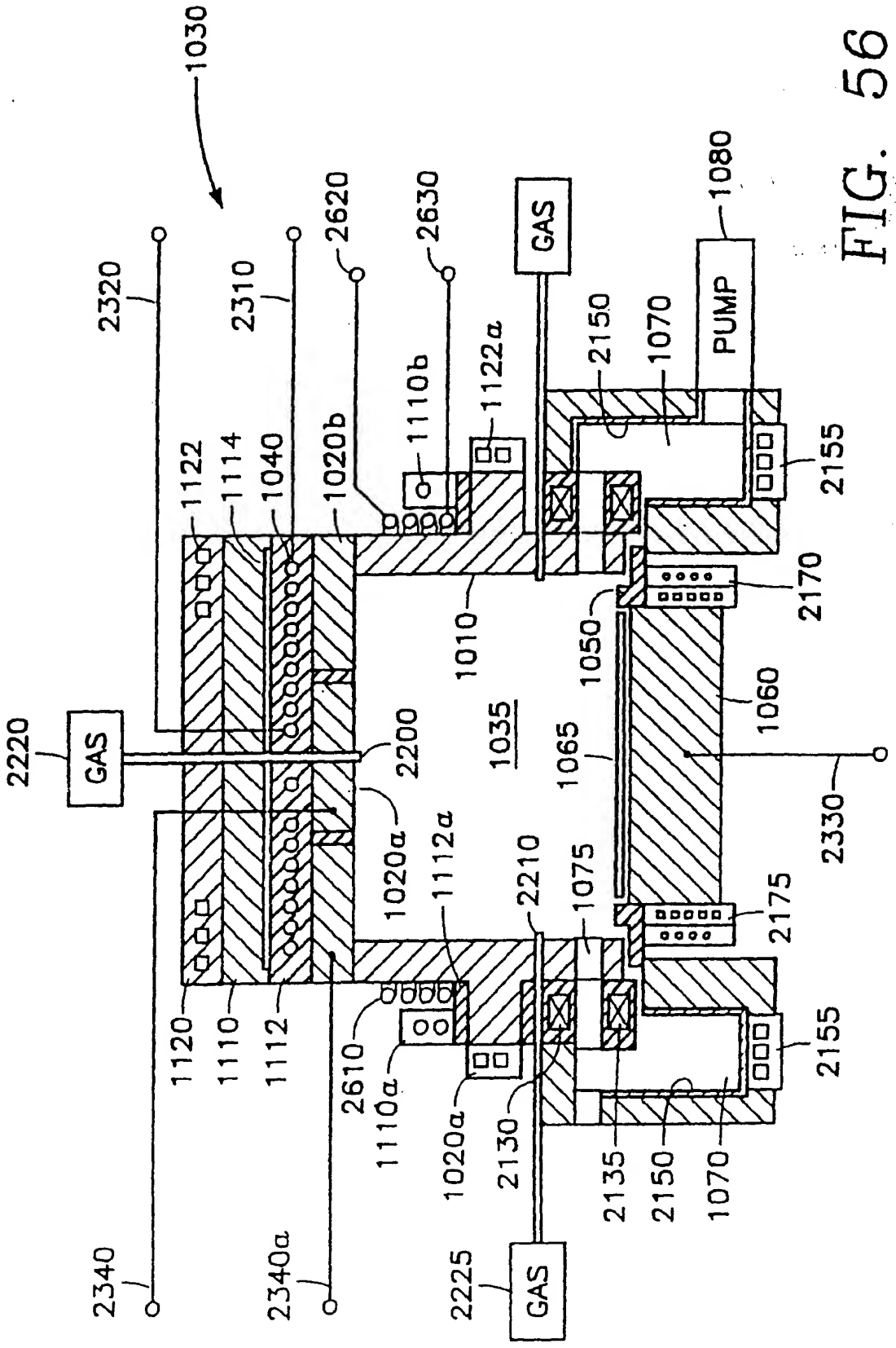


FIG. 56

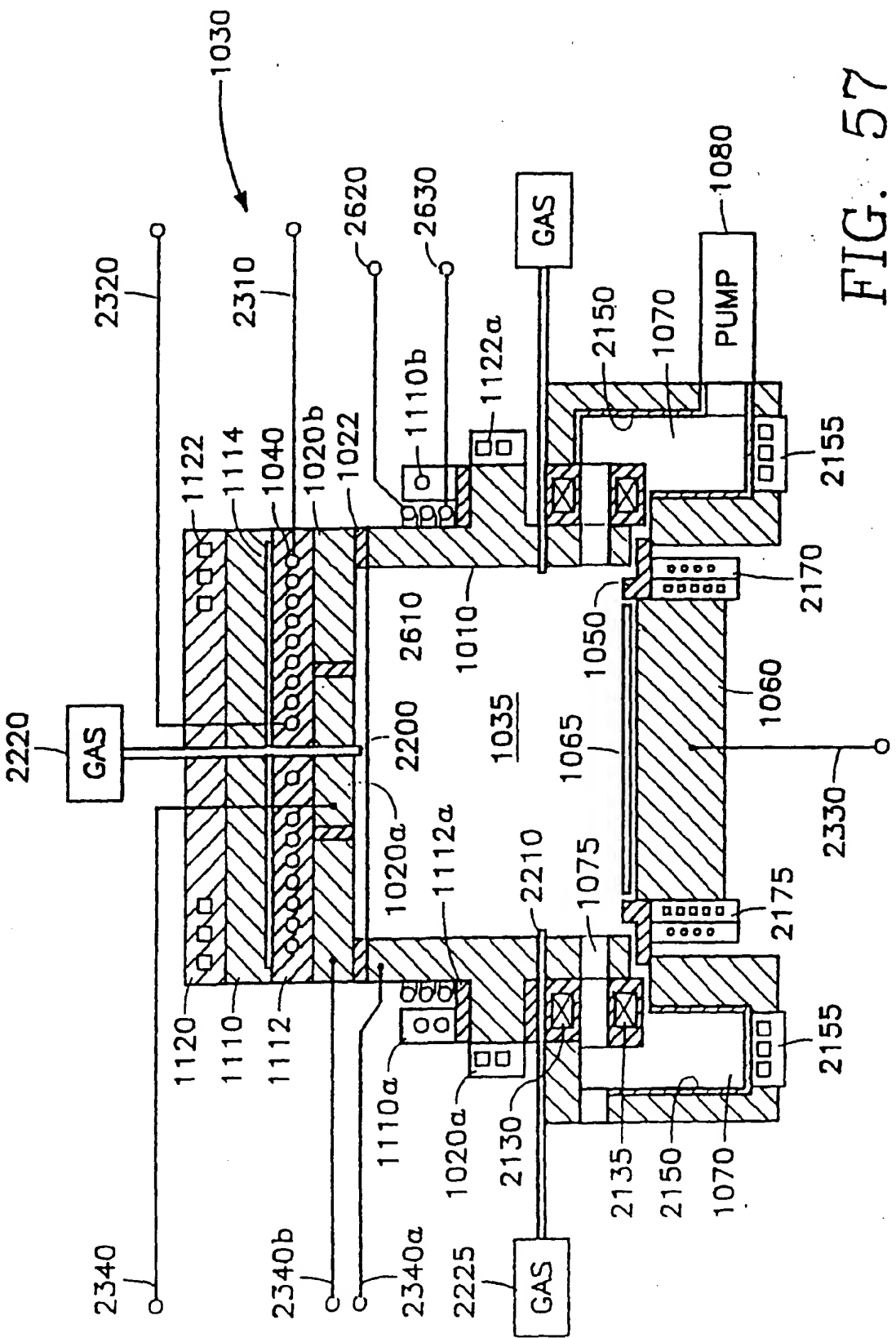


FIG. 57

FIG. 58

2155

2170

2155

PUMP - 1080

1070

2150

1065

2150

1070

1060

2175

2330

2155

GAS

GAS

GAS

GAS

1110b  
1030

1035  
1112a  
1110a  
2225  
2130

1040

1010

1051

1065

1075

2210

1070

1070

1070

1122  
1114  
2310

1040

2200  
1020

1120  
1110  
1112

2340

2220 - GAS

2320

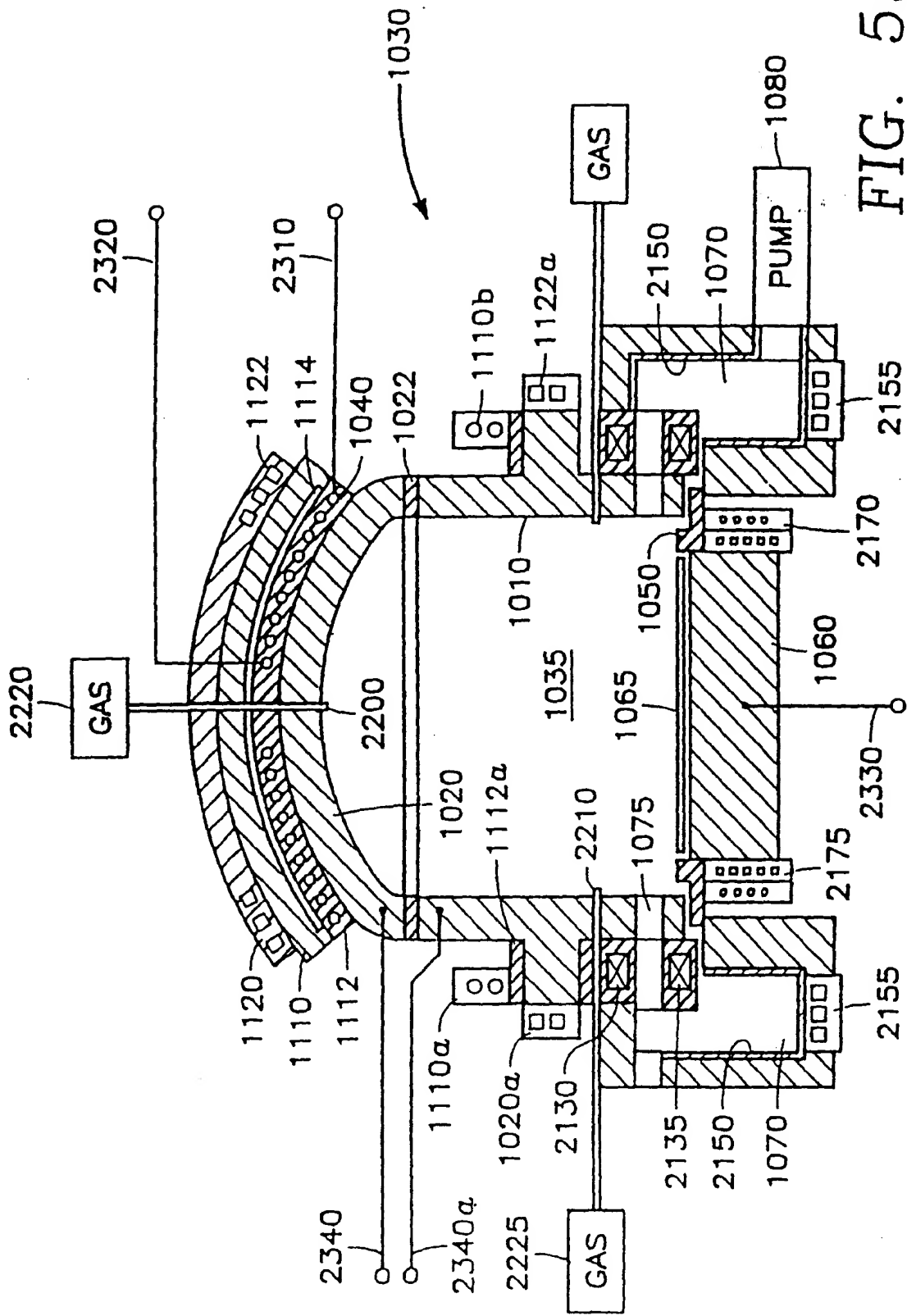


FIG. 59

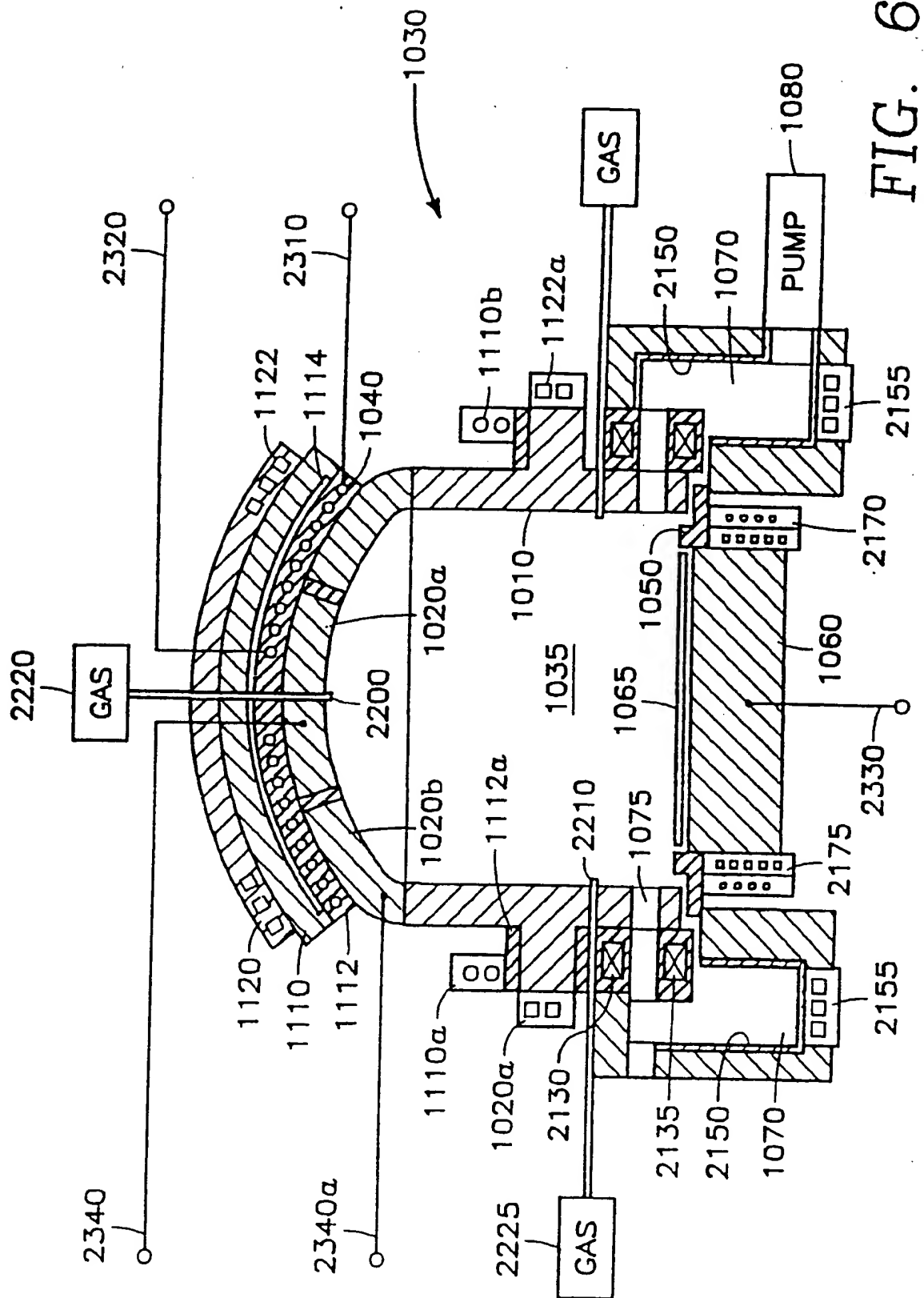
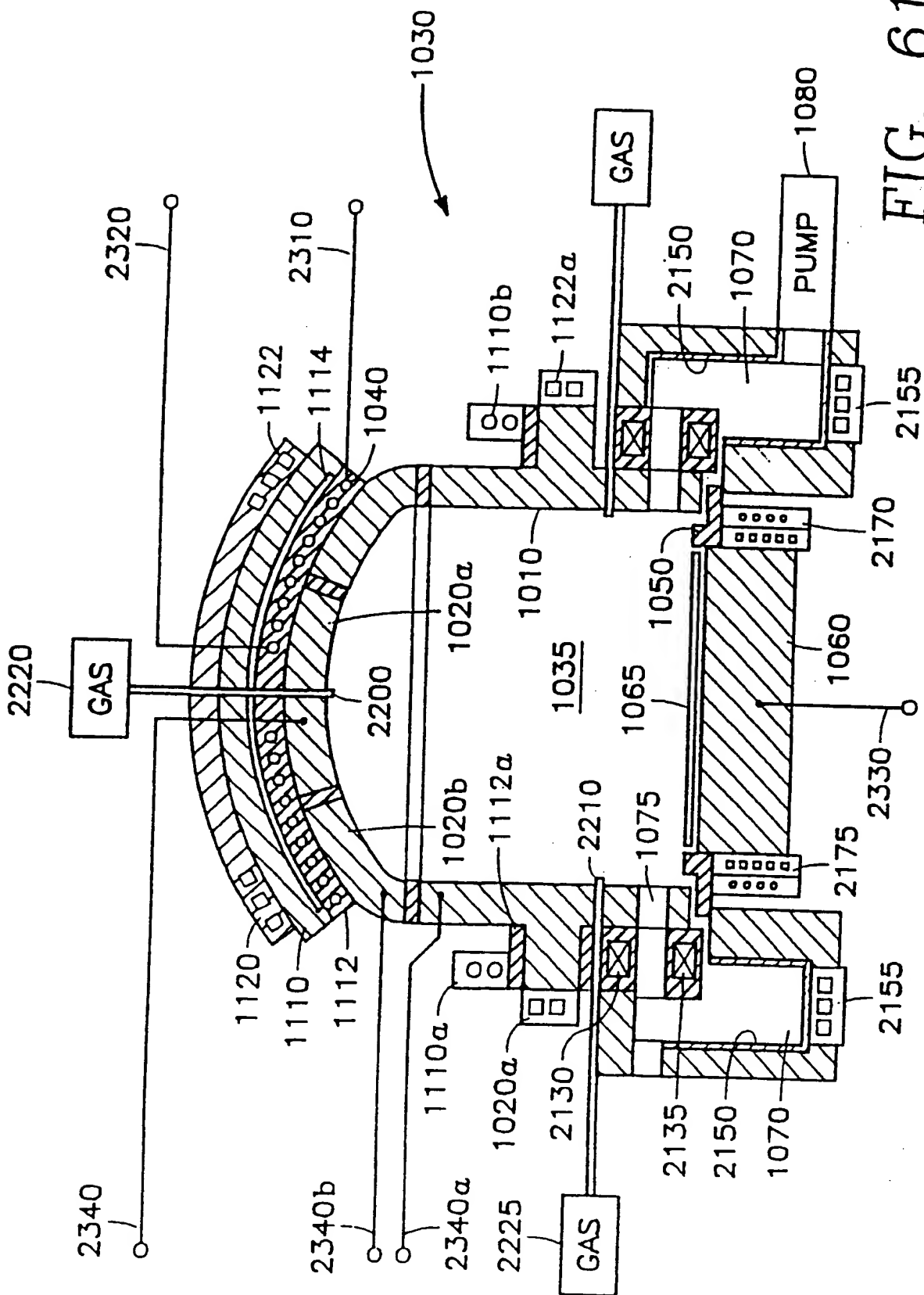


FIG. 60

FIG. 61  
2155



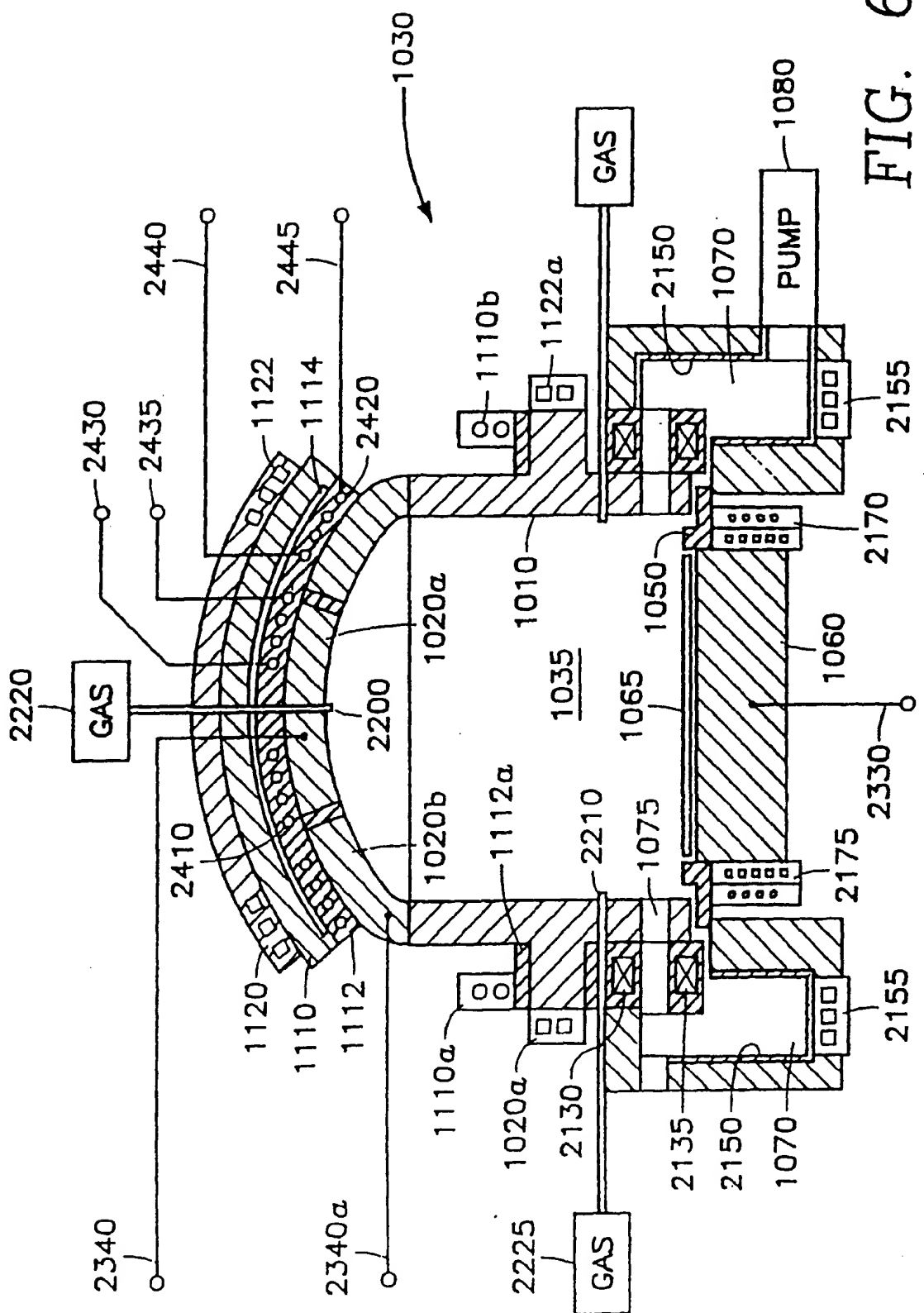


FIG. 62

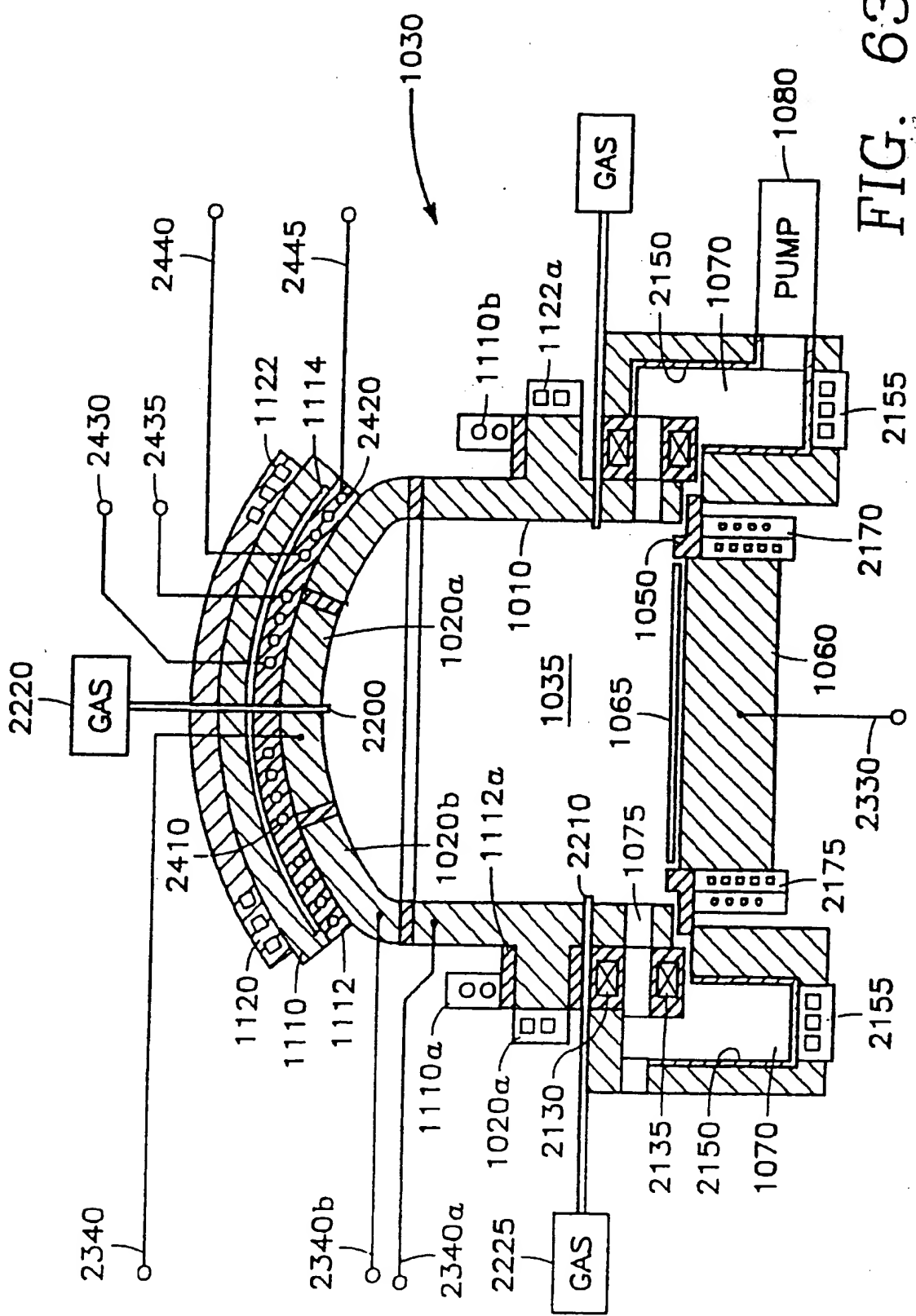
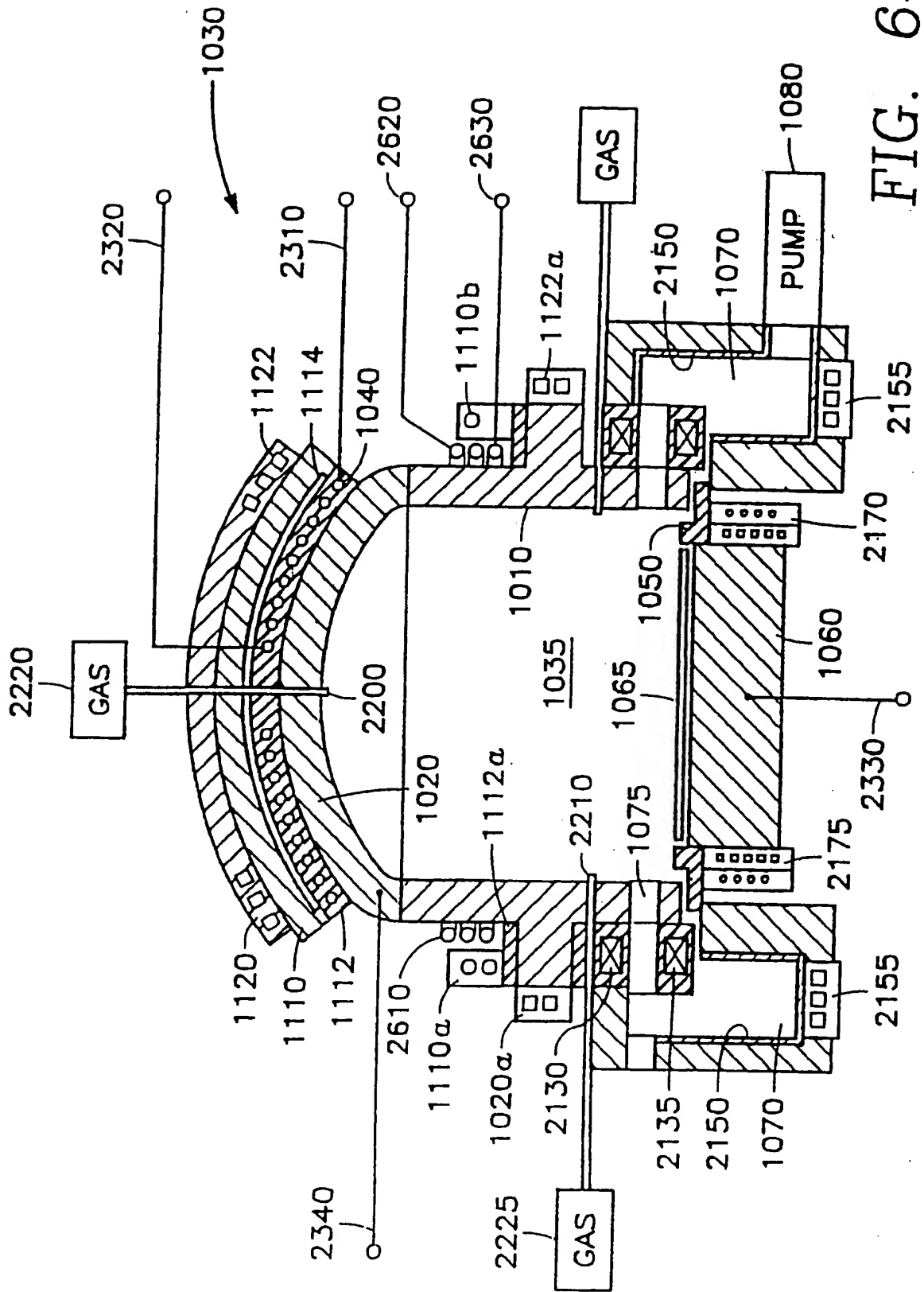


FIG. 63



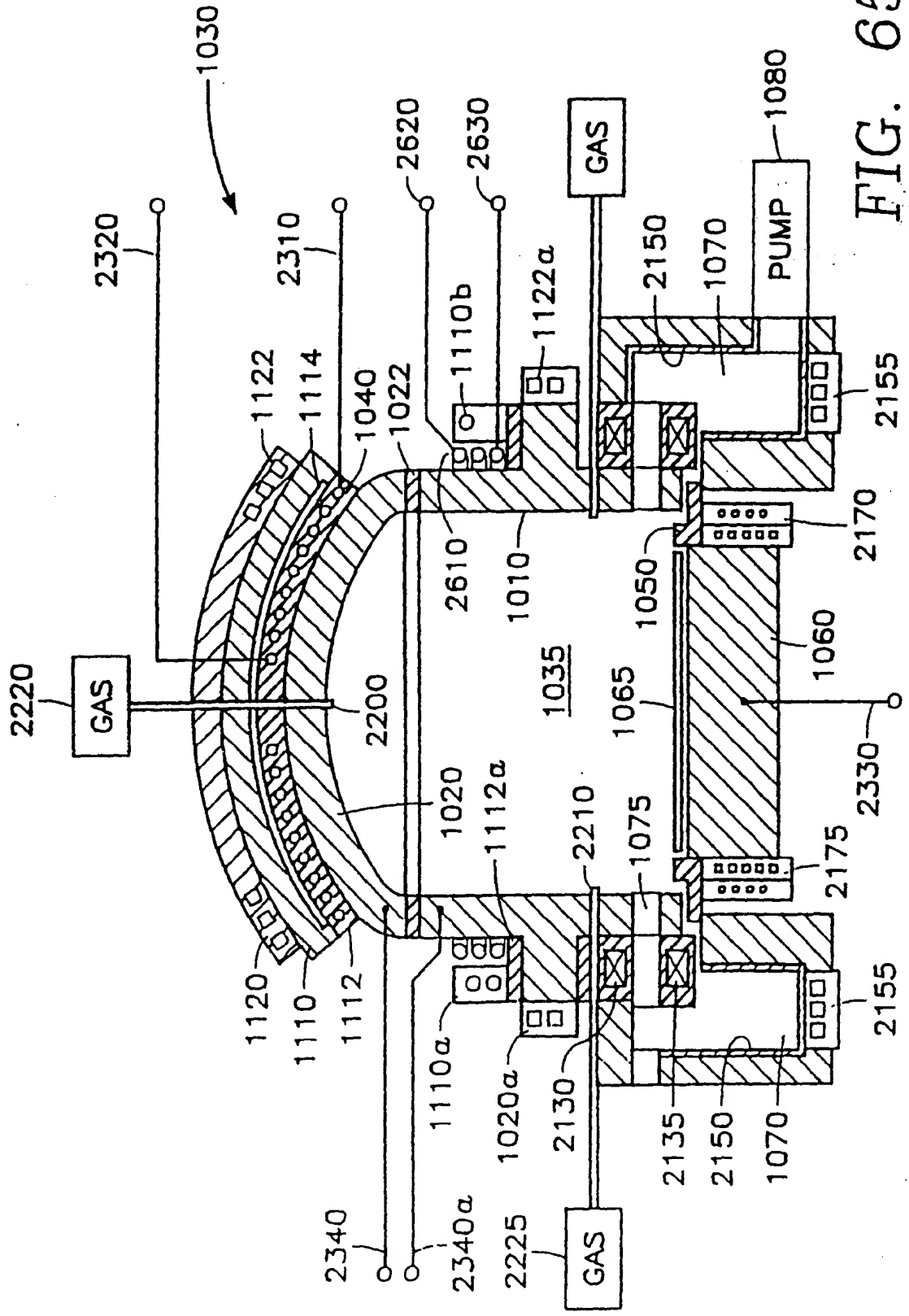


FIG. 65

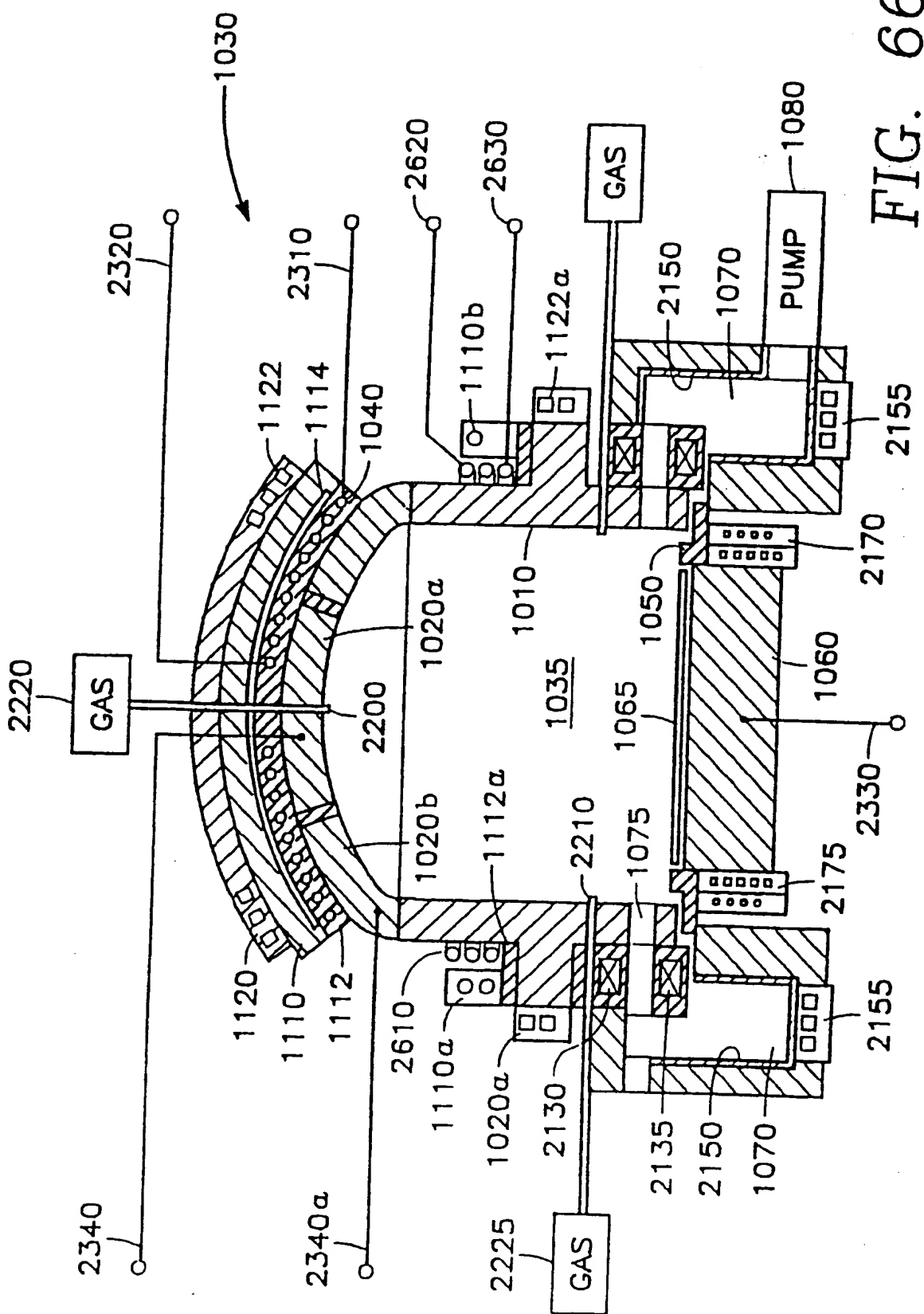
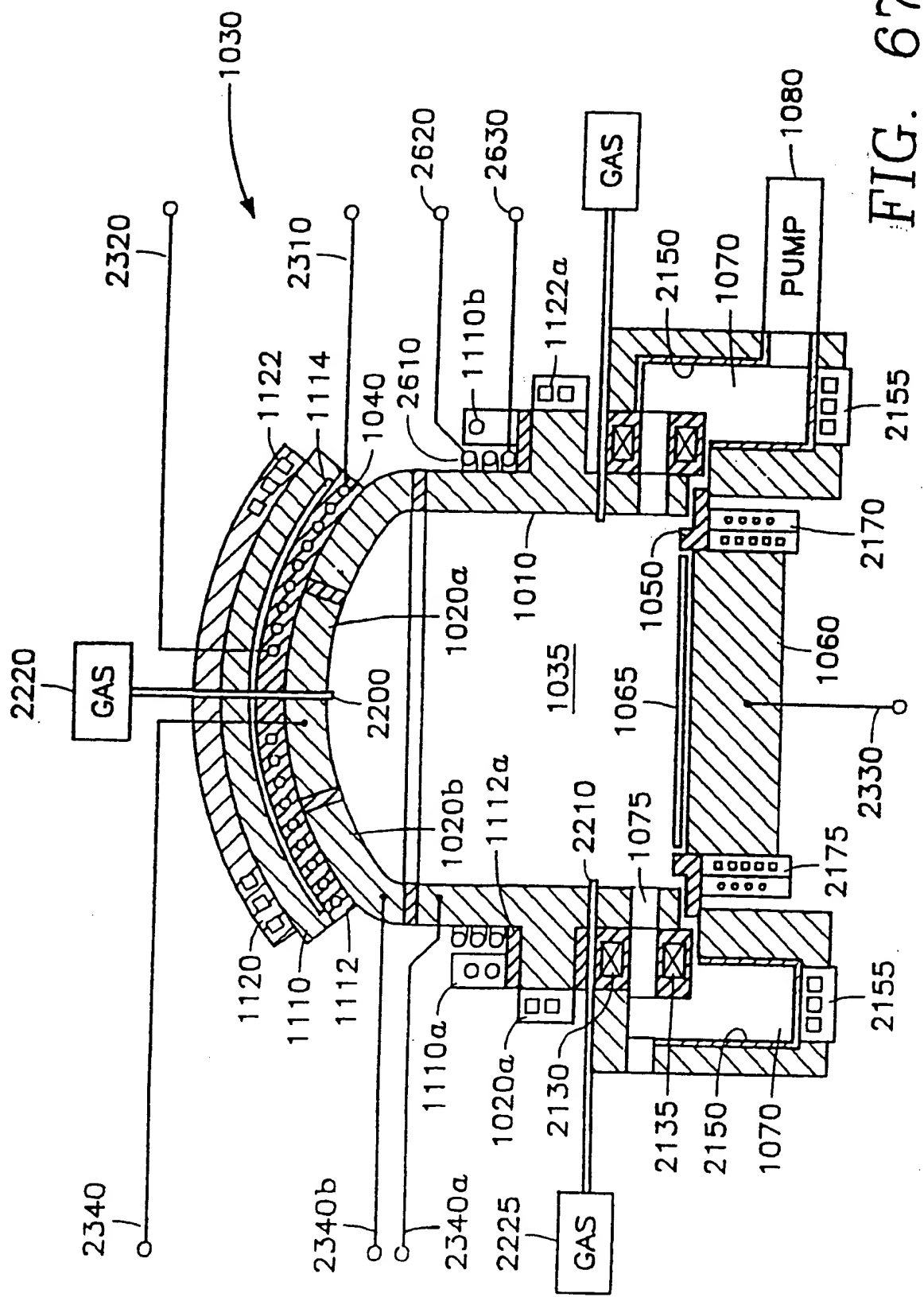


FIG. 66



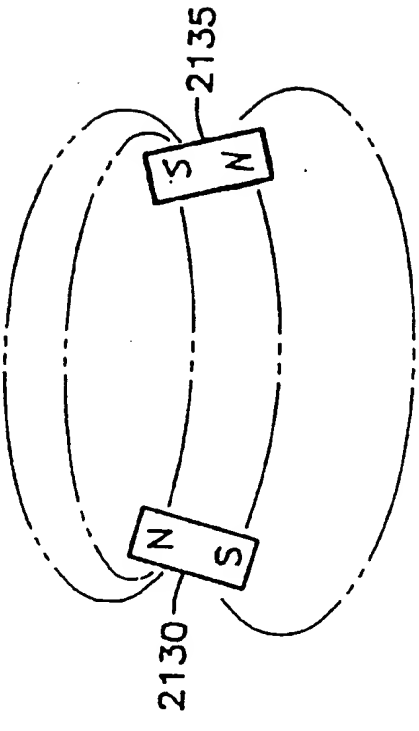
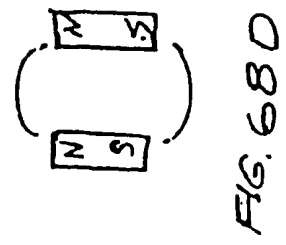
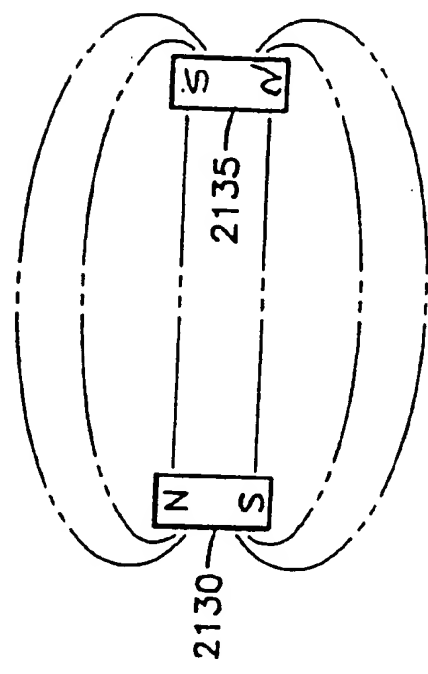
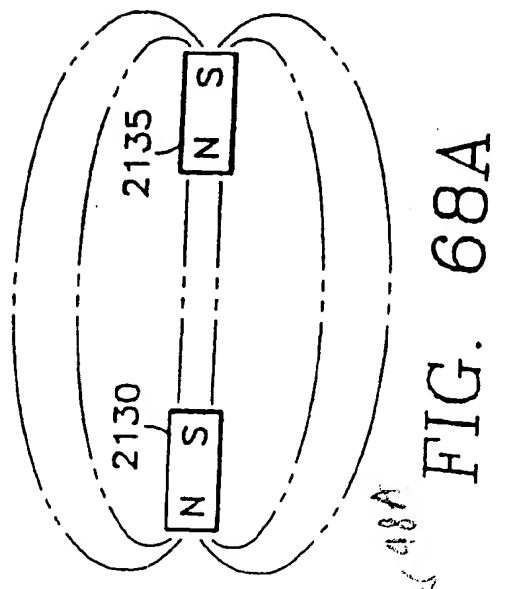
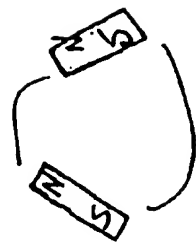


FIG. 68D



Magnetic  
field  
of  
two  
magnets

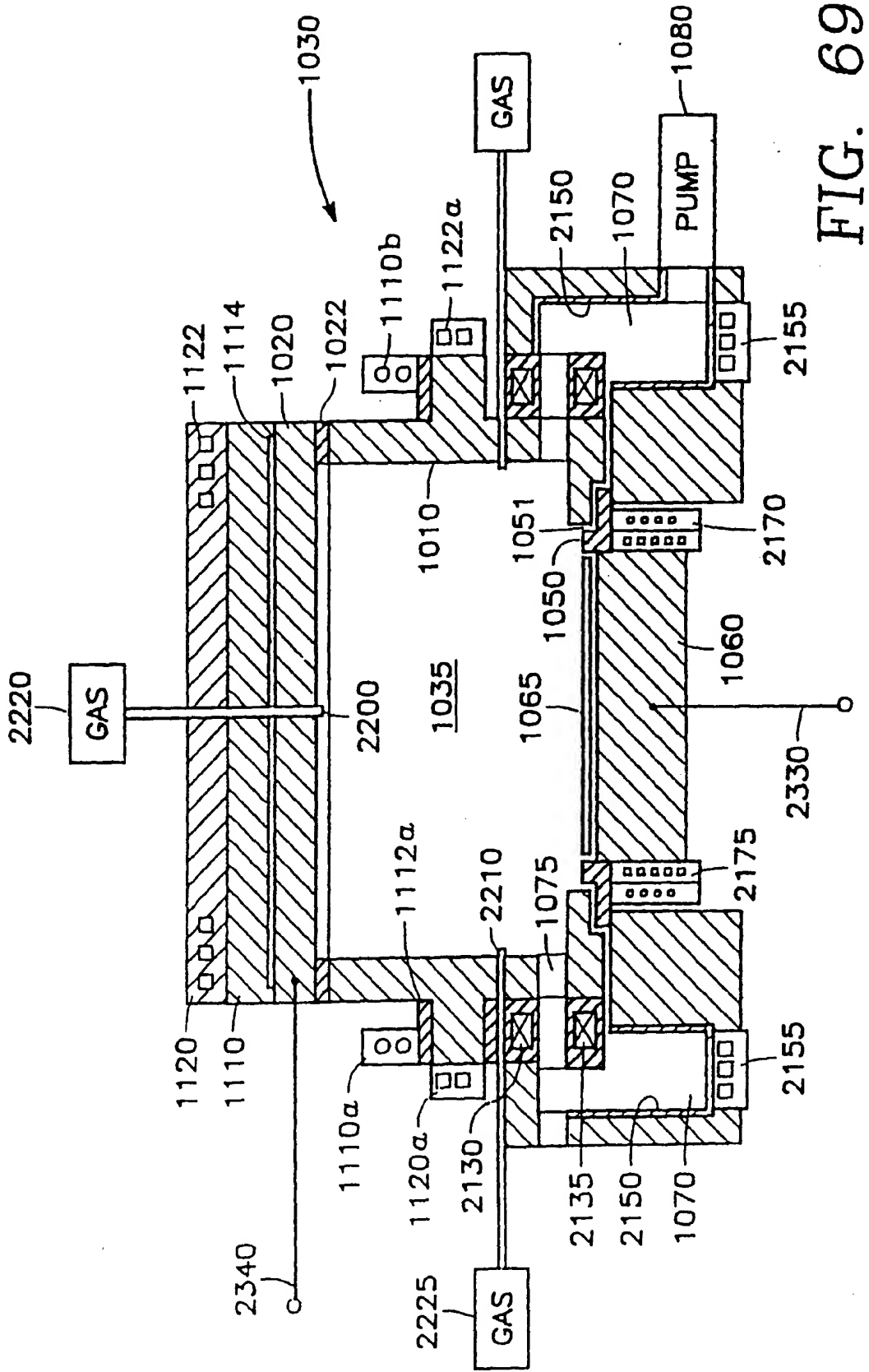


FIG. 69

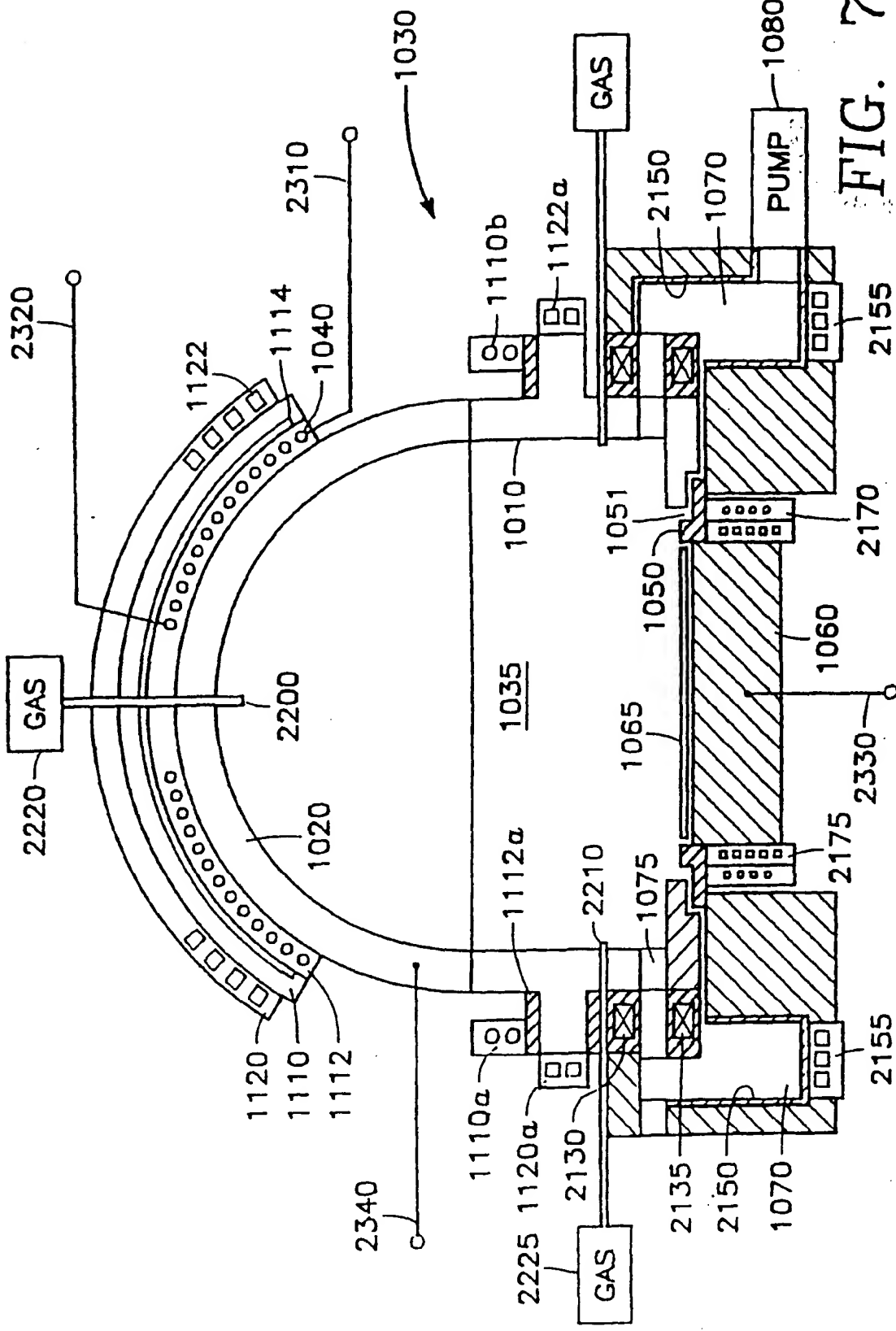
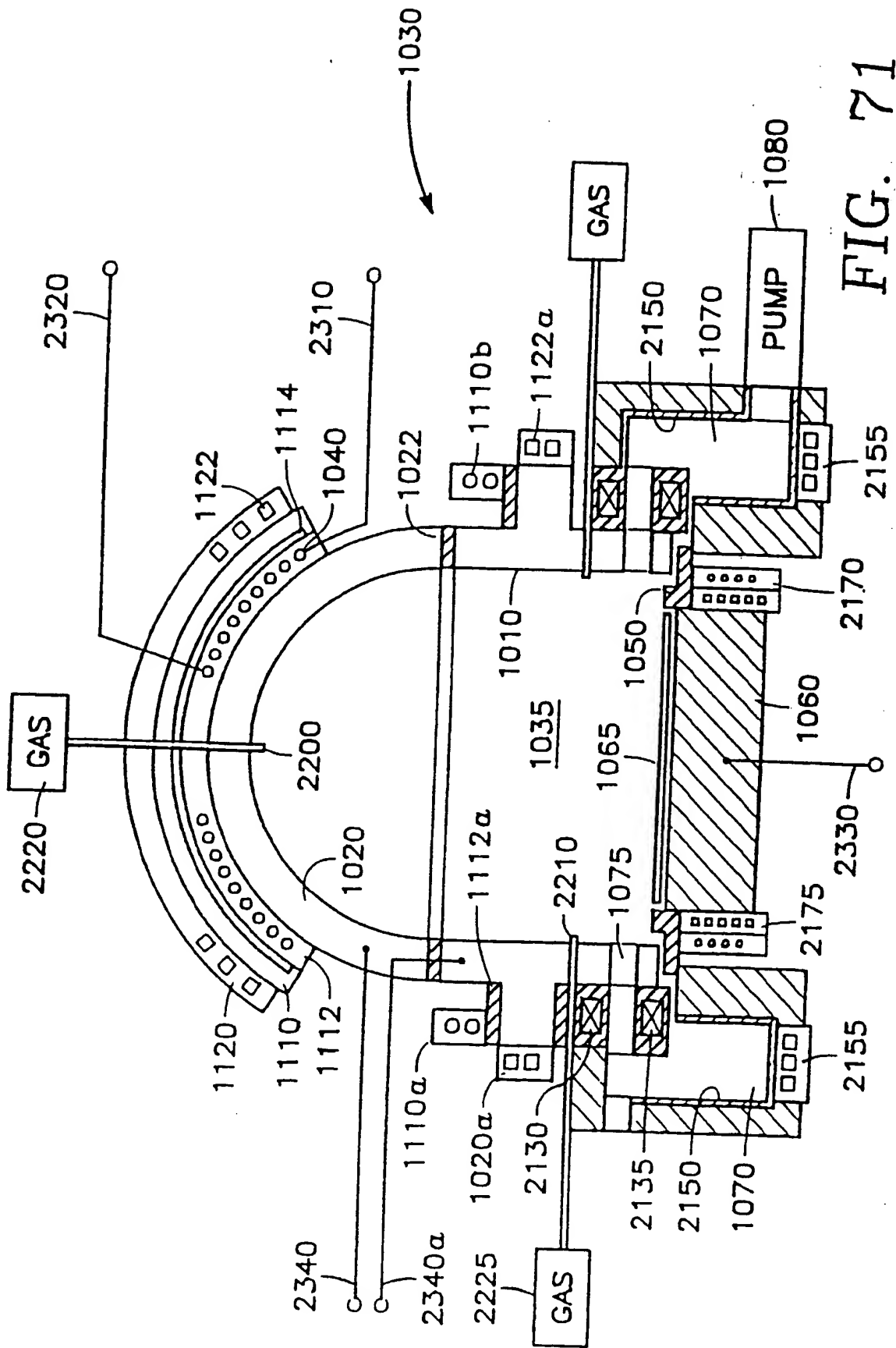


FIG. 70

2155

2170

2155



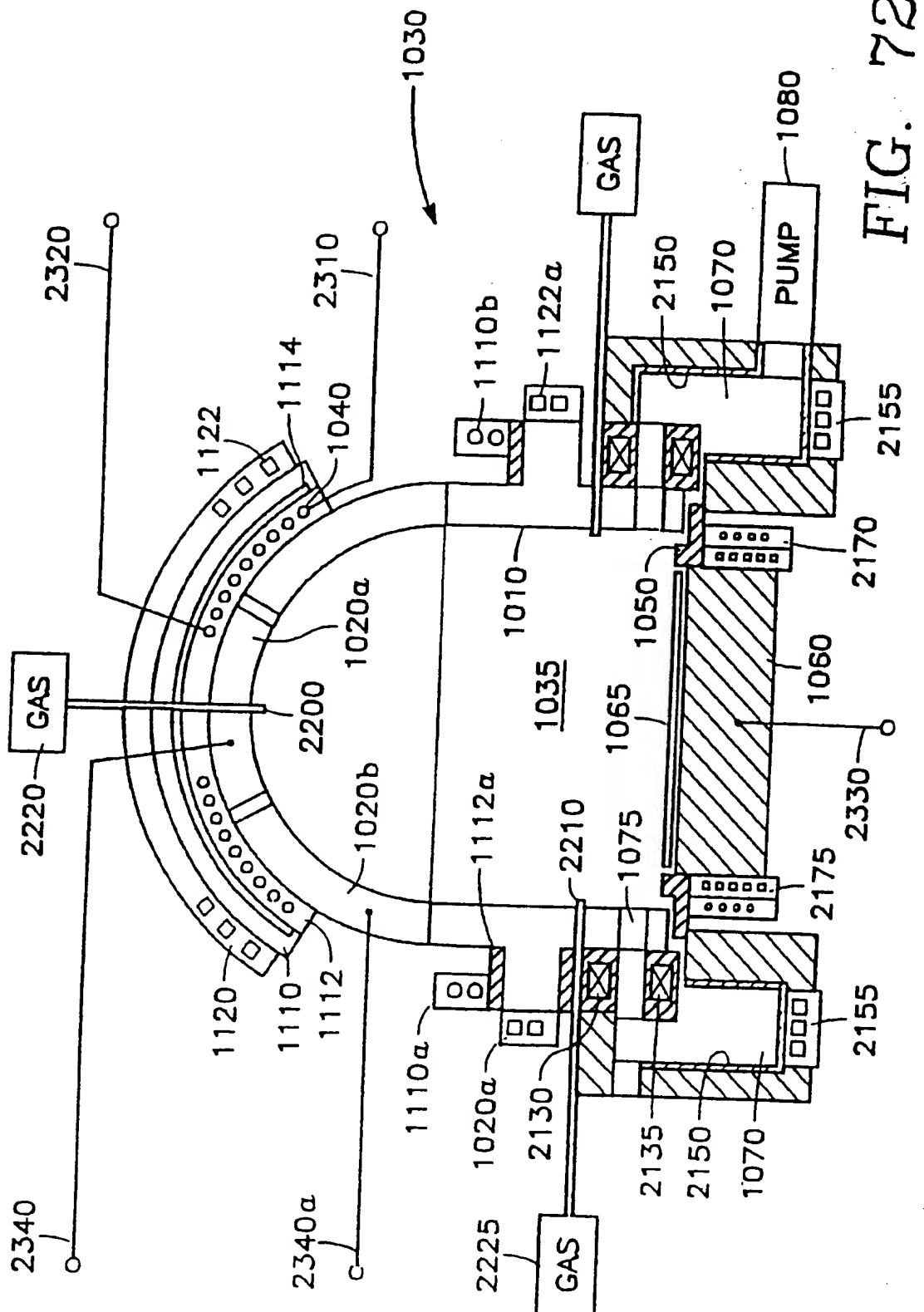


FIG. 72

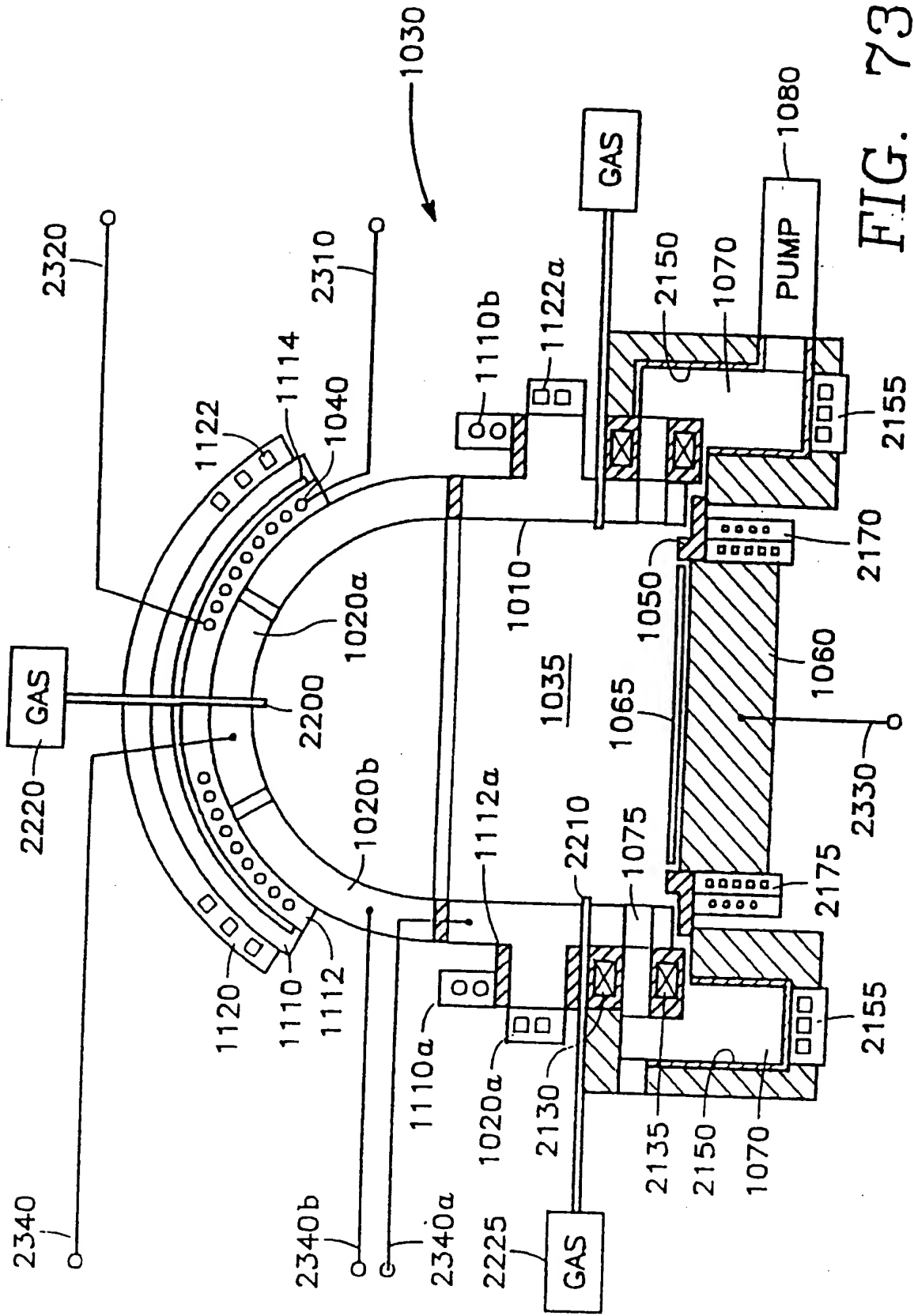


FIG. 3

2155

2170

2330

2155

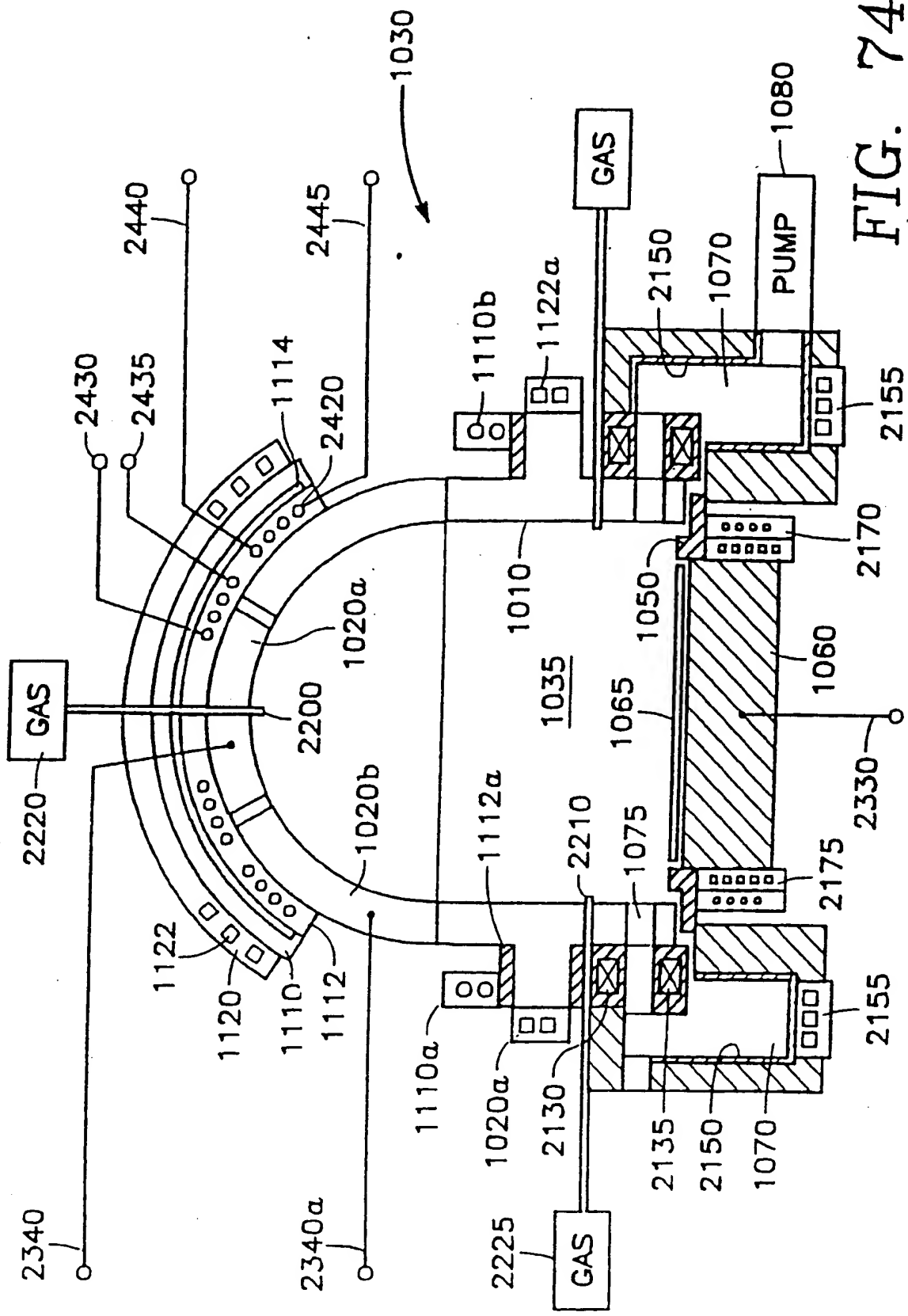


FIG. 74

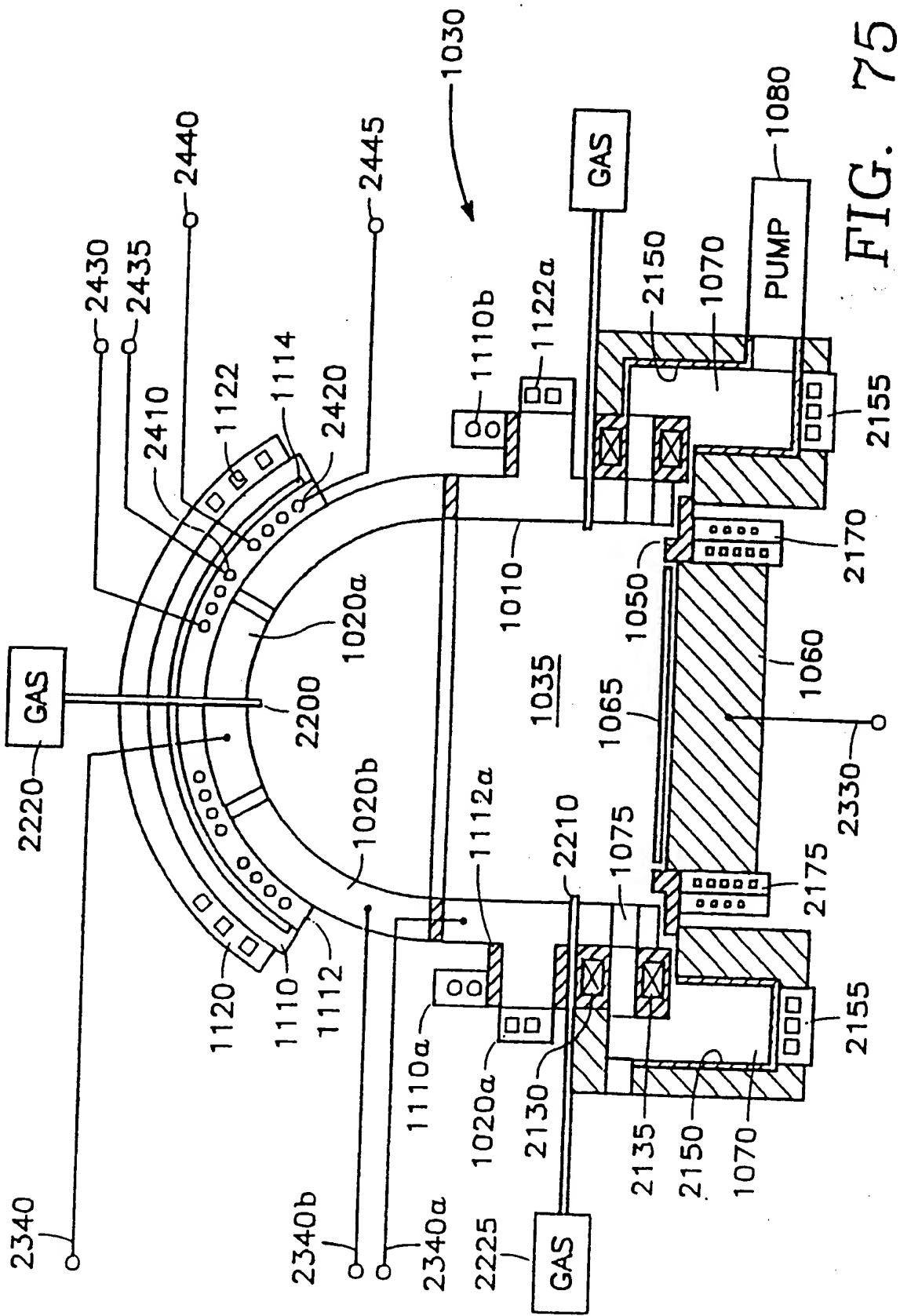
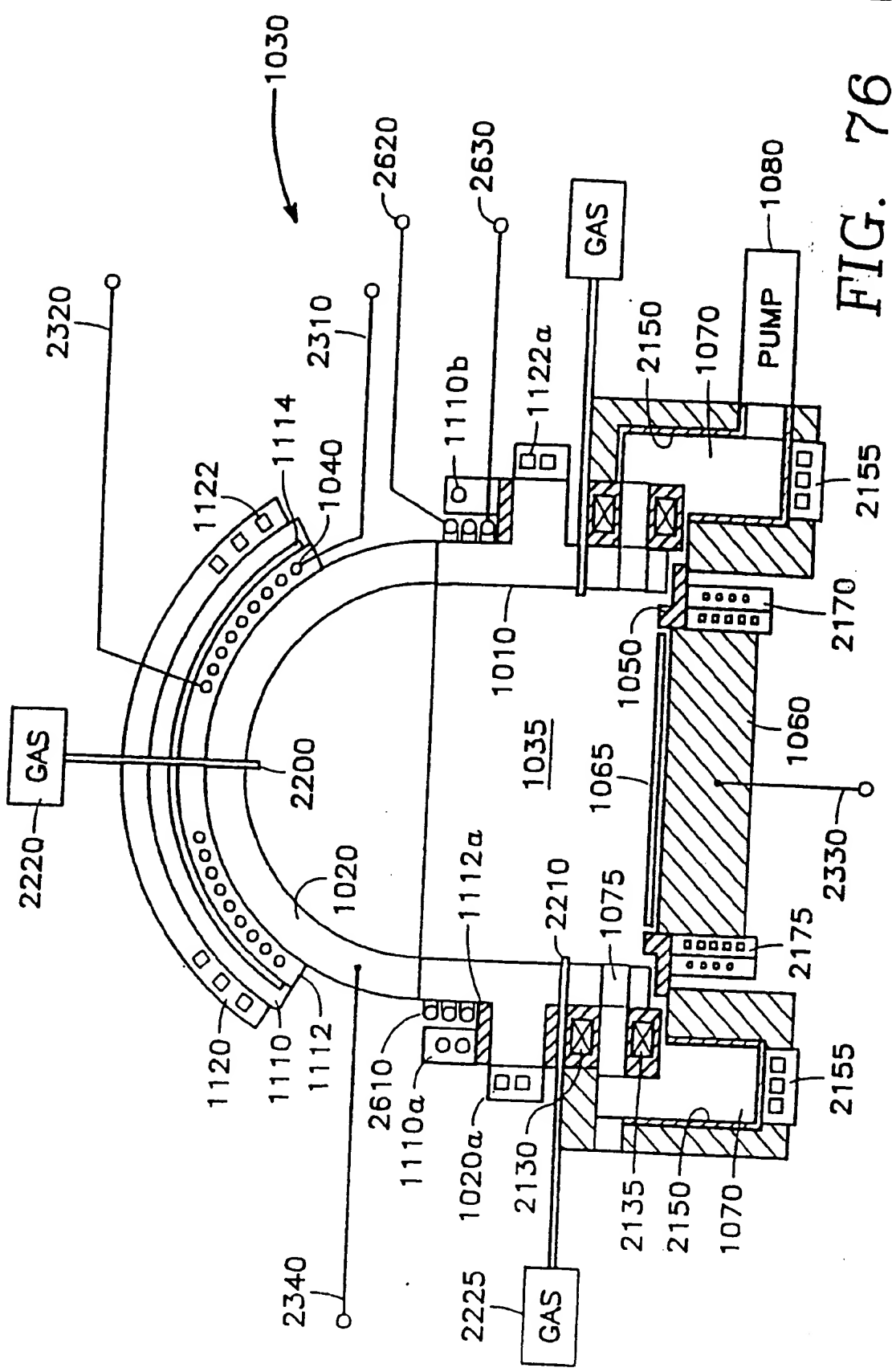


FIG. 75  
2155



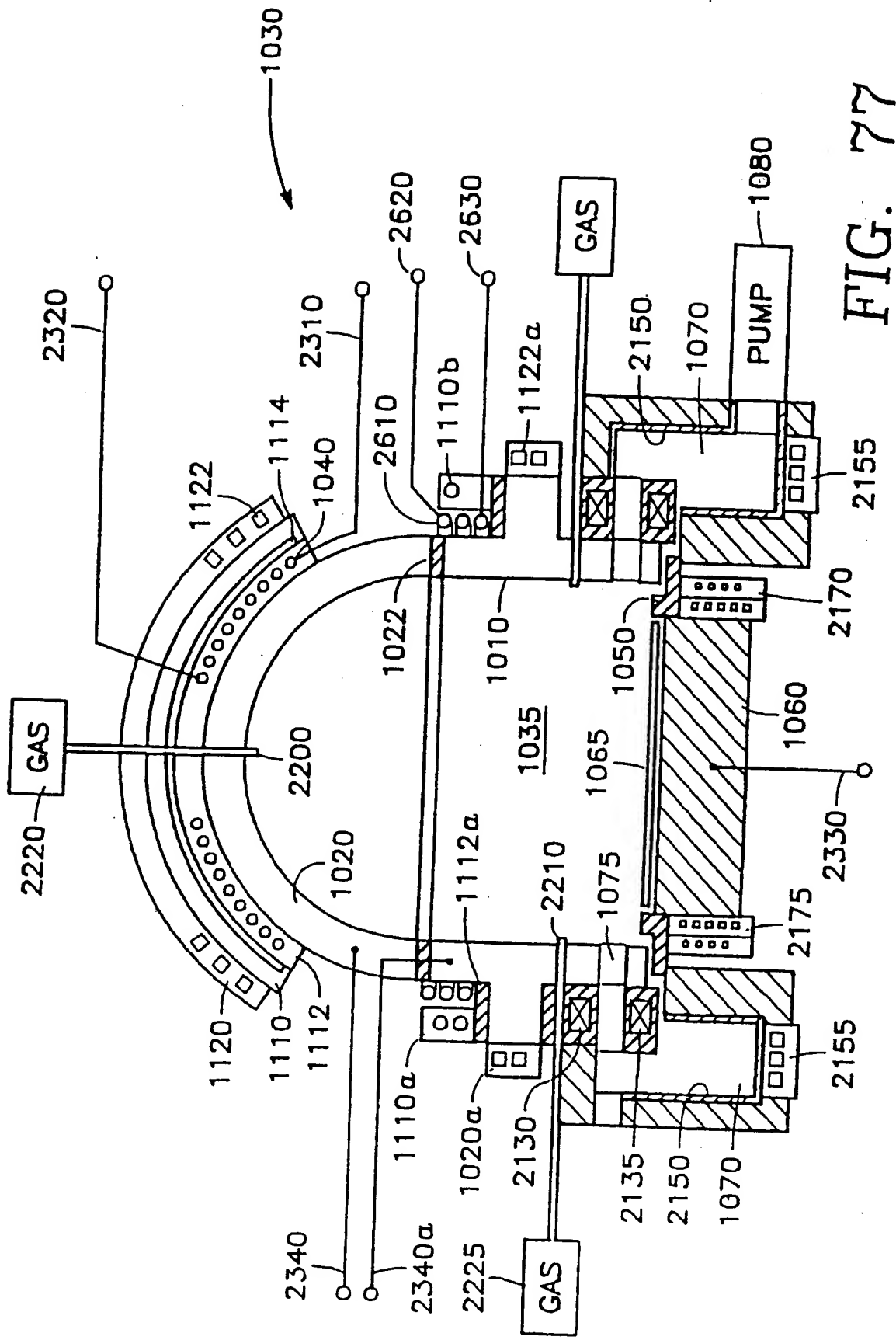
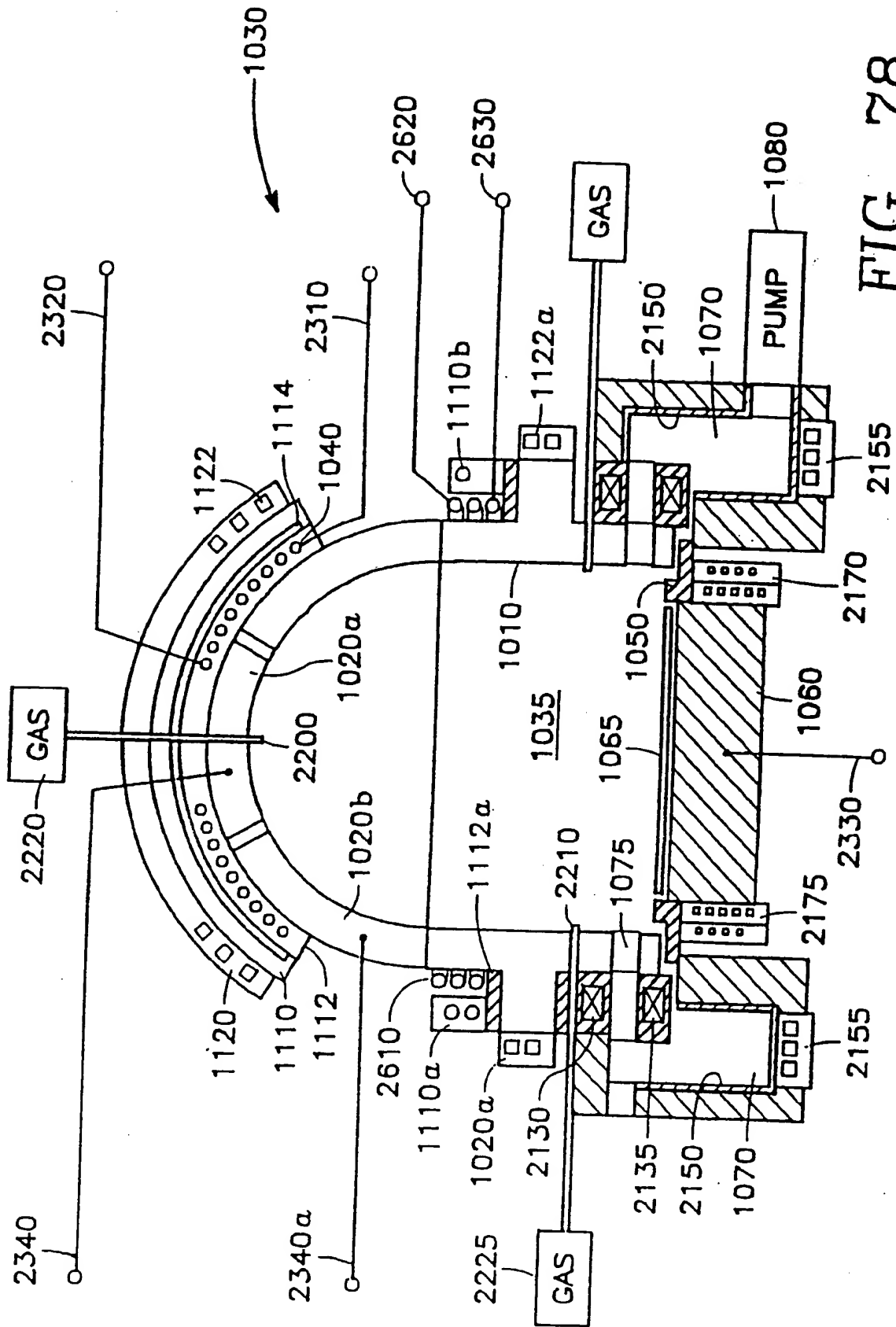


FIG. 77

FIG. 78



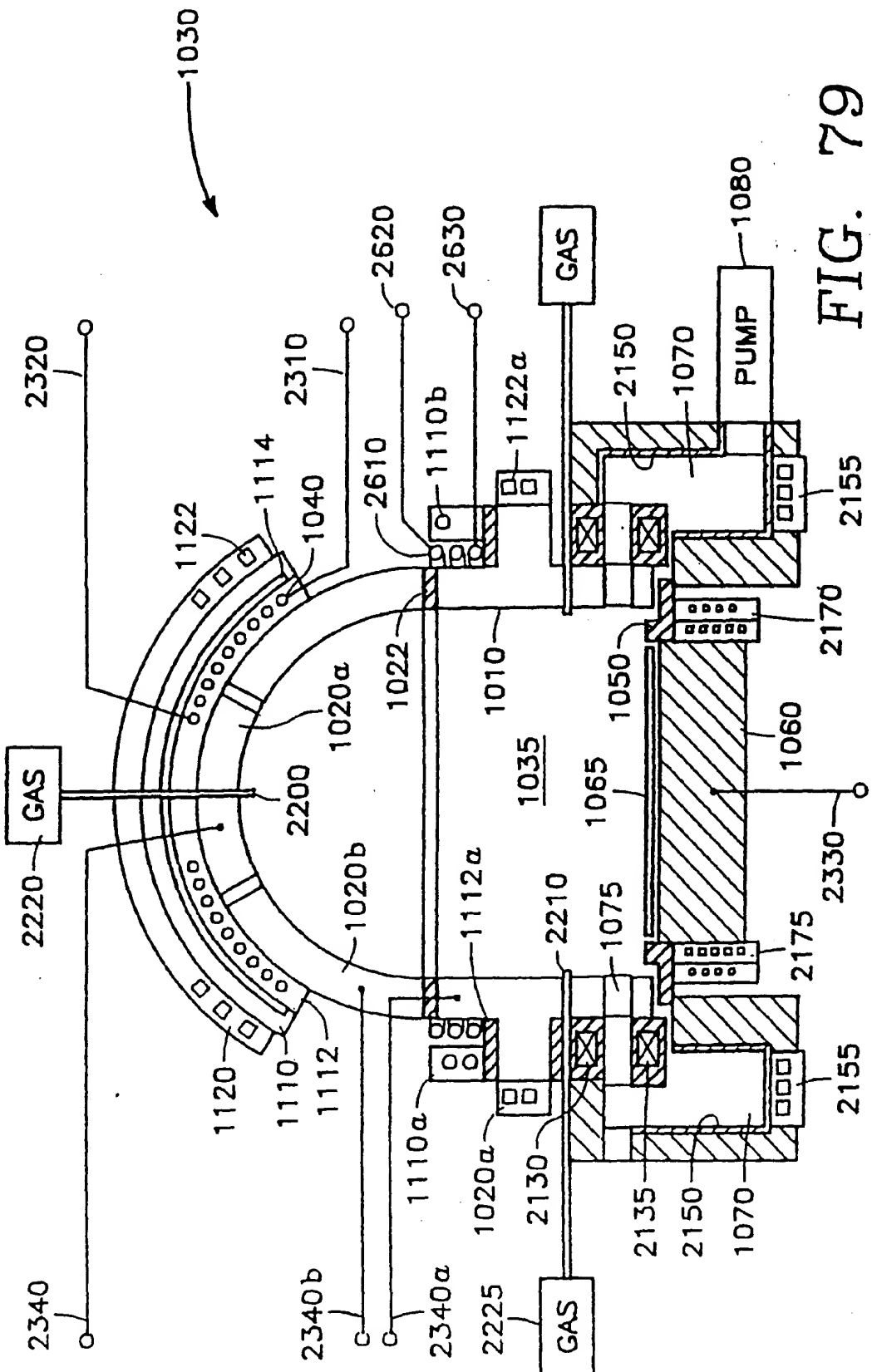


FIG. 79

FIG. 80

